

**REPUBLIQUE ALGERIENNE DEMOCRATIQUE ET POPULAIRE**

**Ministère de l'enseignement Supérieur et de la**

**Recherche Scientifique**

**Université Mouloud Mammeri de Tizi-Ouzou**

**Faculté du Génie de la Construction**

**Département de Génie Mécanique**



*Mémoire de fin d'études*

*En vue de l'obtention du Diplôme de Master Académique en Génie  
Mécanique*

*Option : Énergétique*

***Thème***

***Simulation Numérique d'un Ecoulement  
Autour d'un Obstacle***

**Proposé et dirigé par :**

**M<sup>r</sup>.: M.AMOKRANE**

**Réalisé par :**

**AIT AMEUR RAMDANE**

**AIT-FERHAT BOUSSAD**

**ISSADOUDENE SID ALI**

***Promotion : 2018/2019***

## **Remerciements**

*Toute la gratitude et le merci à Dieu notre créateur qui nous a donné la force pour effectuer et achever ce travail. Ainsi nos parents qui nous aident.*

*Nous tenons à remercier en premier lieu notre encadreur*

***M<sup>r</sup> :M. AMOKRANE***

*Pour avoir accepté de diriger notre travail,*

*Pour ses précieux conseils, pour son esprit d'ouverture et sa disponibilité. Grâce à lui, notre travail s'est déroulé.*

*Nos vifs remerciements vont également aux membres de jury qui ont accepté d'examiner ce travail.*

*Nous remercions toutes personnes qui nous ont aidés de près ou de loin à la finalisation de ce travail, nous tenons à leur exprimer notre vive gratitude.*

*Enfin nos remerciements à tous les enseignants qui ont contribué à notre formation à l'université*

***Mouloud MAMMERI DE TIZI OUZOU.***

# Dédicaces

*Je dédie ce modeste travail :*

*À la mémoire de mon oncle SAID.*

*À mon père Khelifa et ma mère Zahia, qui attendons ma réussite avec impatience et qui mon conduit dans le bon chemin et la bon éducation.*

*À mes frères et sœurs, merci à vous tous pour votre présence ainsi que votre compréhension et votre soutien au court de toutes mes année d'étude.*

*À mes chères et fidèles amis : Belaid, Bilal, Adel, Fouad, Yacine, Rabeh, Youcef, Badjiou, Arezki, Ouardia.*

*À toute la promotion Génie Mécanique énergétique.*

# *Dédicaces*

*Je dédie ce travail à mes très chers parents, votre courage, vos sacrifices ont été pour moi le meilleur soutien durant ce long parcours.*

*A mes chers frères et sœurs et leurs enfants.*

*A mes cousins et cousines et leurs enfants.*

*A tous mes amis.*

*A tous mes collègues.*

*A toute ma famille.*

*SID ALI*

## *Dédicaces*

*Je dédie ce modeste travail*

*A mes chers parents, pour tous leurs sacrifices, leur amour,  
leur tendresse, leur soutien et leurs prières tout au long de  
mes études, Que Dieu vous préserve, santé et longue vie.*

*A mon cher frère et ça famille*

*A mes chères sœurs*

*A ma chère copine*

*A mes chers et fidèles amis*

*Ramdane*

---

## Sommaire

### Chapitre I : Notions Générales sur la Mécanique des Fluides

I.1 Notions de base sur la mécanique des fluides .....	4
I.1.1 Définition d'un fluide.....	4
I.1.2 Les régimes d'écoulements .....	4
I.1.3 La masse volumique.....	6
I.1.4 La viscosité.....	7
I.1.5 Variation temporelle.....	8
I.3 Notions sur l'écoulement autours des obstacles .....	8
I.4 Synthèse bibliographique.....	9

### Chapitre II : Modélisation Mathématique

II.1 Problème physique et formulation mathématique.....	16
II.1.1 Géométrie d'intérêt .....	16
II.1.2 Formulation mathématique .....	17
II.1.2.1 Equation de continuité.....	17
II.1.2.2 Equations de quantité de mouvement.....	18
II.2 Conditions aux limites .....	19

II.3 Propriétés du fluide de circulation .....	19
II.4 Méthode des volumes finis (MVF) .....	20
II.4.1 Notions élémentaires sur le maillage, les nœuds et les éléments.....	20
II.4.2 Cas monodimensionnel .....	21
II.4.3 Cas bidimensionnel .....	23
II.5 Principe de la méthode des volumes finis .....	26

## Chapitre III : Simulation Numérique

III.1 Esquisse et maillage de la géométrie sur le logiciel Gambit .....	28
III. 2 Résolution des équations de transfert sur fluent version 6.3 .....	32

## Chapitre IV : Résultats et Discussion

### IV.1 Ecoulement autour d'un obstacle circulaire (cas de référence)

❖ Le champ de vitesse .....	41
❖ Les lignes de courant.....	44
❖ Le champ de pression.....	45
❖ Les profils de vitesse .....	46
❖ Déperdition par unité de longueur .....	49

IV.2 Etude de l'effet du changement du diamètre de l'obstacle sur le comportement du fluide.....	50
❖ Le champ de vitesse .....	50
❖ Les lignes de courants .....	52
❖ Le champ de pression.....	53
❖ Les profils de vitesse .....	54
❖ La dépression par unité de longueur .....	55
IV.3 Etude de l'effet du changement de la géométrie de l'obstacle sur le comportement du fluide.....	56
❖ Le champ de vitesse .....	56
❖ Les lignes de courant.....	58
❖ Le champ de pression.....	59
❖ Les profils de vitesse .....	61
❖ La dépression par unité de longueur .....	63
IV.4 Etude de l'effet du changement du fluide de circulation sur le comportement de l'écoulement .....	64
❖ Le champ de vitesse .....	64
❖ Les lignes de courants .....	65
❖ Le champ de pression.....	66
❖ Les profils des vitesses.....	67
❖ La dépression par unité de longueur .....	69
Conclusion générale .....	71
Référence bibliographiques.....	73
Annexe.....	76

## Liste des Figures

Figure I.1 : Schéma d'un écoulement laminaire autour d'un obstacle circulaire .....	5
Figure I.2 : Schéma d'un écoulement turbulent autour d'un obstacle circulaire.....	5
Figure I.3 : Différents viscosimètres pour mesurer la viscosité d'un fluide.....	8
Figure I.4 : Allée tourbillonnaire alternée de Bénard-Von Karman.....	9
Figure I.5 : Ecoulement dans un canal avec l'existence des obstacles carré et les lignes de courant a différent Reynolds .....	12
Figure I.6 : Ecoulement autour d'un carrée .....	13
Figure I.7 : Evolution de la zone rigide 1 (en gris et ligne frontière) en fonction du nombre de Reynold : a) $Re=0.01$ b) $Re=5$ c) $Re=40$ d) $Re=68$ e) $Re=70$ f) $Re=80$ [18]. .....	14
Figure II.1 : Les dimensions et les conditions de la géométrie .....	16
Figure II.2 : Subdivision d'un domaine fluide en sous domaines .....	20
Figure II.3 : Schéma qui montre les différent nœud et le volume de contrôle .....	21
Figure II.4 : Subdivision d'un domaine fluide en sous domaine.....	22
Figure II.5 : Discrétisation en volumes finis du domaine d'étude dans le cas bidimensionnel .....	24
Figure II.6 : Volume de contrôle bidimensionnel.....	25
Figure III.1 : Créations des points .....	29
Figure III.2 : Créations des lignes .....	29
Figure III.3 : Création des faces .....	30
Figure III.4 : Maillage des lignes.....	30

## Liste des Figures

---

Figure III.5 : Maillage des faces .....	31
Figure III.6 : les conditions aux limites .....	32
Figure III.7 : Parcours de sauvegarde de données en fichier msh sous Gambit .....	32
Figure III.8 : Vérification du maillage sous Fluent .....	33
Figure III.9 : Vérification du maillage.....	34
Figure III.10 : Affichage de la grille et vérification les dimensions.....	34
Figure III.11 : Choix de régime .....	35
Figure III.12 : Choix de type de fluide .....	35
Figure III.13 : Valeurs des conditions aux limites.....	35
Figure III.14 : Choix d'ordre des équations .....	36
Figure III.15 : D'emarge de calcul .....	37
37	
Figure III.17 : Paramétrage de graphe cl .....	38
Figure III.18 : Nombre des itérations pour lancer le calcul.....	38
Figure III.19 : L'évolution des résidus et calcul de convergence .....	39
Figure III.20 : Un exemple des contours (vitesse relative).....	39
Figure III.21 : Enregistrée des résultats.....	40
Figure IV.1 : Contours du champ de vitesse pour : (a) $Re = 20$ et (b) $Re = 50$ .....	42
Figure IV.2 : Contours du champ de la vitesse instantanée enregistrés à $t=600$ s pour : .....	43
(a) $Re = 70$ et (b) $Re = 120$ .....	43
Figure IV.3 : Les lignes de courant enregistrés pour : (a) $Re = 20$ et (b) $Re = 50$ et pour : .	44
(c) $Re = 70$ et (d) $Re = 120$ à $t = 600$ s .....	44
Figure IV.4 : Contours instantanés du champ de pression pour : (a) $Re = 20$ et.....	46
(b) $Re = 120$ prise à $t = 600$ s .....	46

## Liste des Figures

---

Figure IV.5 : Profils de la vitesse axiale : (a) en amont, (b) au niveau, (c) en aval de l'obstacle.....	48
Figure IV.6 : Les lignes tracées en amont et en aval de l'obstacle.....	49
Figure IV.7 : La dépression par unité de longueur en fonction de la vitesse de circulation du fluide.....	50
Figure IV.8 : Contours instantanés du champ de vitesse pour un cylindre de diamètre : .... D = 1 cm, (d) D = 3 cm, (c) D = 5 cm .....	51
Figure IV.9 : Lignes de courants instantanées pour le cylindre de diamètre :..... D = 1 cm, (d) D = 3 cm, (c) D = 5 cm .....	52
Figure IV.10 : Contours du champ de pression pour un cylindre de diamètres : ..... D = 1 cm, (b) D = 3 cm, (c) D = 5 cm .....	54
Figure IV.11 : Profils de la vitesse axiale : (a) en amont, (b) au niveau, et (c) en aval de l'obstacle.....	55
Figure IV.12 : La dépression par unité de longueur en fonction du diamètre de l'obstacle.	56
Figure IV.13 : Les différentes géométries de l'obstacle.....	56
Figure IV.14 : Contours du champ de vitesse instantanés enregistrés à $t = 600s$ , à $Re = 120$ et pour les différentes géométries .....	58
Figure IV.15 : Lignes de courant instantanées enregistrées à $t = 600s$ pour une vitesse de circulation $V_x = 0.012m/s$ .....	59
Figure IV.16 : Contours du champ de pressions instantanées à une vitesse de circulation.. $V_x = 0.012m/s$ .....	61
Figure IV.17 : Profils de la vitesse axiale : (a) en amont, (b) au niveau, (c) en aval des obstacles à une vitesse de circulation $V_x = 0.012m/s$ .....	62
Figure IV.18 : Histogrammes de la dépression par unité de longueur en fonction de la vitesse de circulation du fluide pour les différents obstacles .....	64
Figure IV.19 : Contours du champ de vitesse pour les fluides : (a) eau, (b) air..... à $V_x = 0.012m/s$ .....	65
Figure IV.20 : Lignes de courant instantanées enregistrées à $t = 600s$ pour une vitesse de circulation $V_x = 0.012m/s$ .....	66

## Liste des Figures

---

Figure IV.21 : Contours instantanés du champ de pression pour : (a) eau, (b) air.....	67
à $V_x = 0.012$ m/s.....	67
Figure IV.22 : Profils de la vitesse axiale : (a) en amont, (b) au niveau, (c) en aval des obstacles à une vitesse de circulation $V_x = 0.012$ m/s .....	69
Figure IV.23 : Histogrammes de la dépression par unité de longueur en fonction de la vitesse de circulation pour les fluides différents .....	70

**Nomenclature**

A	L'aire de la surface [ $m^2$ ]
D	Diamètre du cylindre [m]
L	Longueur de domaine [m]
l	Largueur de domaine [m]
t	Temps [s]
$\vec{F}$	Vecteur de force
P	Pression local du fluide [Pa]
Re	Nombre de Reynolds
$\vec{V}$	Vecteur vitesse de l'écoulement
$U_x$	Vitesse selon l'axe des x [m/s]
$V_y$	Vitesse selon l'axe des y [m/s]
$\Omega$	Volume de contrôle [ $m^3$ ]
x,y	Les coordonnées cartésiennes
$S_\phi$	Terme source

**Symboles grecques**

$\phi$	Potentiel total vitesse [ $m^2/s$ ]
$\Gamma_\phi$	Coefficient de diffusion [kg/ms]
$\mu$	Viscosité dynamique [kg/m.s]

$\nu$	Viscosité cinématique [ $\text{m}^2/\text{s}$ ]
$\rho$	Masse volumique du fluide [ $\text{kg}/\text{m}^3$ ]
$\tau$	Contrainte de cisaillement, exprime en [ $\text{N}/\text{m}^2$ ]
$\Omega$	Volume de contrôle

### Abréviations

CFD Computational Fluid Dynamics.

MVF Méthodes des volumes finis.

EDP Equation de dérivé partielle.

# **Introduction générale**

## Introduction Générale

La mécanique des fluides est une science qui s'intéresse à l'étude du comportement des fluides à l'état statique et dynamique. C'est une science qui trouve des applications dans plusieurs domaines tels que l'aérodynamique, l'hydraulique, les turbomachines et les équipements thermiques...etc.

L'étude des écoulements autour des objets est un problème classique de mécanique des fluides qui peut être très utile dans la pratique comme dans la conception mécanique et thermique de nombreux systèmes en engineering, à savoir l'aéronautique, l'automobile, le bâtiment...etc.

En parallèle, l'étude des phénomènes hydro/aérodynamiques qui surgissent dans le sillage d'un obstacle restent un sujet d'actualité dans divers domaines, car la connaissance des structures turbulentes générées derrière ces obstacles et leurs différents régimes est d'une utilité primordiale dans la conception des ouvrages exposés aux écoulements des fluides. Le choix de l'étude des obstacles résulte de leurs simplicités géométriques permettant d'avoir des facilités expérimentales et numériques. Plusieurs expériences dans le domaine ont été réalisées et confrontées aux méthodes numériques. Pour cette dernière une large gamme de méthodes mathématiques ont été développées afin de s'approcher de la réalité de l'écoulement et de fournir le maximum d'information qui peuvent se produire. Pour notre cas, on a utilisé le code Fluent, qui est un outil de simulation numérique afin de simuler un écoulement autour d'un obstacle circulaire.

Dans ce mémoire, nous nous intéressons à étudier avec une simulation numérique le comportement d'un écoulement perturbé par la présence d'un obstacle.

Le présent manuscrit s'organise en quatre chapitres présentés comme suit :

Dans le premier chapitre, nous allons exposer les définitions de base de la mécanique des fluides, des écoulements autour des obstacles et certains travaux de recherches. Le deuxième chapitre sera réservé aux formulations mathématiques, où on expose les équations mathématiques régissant l'écoulement bidimensionnel d'un fluide incompressible autour d'un obstacle. Par la suite, nous allons donner un aperçu sur la méthode numérique utilisée pour la résolution de ces équations. Le troisième chapitre sera consacré aux étapes de la simulation d'un écoulement autour d'un obstacle circulaire sur les codes commerciaux GAMBIT version 2.4, pour l'esquisse de la géométrie d'intérêt et son maillage et FLUENT

6.3 pour la résolution numérique des EDP associées aux conditions aux limites appliquées dans notre cas. Le quatrième chapitre sera consacré à la présentation des résultats des simulations numériques obtenues par le code de calcul utilisé. Dans cette partie nous allons étudier l'effet de la vitesse de circulation, du diamètre d'obstacle et du fluide de circulation sur un écoulement bidimensionnel d'un fluide Newtonien et incompressible autour d'un obstacle immergé. Enfin, nous allons terminer ce manuscrit par une conclusion générale qui englobe les principaux résultats obtenus durant notre étude.

# **Chapitre I : Notions Générales sur la Mécanique des Fluides**

Les écoulements autour des obstacles est un phénomène physique qu'on rencontre dans divers domaines technologiques comme l'ingénierie navale, aéronautique, météorologie...etc. En effet, la compréhension de ce problème classique de mécanique des fluides revêt une importance pratique dans les applications aérodynamiques et hydrodynamiques. Dans ce chapitre nous allons exposer les définitions de base de mécanique des fluides, des écoulements autour des obstacles et à la fin, nous allons énumérer certains travaux de recherches qui se sont intéressés à cette thématique.

## **I.1 Notions de base sur la mécanique des fluides**

Dans cette section, nous allons définir les concepts de la mécanique des fluides et des écoulements autour des obstacles.

### **I.1.1 Définition d'un fluide**

On appelle fluide un corps qui n'a pas de forme propre et qui est facilement déformable comme les liquides et les gaz, on peut citer aussi des corps plus complexes comme les polymères ou les fluides alimentaires [1]. En mécanique des fluides, on distingue deux types de fluides, à savoir :

- Le fluide parfait : le mouvement du fluide parfait est décrit sans prendre en compte les effets de frottement.
- Le fluide réel : un fluide est dit réel si, pendant son mouvement, les forces de contact ne sont pas perpendiculaires aux éléments de surface sur lesquelles elles s'exercent (elles possèdent donc des composantes tangentielles qui s'opposent au glissement des couches fluides les unes sur les autres).

### **I.1.2 Les régimes d'écoulements**

Selon la structure d'un écoulement, on peut distinguer deux types de régimes qui sont :

- Le régime laminaire : l'écoulement est dit laminaire lorsque le mouvement des particules fluides est régulier et ordonné dans la même direction.

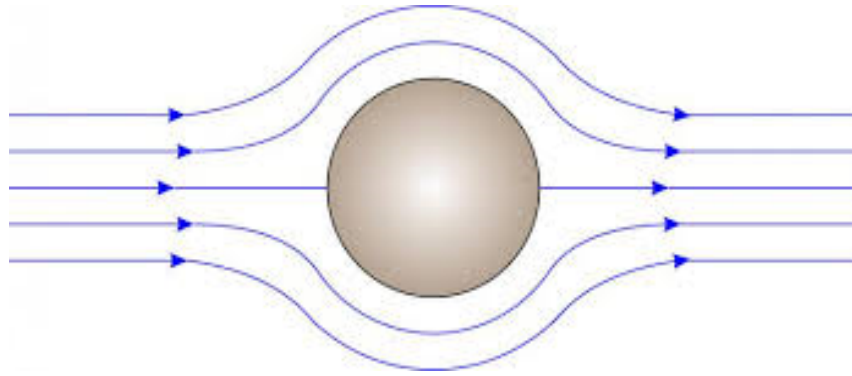


Figure I.1 : Schéma d'un écoulement laminaire autour d'un obstacle circulaire.

- Le régime turbulent : l'écoulement est turbulent lorsque le déplacement est irrégulier et que des fluctuations aléatoires de la vitesse se superposent au mouvement moyen du fluide.

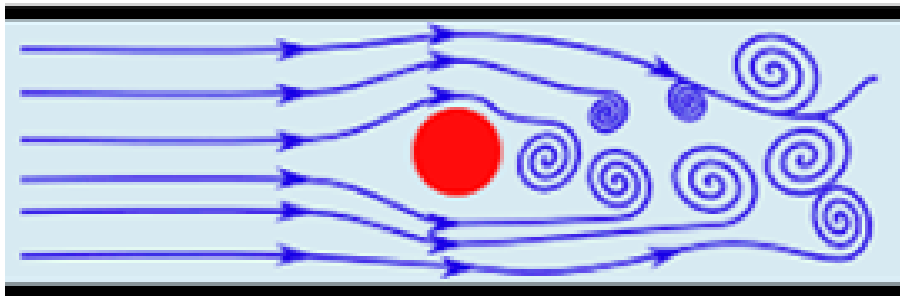


Figure I.2 : Schéma d'un écoulement turbulent autour d'un obstacle circulaire[2].

Pour définir un régime d'écoulement, on peut se baser sur une grandeur adimensionnelle appelée nombre de Reynolds, ce dernier représente le rapport entre les forces d'inertie et les forces de la viscosité, et caractérise l'apparition de la turbulence. Le nombre de Reynolds est défini comme suit :

$$\text{Re} = \frac{\rho U D}{\mu} \quad (\text{I.1})$$

Dans la précédente équation,

$U$  représente la vitesse de l'écoulement, exprimée en (m/s).

$D$  représente le diamètre caractéristique, exprimée en (m).

$\rho$  représente la masse volumique de fluide, exprimée en (kg/m<sup>3</sup>).

$\mu$  représente la viscosité de fluide, exprimée en (kg/m.s).

### I.1.3 La masse volumique

La masse volumique représente le rapport de la masse sur le volume en fonction du comportement de la masse volumique d'un fluide 'rho', qui est défini comme suite :

$$\rho = \frac{m}{V} \quad (I.2)$$

$\rho$  représente la masse volumique du fluide, exprimée en (kg/m<sup>3</sup>).

$m$  représente la masse du fluide, exprimée en (kg).

$V$  représente le volume du fluide, exprimé en (m<sup>3</sup>).

En fonction de la variation de la masse volumique d'un fluide, on distingue deux types de fluides :

- Le fluide compressible : Un fluide est dit compressible lorsque le volume occupé par une masse donnée varie en fonction de la pression extérieure. Les gaz sont des fluides compressibles. Par exemple, l'air, l'hydrogène, le méthane à l'état gazeux, sont considérés comme des fluides compressibles.
- Le fluide incompressible : Un fluide est dit incompressible lorsque le volume occupé par une masse donnée ne varie pas en fonction de la pression extérieure. Les liquides peuvent être considérés comme des fluides incompressibles (eau, huile, etc.).

### I.1.4 La viscosité

La viscosité est une grandeur qui caractérise les frottements internes du fluide, autrement dit sa capacité à s'écouler. Elle caractérise la résistance d'un fluide à son écoulement lorsqu'il est soumis à l'application d'une force. C'est à dire, les fluides de grande viscosité résistent à l'écoulement et les fluides de faible viscosité s'écoulent plus facilement. La viscosité est déterminée par la capacité d'entraînement que possède une couche en mouvement sur les autres couches adjacentes, la viscosité s'exprime comme suite :

$$\tau = \mu \frac{dv}{dy} \text{(I.3)}$$

L'expression de la viscosité cinématique est:

$$\nu = \frac{\mu}{\rho} \text{(I.4)}$$

$\tau$  contrainte de cisaillement, exprime en  $(N/m^2)$  [3].

$\nu$  la viscosité cinématique, exprimée en  $(m^2/s)$ .

$\mu$  viscosité dynamique, exprimée en  $(N.s/m^2)$ .

➤ On distingue deux types de viscosité qui sont comme suite :

- Viscosité dynamique : coefficient caractéristique d'un fluide, égal à la force nécessaire au déplacement de l'unité de surface plane du fluide, avec une vitesse unité, par rapport à une autre surface plane du même fluide qui lui est parallèle à une distance unité.
- Viscosité cinématique : quotient de la viscosité dynamique d'un fluide par sa masse volumique à la température considérée.

La viscosité cinématique caractérise le temps d'écoulement d'un liquide. Par contre, la viscosité dynamique correspond à la réalité physique du comportement d'un fluide soumis à une sollicitation (effort).



Figure I.3 : Différents viscosimètres pour mesurer la viscosité d'un fluide [4].

### I.1.5 Variation temporelle

Selon la variation temporaire des paramètres d'un fluide, on peut classer les écoulements en deux parties :

- Ecoulement permanent (stationnaire): On dit qu'un écoulement est permanent (ou stationnaire) si toutes les variables décrivant le mouvement sont indépendantes du temps, comme la pression, la masse volumique la vitesse,...etc.
- Ecoulement transitoire (instationnaire) : On dit qu'un écoulement transitoire (ou instationnaire) si les variables décrivant le mouvement sont dépendant du temps.

### I.3 Notions sur l'écoulement autour des obstacles

Les études traitent le problème de l'écoulement de fluide autour des corps est l'un des phénomènes importante qui a été étudié dans le domaine de la mécanique des fluides. Ces dernières années, les études ont suscité un intérêt considérable et beaucoup d'attention en raison d'améliorations des techniques de mesure expérimentales.

Le phénomène d'instabilité de Bénard-Von Karman est l'un des problèmes les plus classiques de mécanique des fluides. C'est le modèle le plus simpliste permettant une approche concrète des phénomènes de turbulence générés par la présence d'un obstacle sur le trajet d'un écoulement laminaire. Son étude connaît depuis quelques années un nouvel engouement lié à la possibilité de modifier l'écoulement en faisant osciller l'obstacle. Von

Karman a placé un obstacle cylindrique sur le trajet d'un écoulement parallèle. Selon le nombre de Reynolds  $Re$  de l'écoulement on observe des comportements distincts. Pour les valeurs de  $Re$  faibles, l'écoulement est laminaire. Pour les valeurs de  $Re > 46$  on obtient ce que l'on appelle une allée tourbillonnaire alternée de Bénard-Von Karman comme la montre la figure I.4.



**Figure I.4 :Allée tourbillonnaire alternée de Bénard-Von Karman [5].**

L'objectif de ce travail est de simuler cette instabilité en mettant en œuvre une méthode de Boltzmann qui permet d'exprimer les conditions aux limites. Von Karman avait compris l'intérêt d'une telle géométrie, qui simplifie suffisamment les équations de Navier-Stokes pour en offrir des solutions exactes.

## I.4 Synthèse bibliographique

Beaucoup de travaux de recherches ont été réalisés pour modéliser l'écoulement autour des obstacles. Pour cela, plusieurs expériences dans le domaine ont été réalisées et confrontées aux méthodes numériques. Certains des travaux les plus pertinents dans cette thématique sont exposés ci-dessus :

**M.Breuer et al.(2000) [6]** ont réalisé des calculs précis sur un écoulement laminaire autour d'un cylindre et carré à l'aide de deux méthodes Lattice-Boltzmann (LBA) et méthode de volumes finis (MVF). Les résultats des deux méthodes ont été évalués et comparés en détail. Ils ont constaté que malgré le manque des données précises et détaillées sur l'écoulement laminaire autour d'un cylindre carré que l'excellent accord entre les calculs de LBA et FVM a été trouvé pour la longueur de recirculation pour  $Re$  inférieure à 60.

**D. Callaud et al.(2001) [7]** ont travaillé sur un écoulement laminaire autour d'un cylindre et carré. L'écoulement en régime établi autour d'un cylindre carré disposé sur une plaque plane est examiné par des visualisations des mesures par vélocimétrie par imagerie de particules (PIV) et des simulations numériques pour un nombre de Reynolds de 1000.

**N. Takafumi et al.(2006) [8]** ont effectué une étude numérique bidimensionnelle de l'écoulement autour d'un cylindre circulaire, en utilisant la modèle DES (Detached Eddy Simulation). Les résultats obtenus par la DES a prévu la cessation du décollement de tourbillon derrière le cylindre, et même résultat a été obtenu en utilisant la méthode simulation RANS (Reynolds Average Numerical Simulation).

**P.F. Zhang et al.(2006) [9]** ont effectué une étude numérique de l'écoulement laminaire bidimensionnel autour d'une tige ascendante et d'un cylindre circulaire. Les résultats obtenus à l'aide du logiciel de simulation Fluent démontrent que le coefficient de traînée moyenne et le coefficient de fluctuation de portance du cylindre peuvent être réduits par une tige ascendante.

**P.Ribot et Y. Blanchet (2007) [10]** ont réalisé une étude expérimentale et numérique de l'écoulement de fluide autour d'un cylindre avec variation de fluide (air, eau). La résolution numérique du problème a été faite à l'aide d'une méthode d'analyse dimensionnelle standard. Ils ont présenté une exploration de base pour évaluer les forces de portance de vibration exercées sur le cylindre.

**R. Belakroumet al.(2007)[11]** ont étudié par la méthode des éléments finies, le modèle LES (Large Eddy Simulation) pour simuler l'écoulement instationnaire et turbulent d'un fluide incompressible autour d'un cylindre. Ils ont trouvé que Le phénomène d'éclatement tourbillonnaire est nettement mis en évidence.

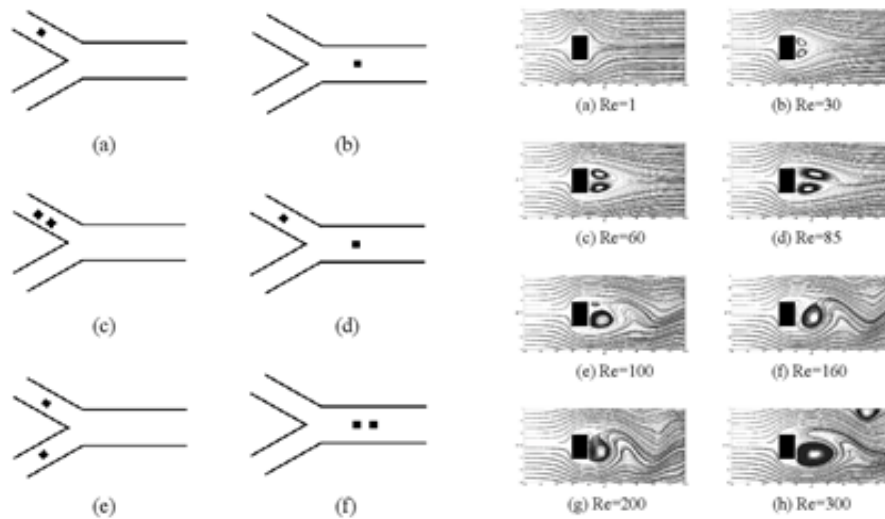
**Shuyang Cao –Yukio Tamura(2008) [12]** ont étudié numériquement et expérimentalement l'écoulement autour d'un cylindre circulaire pour un nombre de Reynolds sous-critique. Ils ont constaté que le nombre de Strouhal ne montre aucune variation par rapport au paramètre de cisaillement, et que le point d'arrêt à haute vitesse a une grande influence sur la force aérodynamique.

**M.Huptas et W.Elsner(2008) [13]** ont réalisé une simulation stationnaire de l'écoulement autour de deux obstacles carrés. Les résultats numériques sont obtenus à l'aide du code

commercial FLUENT pour analyser la structure de l'écoulement autour d'un cube simple d'une part, et autour deux cubes d'autre part. Ils ont constaté dans le premier cas que les effets clairs de l'épaisseur de la couche limite sur la couche de cisaillement dans le sillage sont décrits. Dans le deuxième cas, ils ont examiné d'une façon claire le décollement de tourbillon périodique en aval du premier cube et en amont du deuxième. Enfin, ils ont montré que la longueur de séparation est considérablement réduite avec l'augmentation du rapport tel que est l'épaisseur de la couche limite, et  $H$  est le côté du cube.

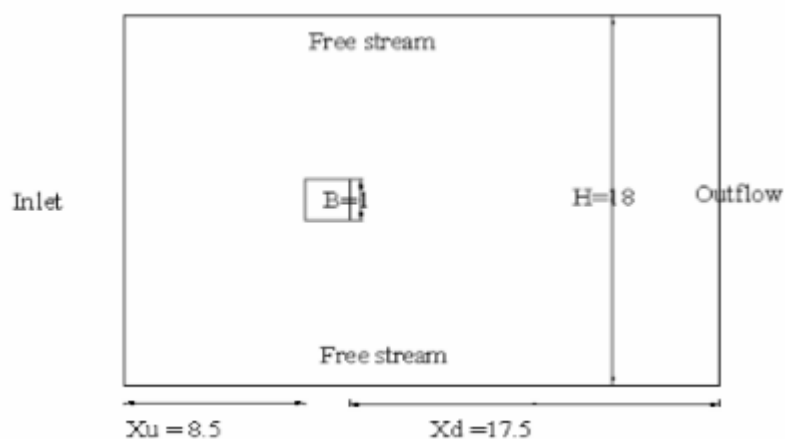
**N.Hafida et S.Mohamed(2010) [14]** ont mené une étude numérique des effets des obstacles carrés sur le profil du vent. Cette étude leur a permis d'évaluer les perturbations aérodynamiques engendrées par la présence d'un obstacle carré dans un champ de vitesse caractérisé par un profil incident parallèle et logarithmique. Les équations régissant l'écoulement du fluide supposé incompressible ont été résolues via des modèles numériques CFD. Toutefois, les zones de recirculations, les longueurs de rattachement et les points de séparations ont été évalués pour des nombres de Reynolds de l'ordre de  $10^4$  et  $10^5$ . Ils ont montré l'évolution des forts gradients de vitesse qui se forment autour du bâtiment et près du sol.

**J.Yojina et al.(2010) [15]** ont présenté une investigation aux configurations de l'écoulement dans un canal avec l'existence des obstacles carrés. La modélisation est réalisée par la méthode de Boltzmann (LBM). Le nombre de Reynolds est compris entre 1 et 300. Les lignes de courant et les profils de vitesse sont présentés pour indiquer le décollement des tourbillons. Les résultats obtenus prouvent que l'écoulement est laminaire à l'entrée, ensuite, ils ont constaté une transition périodique et instable sur l'écoulement. Cette transition est obtenue au fur et à mesure avec l'augmentation du nombre de Reynolds.



**Figure I.5 : Ecoulement dans un canal avec l'existence des obstacles carrée et les lignes de courant à différents Reynolds [15].**

**B.Gera et al. (2010)[16]** ont étudié avec CFD (computational fluid dynamic) l'écoulement instationnaire 2D autour d'un obstacle carré. La simulation a été réalisée afin d'analyser le comportement de sillage. Le nombre de Reynolds a été pris de l'ordre de 50 à 250.



**Figure I.6 : Ecoulement autour d'un carré [16].**

**M.M. Ouestati et al.(2010)[17]** se sont intéressés à la simulation par les différentes formulations de la fonction-verticité pour résoudre l'équation de Navier-stokes. Étudié l'écoulement de fluide réguliers et transitoires autour d'un obstacle carré. Ils ont conclu que cette formulation a plusieurs avantages, puisque la limite de pression est éliminée des équations de gouvernement et satisfait automatiquement l'équation de continuité.

**S. Mossaz(2011)[18]**a étudié l'écoulement rampant, circulant et instationnaire d'un fluide viscoplastique autour d'un cylindre. Il a étudié numériquement, les morphologies des écoulements, la localisation des zones rigides, les champs de contraintes et pression autour du cylindre ainsi que le coefficient de traînée. Le montage expérimental conçu et réalisé a été validé par l'étude de l'écoulement d'un fluide newtonien autour d'un cylindre et la mise en place d'une procédure adaptée pour les fluides à seuil. Il a pu constater l'influence des conditions d'interface avec l'apparition d'une morphologie de lâchers de tourbillons simultanés et symétriques, la figure suivant montre l'évolution des différentes zones rigides et lignes de courant lorsque le nombre de Reynolds augmente en passant du régime rampant à recerclant.

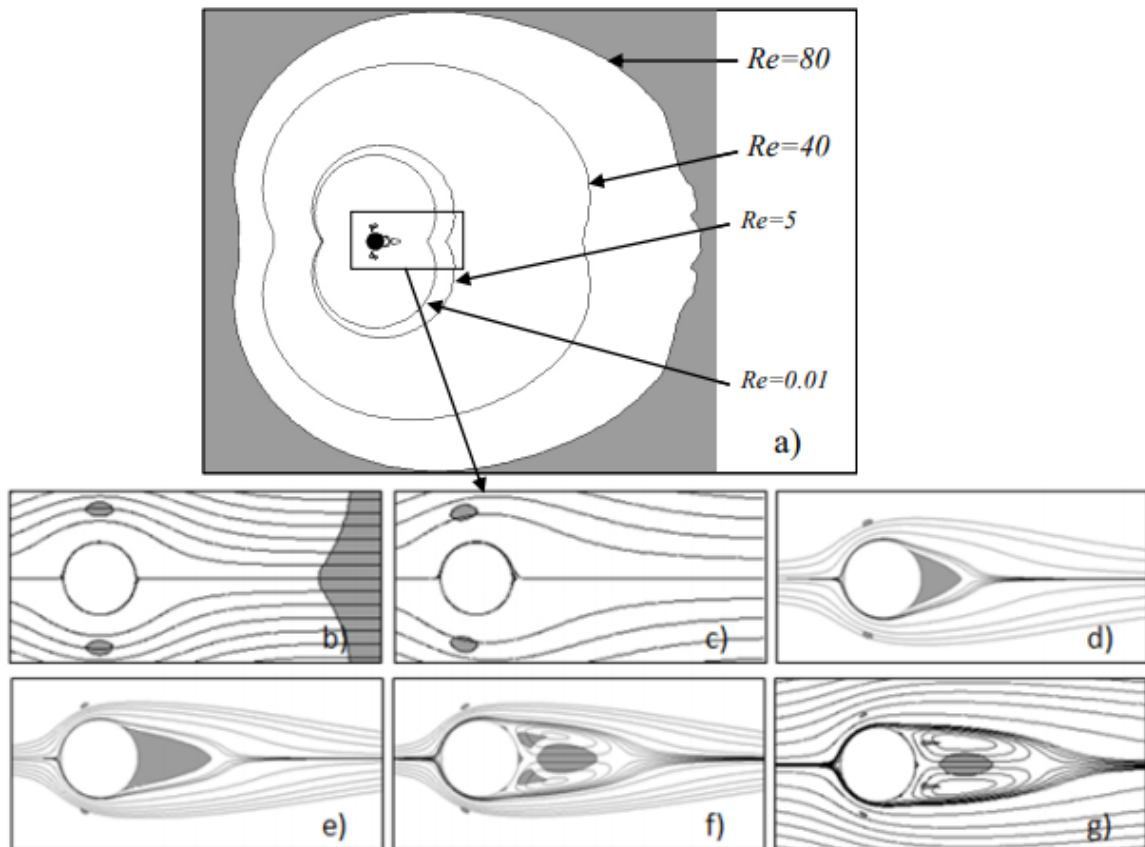


Figure I.7 : Evolution de la zone rigide 1 (en gris et ligne frontière) en fonction du nombre de Reynold : a)  $Re=0.01$  b)  $Re=5$  c)  $Re=40$  d)  $Re=68$  e)  $Re=70$  f)  $Re=80$  g)  $Re=80$  [18].

## **Chapitre II : Modélisation Mathématique**

Dans ce chapitre, on s'intéresse à la définition des équations hydrodynamiques qui régissent le phénomène physique de l'écoulement bidimensionnel d'un fluide incompressible autour d'un obstacle de forme circulaire. Par la suite, nous allons donner un aperçu global sur la méthode numérique utilisée pour la résolution des équations hydrodynamiques, à savoir la méthode des volumes finis (MVF).

## II.1 Problème physique et formulation mathématique

### II.1.1 Géométrie d'intérêt

Le problème physique que nous souhaitons modéliser numériquement consiste ont l'écoulement bidimensionnel d'un fluide visqueux autour d'un obstacle de forme circulaire comme le montre la figure II.1. Notre géométrie d'intérêt représente un domaine fluide de longueur  $L = 31.5$  cm et de largeur  $L = 25$  cm. Un cercle de diamètre  $D = 1$  cm est immergé dans le domaine fluide et placé à  $x = 11.5$  cm de l'entrée du domaine fluide et à une hauteur  $y = 12.5$  cm.

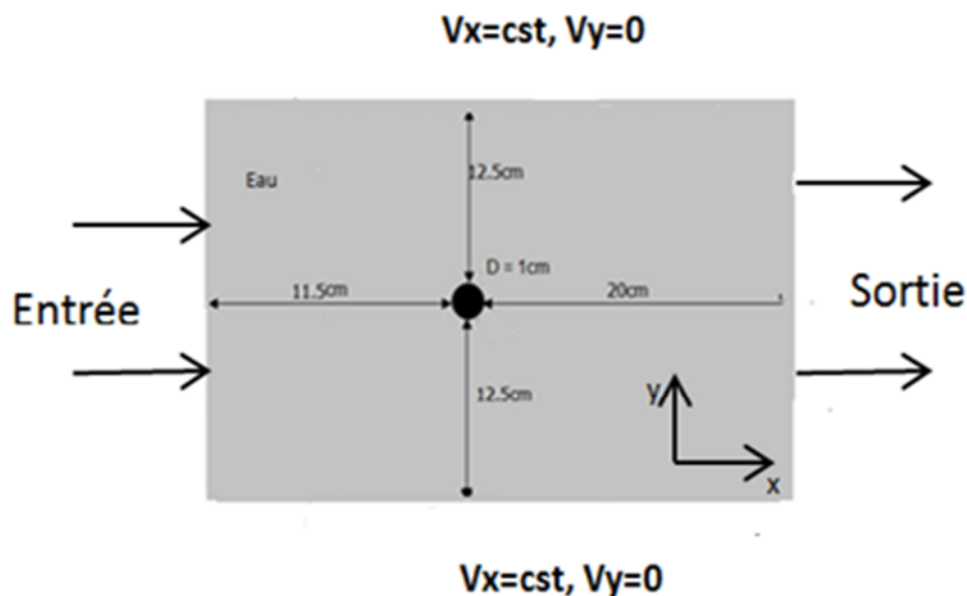


Figure II.1 : Les dimensions et les conditions de la géométrie.

## II.1.2 Formulation mathématique

L'écoulement d'un fluide visqueux autour d'un obstacle est régi par les équations classiques de mécanique des fluides, à savoir les équations de continuité et de quantité de mouvement. De ce fait, la modélisation numérique du problème physique doit impérativement passer par la résolution numérique de ses équations.

### II.1.2.1 Equation de continuité

L'équation de la continuité doit traduire le principe de conservation de la masse. Elle traduit mathématiquement le fait que la masse contenue dans un volume de contrôle est conservée, donc la masse est conservée au cours du temps. La forme générale de cette équation est donnée par l'expression suivante :

$$\frac{d\rho}{dt} + \rho \times \text{div} \vec{V} = 0 \quad (\text{II.1})$$

Ou,

$\vec{V}$  est le vecteur vitesse de l'écoulement exprimé en (m/s) tel que :  $\vec{V} = U_X + V_Y$

$U_X, V_Y$  sont les composantes de vecteur de la vitesse d'écoulement dans les directions X et Y, respectivement.

$\rho$  est la masse volumique du fluide ( $\text{kg.m}^{-3}$ ).

Si le fluide est incompressible, la masse volumique  $\rho$  est constante et on aura :

$$\frac{d\rho}{dt} = \frac{\partial \rho}{\partial t} + \frac{\partial \rho}{\partial x} + \frac{\partial \rho}{\partial y} = 0 \quad (\text{II.2})$$

L'équation de continuité pour un écoulement incompressible bidimensionnel s'écrit sous la forme :

$$\text{div} \vec{V} = \frac{\partial u}{\partial x} + \frac{\partial v}{\partial y} = 0.$$

$$\text{Donc : } \frac{\partial u}{\partial x} + \frac{\partial v}{\partial y} = 0 \quad (\text{II.3})$$

### II.1.2.2 Equations de quantité de mouvement

Les équations de quantité de mouvement (ou de Navier Stokes) sont des équations aux dérivées partielles non linéaires qui sont censées décrire le mouvement des fluides newtoniens dans l'approximation des milieux continus. La forme générale de ces équations est présentée comme suit :

$$\rho \frac{d\vec{v}}{dt} = \rho \vec{f} - \overrightarrow{\text{grad}p} + \mu \Delta \vec{v} \quad (\text{II.4})$$

Et qui peut s'exprimer comme suit :

$$\frac{d\vec{v}}{dt} = \vec{f} - \frac{1}{\rho} \overrightarrow{\text{grad}p} + \nu \Delta \vec{v} \quad (\text{II.5})$$

Dans la précédente équation :

$\nu$  représente la viscosité cinématique ( $m^2.s^{-1}$ ).

$\mu$  représente la viscosité dynamique ( $kg.m^{-1}.s^{-1}$ ).

$\rho$  désigne la masse volumique du fluide ( $kg.m^{-3}$ ).

$P$  représente la pression exercée par une force  $F$  sur une surface  $S$ , exprimée en ( $N/m^2$ ).

$\vec{f}$  désigne la résultante des forces massiques s'exerçant dans le fluide.

Si on suppose que l'écoulement est bidimensionnel et incompressible, nous projectons l'équation II.5 sur les axes  $X$ ,  $Y$ , et étant donné que  $U_x$ ,  $V_y$  sont les composantes de vitesse selon  $X$ ,  $Y$  respectivement, donc nous obtenons :

➤ Suivant l'axe  $X$  :

$$\frac{\partial u}{\partial t} + u \frac{\partial u}{\partial x} + v \frac{\partial u}{\partial y} = f_x - \frac{1}{\rho} \frac{\partial p}{\partial x} + \nu \left( \frac{\partial^2 u}{\partial x^2} + \frac{\partial^2 u}{\partial y^2} \right) \quad (\text{II.6})$$

➤ Suivant l'axe Y :

$$\frac{\partial y}{\partial t} + \mathbf{u} \frac{\partial v}{\partial x} + \mathbf{v} \frac{\partial v}{\partial y} = \mathbf{f}_y - \frac{1}{\rho} \frac{\partial p}{\partial y} + \mathbf{v} \left( \frac{\partial^2 v}{\partial x^2} + \frac{\partial^2 v}{\partial y^2} \right) \quad (\text{II.7})$$

## II.2 Conditions aux limites

La résolution des problèmes de mécanique des fluides n'est possible que lorsque les conditions aux limites sont conjointement appliquées aux frontières du domaine d'étude (entrées, sorties, etc...), et les variables aux frontière (vitesse, pression, etc...). Ces conditions sont liées à degrés des équations différentielles, dans notre cas les conditions sont résumées dans le tableau suivant :

Les frontières	La condition
Frontière gauche	Vitesse d'entrée
Frontière supérieur	Vitesse d'entrée
Frontière inférieur	Vitesse d'entrée
Frontière droite	Sortie
Cylindre	Obstacle

**Tableau II.1 : Les conditions aux limites.**

## II.3 Propriétés du fluide de circulation

Le fluide de circulation est un fluide visqueux, newtonien et incompressible autour d'un obstacle circulaire, tous les fluides possèdent des paramètres physico-chimiques permettant de décrire leurs conditions physiques dans un état donnée, ces paramètre sont la suivantes : la compressibilité, masse volumique, poids volumique, volume massique, viscosité.

## II.4 Méthode des volumes finis (MVF)

La résolution des équations à dérivées partielles montrées précédemment ne peut se faire de manière analytique, d'où la nécessité d'avoir recours à des méthodes itératives comme la méthode des éléments finis, différences ou encore méthode des volumes finis. Dans ce qui suit, nous allons donner un aperçu général sur la méthode des volumes finis, qui est utilisée pour la résolution du notre problème physique en se focalisant sur une discrétisation unidirectionnelle et en bidimensionnel [19].

### II.4.1 Notions élémentaires sur le maillage, les nœuds et les éléments

La figure II.2 montre un domaine fluide découpé en sous domaines, cette technique est appelée maillage. Les éléments sont associés aux nœuds de discrétisation qui représentent les points de résolution des équations discrètes. Ces points peuvent être placés aux sommets, au centre ou sur les faces des éléments, selon la méthode de discrétisation utilisée [20].

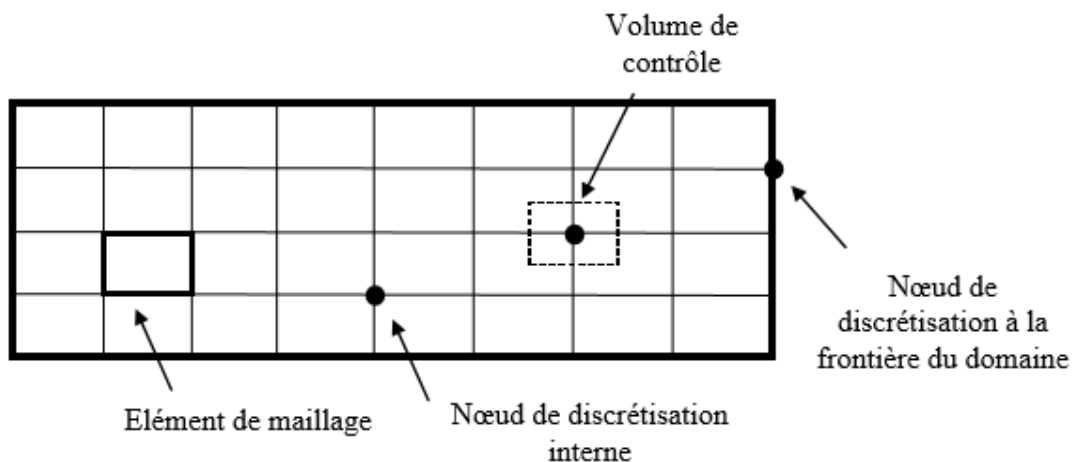


Figure II.2 :Subdivision d'un domaine fluide en sous domaines.

La méthode des volumes finis (parfois appelée méthode des volumes de contrôles) est une technique de discrétisation qui convertit les équations de conservation aux dérivées partielles en équation algébriques, qui peuvent être résolus numériquement elle consiste à intégrer les équations aux dérivées partielles (EDP) sur chaque volume de contrôle.

II.4.2 Cas monodimensionnel

La première étape dans ce cas consiste à diviser le domaine en plusieurs cellules régulières appelées volumes de contrôle comme le montre la figure II.3. L'équation différentielle est alors intégrée sur chaque volume de contrôle, pour nous donner des équations discrétisées. Le principe de conservation est alors assuré pour chaque volume de contrôle et par suite il est vérifié pour tout le domaine. Chaque volume fini entoure un nœud principal "P". Les nœuds voisins sont "E" côté Est et "W" côté West. Les lignes en tirés représentent les faces du volume fini coté est (e) et coté West (w).

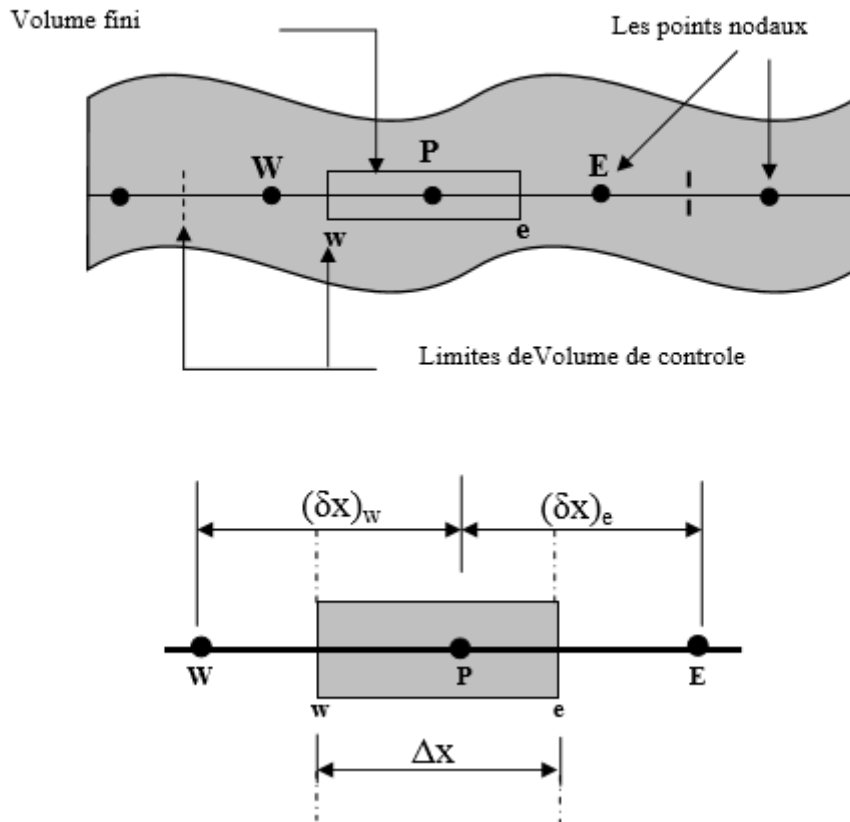


Figure II.3 : Schéma qui montre les différents nœuds et le volume de contrôle [21].

Pour un problème monodimensionnel, dans le cas de la figure II.4 le domaine de calcul est divisé en cinq volumes de contrôles.

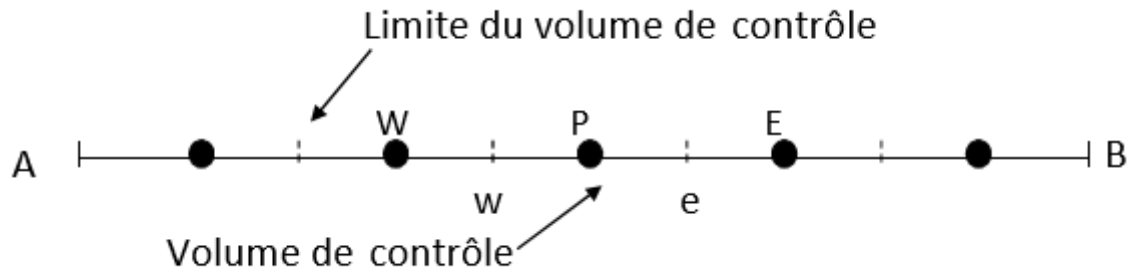


Figure II.4 : Subdivision d'un domaine fluide en sous domaine.

- Considérons un problème de transport de la variable  $\phi$  par diffusion suivants :

$$\mathbf{div}(\Gamma \mathbf{grad} \phi) + \mathbf{S}_\phi = \mathbf{0} \text{ (II.8)}$$

La méthode des volumes finis permet de changer une intégrale de volume en intégrale de surface :

$$\int_{cv} \mathbf{div}(\Gamma \mathbf{grad} \phi) dv + \int_{cv} \mathbf{S}_\phi dv = \int_A (\Gamma \mathbf{grad} \phi) dA + \int_{cv} \mathbf{S}_\phi dv = \mathbf{0} \text{ (II.9)}$$

A surface enveloppant le volume de contrôle.

- L'équation II.7 en 1D prend la forme suivante :

$$\frac{d}{dx} \left( \Gamma \frac{d\phi}{dx} \right) + \mathbf{S} = \mathbf{0} \text{ (II.10)}$$

$\Gamma$  coefficient de diffusion.

$\mathbf{S}$  terme source.

Ont intégré l'équation II.9 sur le volume de contrôle de centre P, nous donne :

$$\int_{\Delta v} \frac{d}{dx} \left( \Gamma \frac{d\phi}{dx} \right) dv + \int_{\Delta v} \mathbf{S} dv = (\Gamma A \frac{d\phi}{dx})_e - (\Gamma A \frac{d\phi}{dx})_w + \bar{\mathbf{S}} \Delta V \text{ (II.11)}$$

Pour simplifier on a ( $\Delta X_e = \Delta X_w = \Delta X$ ) et appliquer un schéma centré d'ordre deux pour remplace les dérivés premières sur les facettes du volume de contrôle, on' a :

$$\left(\Gamma A \frac{d\phi}{dx}\right)_e = \Gamma_e A_e \left(\frac{\phi_E - \phi_P}{\Delta X}\right)$$

$$\left(\Gamma A \frac{d\phi}{dx}\right)_w = \Gamma_w A_w \left(\frac{\phi_P - \phi_W}{\Delta X}\right)$$

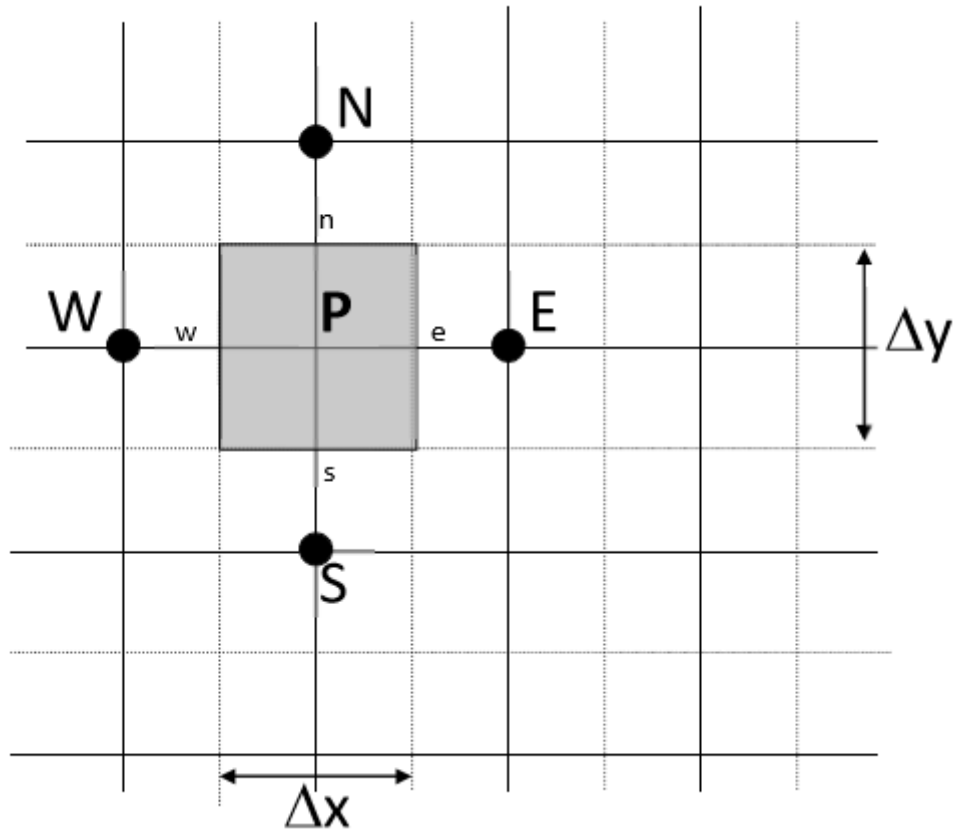
$$\bar{S}\Delta V = S_u + S_P \phi_P$$

➤ Donc l'équation II.11 devient :

$$\Gamma_e A_e \left(\frac{\phi_E - \phi_P}{\Delta X}\right) - \Gamma_w A_w \left(\frac{\phi_P - \phi_W}{\Delta X}\right) + S_u + S_P \phi_P = 0 \quad (\text{II.12})$$

### II.4.3 Cas bidimensionnel

Dans le cas d'un problème bidimensionnel, la formulation bidimensionnelle consiste à subdiviser le domaine d'étude en un nombre d'éléments finis. Chaque élément contient quatre nœuds et un volume fini entoure chaque nœud la figure II.5 montre le domaine d'étude et les nœuds :



**Figure II.5 : Discretisation en volumes finis du domaine d'étude dans le cas bidimensionnel [22].**

La méthode utilisée précédemment peut facilement être appliquée au cas de phénomènes de transport à deux dimensions soit l'équation suivante :

$$\frac{\partial}{\partial x} \left( \Gamma \frac{\partial \phi}{\partial x} \right) + \frac{\partial}{\partial y} \left( \Gamma \frac{\partial \phi}{\partial y} \right) + \mathbf{S} = \mathbf{0} \quad (\text{II.13})$$

- L'intégration de l'équation II.13 autour du volume de contrôle de centre P comme la montre la figure II.6 nous donne :

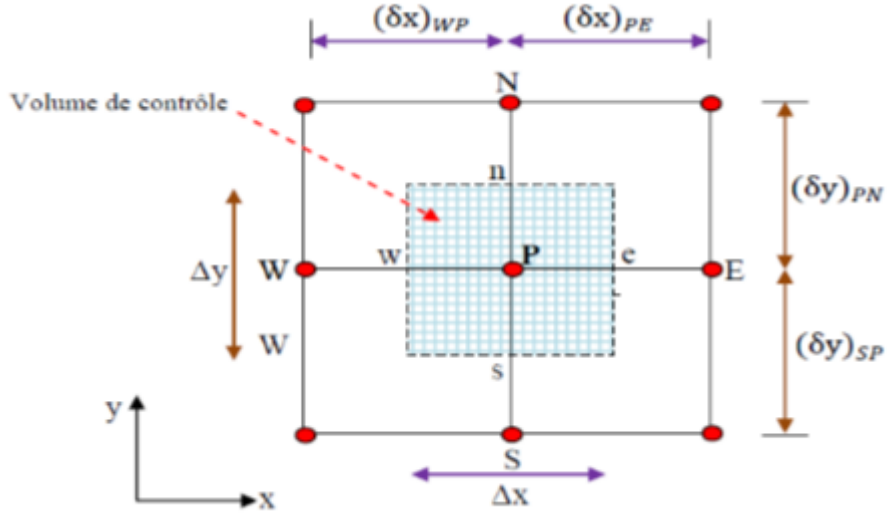


Figure II.6 : Volume de contrôle bidimensionnel [20].

$$\int_{\Delta v} \frac{\partial}{\partial x} \left( \Gamma \frac{\partial \phi}{\partial x} \right) dx dy + \int_{\Delta v} \frac{\partial}{\partial y} \left( \Gamma \frac{\partial \phi}{\partial y} \right) dx dy + \int_{\Delta v} \mathbf{S}_\phi dV = 0 \quad (\text{II.14})$$

On utilisant les égalités suivantes :  $A_e = A_w = \Delta y$  et  $A_n = A_s = \Delta x$  nous obtenons:

$$\left[ \Gamma_e \left( \frac{\partial \phi}{\partial x} \right)_e - \Gamma_w \left( \frac{\partial \phi}{\partial x} \right)_w \right] \Delta y + \left[ \Gamma_n \left( \frac{\partial \phi}{\partial y} \right)_n - \Gamma_s \left( \frac{\partial \phi}{\partial y} \right)_s \right] \Delta x + \bar{\mathbf{S}} \Delta V = 0 \quad (\text{II.15})$$

En utilisant les approximations centrées on a :

Le flux à travers la face ouest :  $\Gamma_w = \frac{\partial \phi}{\partial x} \Big|_w = \Gamma_w \frac{(\phi_P - \phi_W)}{\Delta x}$  Le flux à travers la face est :  $\Gamma_e = \frac{\partial \phi}{\partial x} \Big|_e = \Gamma_e \frac{(\phi_E - \phi_P)}{\Delta x}$

Le flux à travers la face nord :  $\Gamma_n = \frac{\partial \phi}{\partial y} \Big|_n = \Gamma_n \frac{(\phi_N - \phi_P)}{\Delta y}$  Le flux à travers la face sud :  $\Gamma_s = \frac{\partial \phi}{\partial y} \Big|_s = \Gamma_s \frac{(\phi_P - \phi_S)}{\Delta y}$

Donc l'équation II.15 devient :

$$\Gamma_e \Delta y \frac{(\phi_E - \phi_P)}{\Delta x} - \Gamma_w \Delta y \frac{(\phi_P - \phi_W)}{\Delta x} + \Gamma_n \Delta x \frac{(\phi_N - \phi_P)}{\Delta y} - \Gamma_s \Delta x \frac{(\phi_P - \phi_S)}{\Delta y} + \bar{S} \Delta V = 0 \quad (\text{II.16})$$

## II.5 Principe de la méthode des volumes finis

Dans cette section, nous allons récapituler les étapes à suivre pour résoudre les équations qui régissent le problème physique en utilisant la méthode des volumes finis.

La résolution de ces équations passe par quatre étapes principales, qui sont :

Etape 1 : Effectuer un maillage du domaine d'étude : ceci se fait en plaçant un certain nombre de nœuds dans ce domaine et en construisant un volume fini ou un volume de contrôle autour de chaque nœud. Ce volume de contrôle est délimité par des interfaces.

Etape 2 : Intégrer l'équation aux dérivées partielles sur chaque volume de contrôle.

Etape 3 : Choisir un profil de variation de la quantité à trouver (par exemple : température, pression, etc.....) entre deux nœuds consécutifs pour pouvoir évaluer les dérivées à l'interface.

Ceci nous conduit à l'obtention d'une équation algébrique simple appelée « équation discrétisée » qui est propre à chaque nœud du domaine. Donc, si celui-ci est constitué de  $n$  nœuds, on aurait  $n$ -équations algébriques à résoudre, il y a donc, autant de nœuds que de volumes de contrôle d'où la performance de la méthode des volumes finis comparativement aux autres méthodes.

Etape 4 : Résoudre le système d'équations obtenu par l'une des méthodes de résolution des équations algébriques linéaires. Le domaine de calcul est divisé en un nombre fini de sous-domaines élémentaires, appelés volumes de contrôle. La méthode des volumes finis consiste à intégrer les équations aux dérivées partielles.

## **Chapitre III : Simulation Numérique**

Dans ce chapitre, nous allons exposer les étapes à suivre pour la simulation d'un écoulement d'un fluide autour d'un obstacle circulaire en utilisant le logiciel Gambit version 2.4 pour la création et le maillage de la géométrie, et le logiciel fluent pour résolution numérique des équations de transferts.

### III.1 Esquisse et maillage de la géométrie sur le logiciel Gambit

Dans ce qui suit nous allons exposer les étapes suivies pour l'esquisse et le maillage de la géométrie d'intérêt, présentée précédemment sur le logiciel Gambit V 2.4.

- 1. Création des points :** On positionne les points avec leurs coordonnées pour définir les frontières et les dimensions de la géométrie.

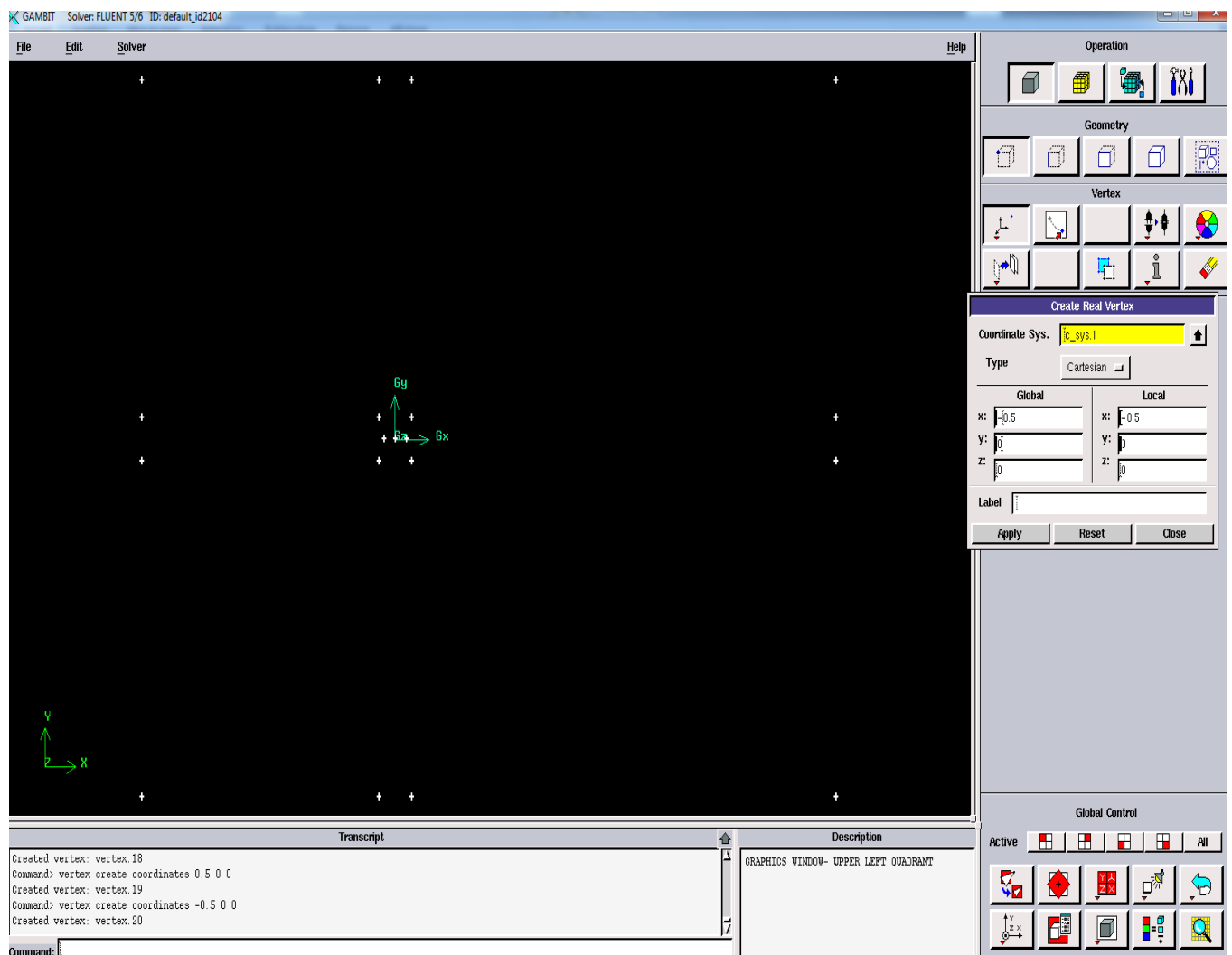
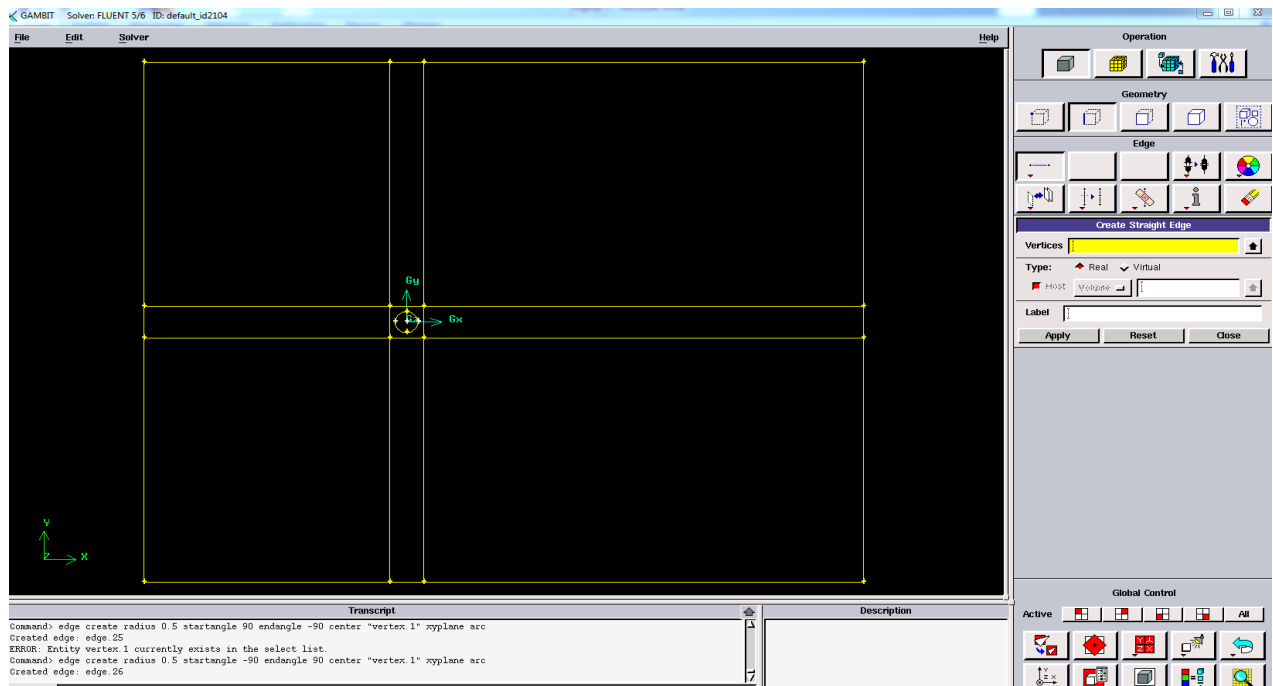


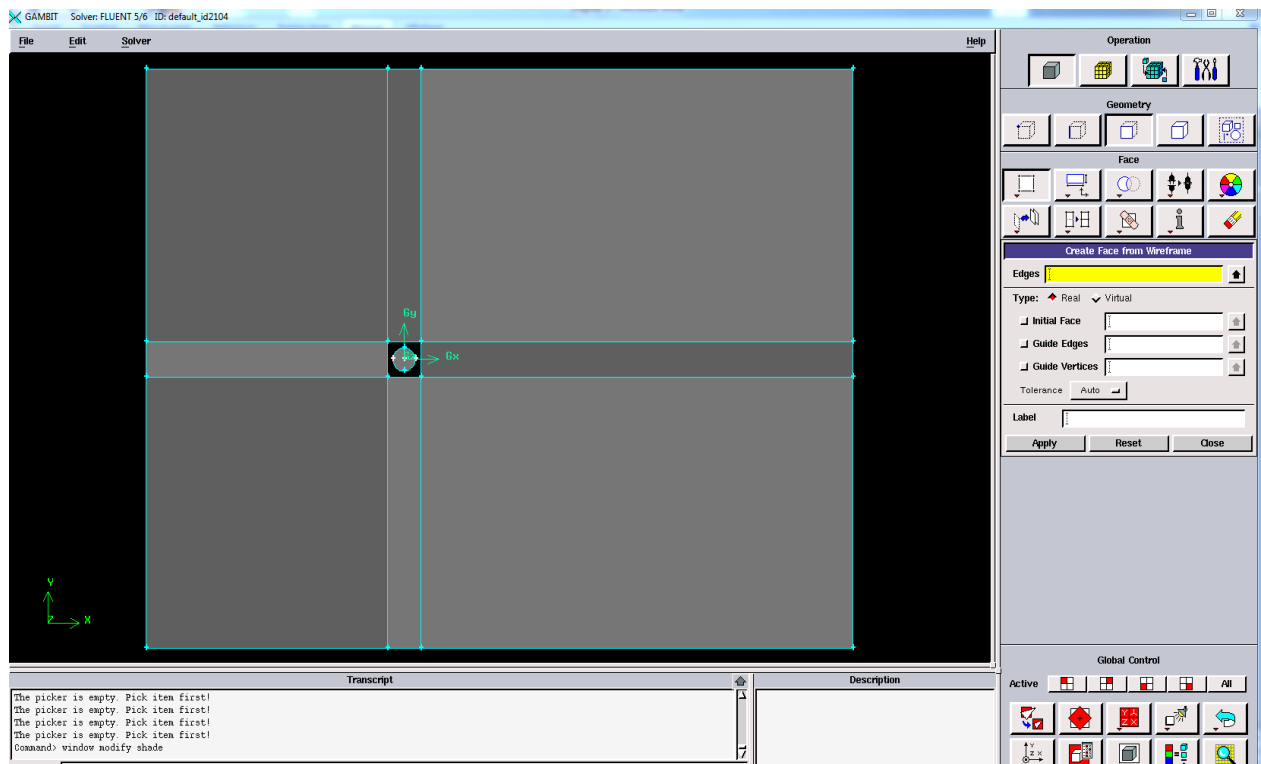
Figure III.1 : Créations des points

**2. Création des lignes :** On rejoint les points existants pour créer des lignes.



**Figure III.2: Créations des lignes**

**3. Création des faces :** On façonne les faces à partir des lignes existantes et on soustrait la face de l'obstacle comme un mur 'wall'.



**Figure III.3: Création des faces**

**4. Maillage des lignes :** On subdivise chaque ligne en sous-domaines et on augmente la densité des nœuds, pour chaque ligne de base elle a 133 nœuds. Chaque segment il a un raffinement spécifique dans une zone précise.

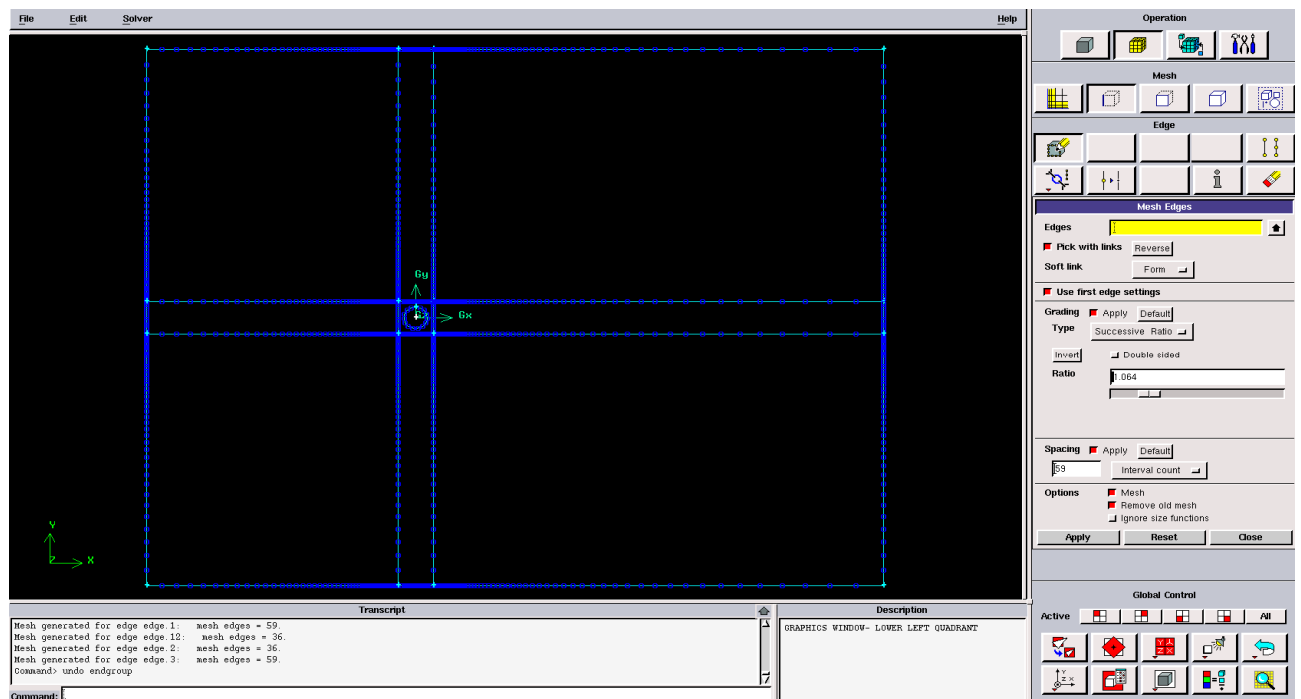


Figure III.4: Maillage des lignes

**5. Maillage des faces :** On maille les grandes faces avec l'élément carré et pour la face d'obstacle, on utilise l'élément triangulaire. Le nombre des cellules totales est de 16 122.

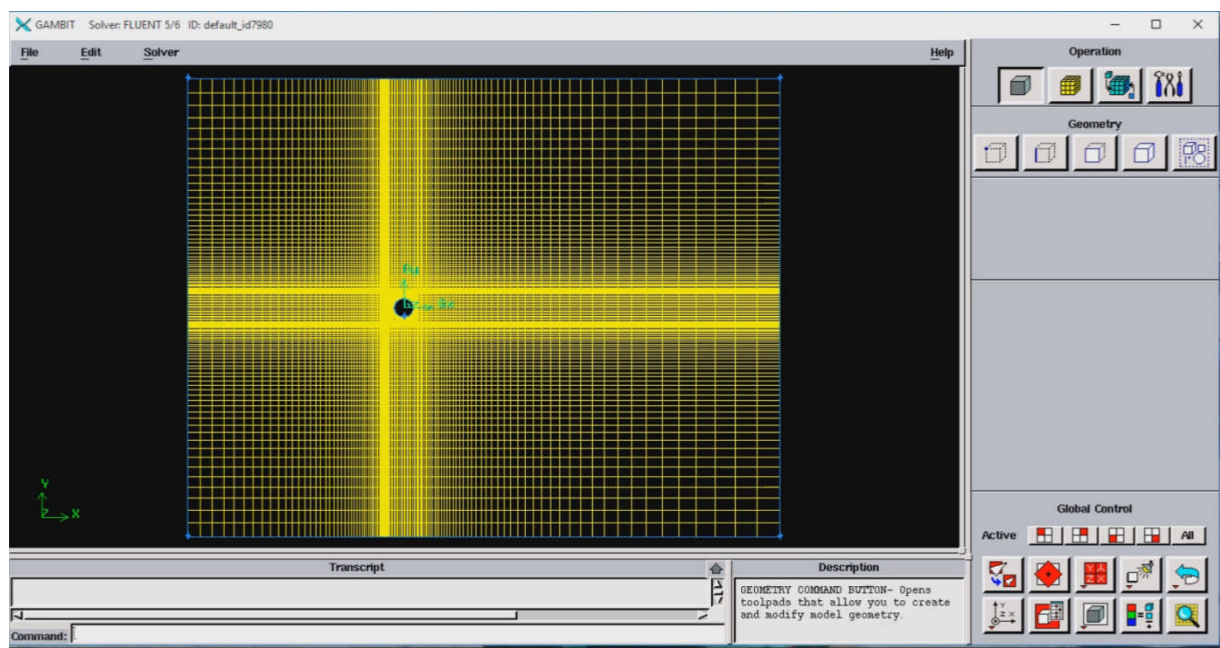


Figure III.5: Maillage des faces

**6. Application des conditions aux limites :**Après avoir terminé le maillage du domaine, on pose les conditions aux limites, comme cité précédemment

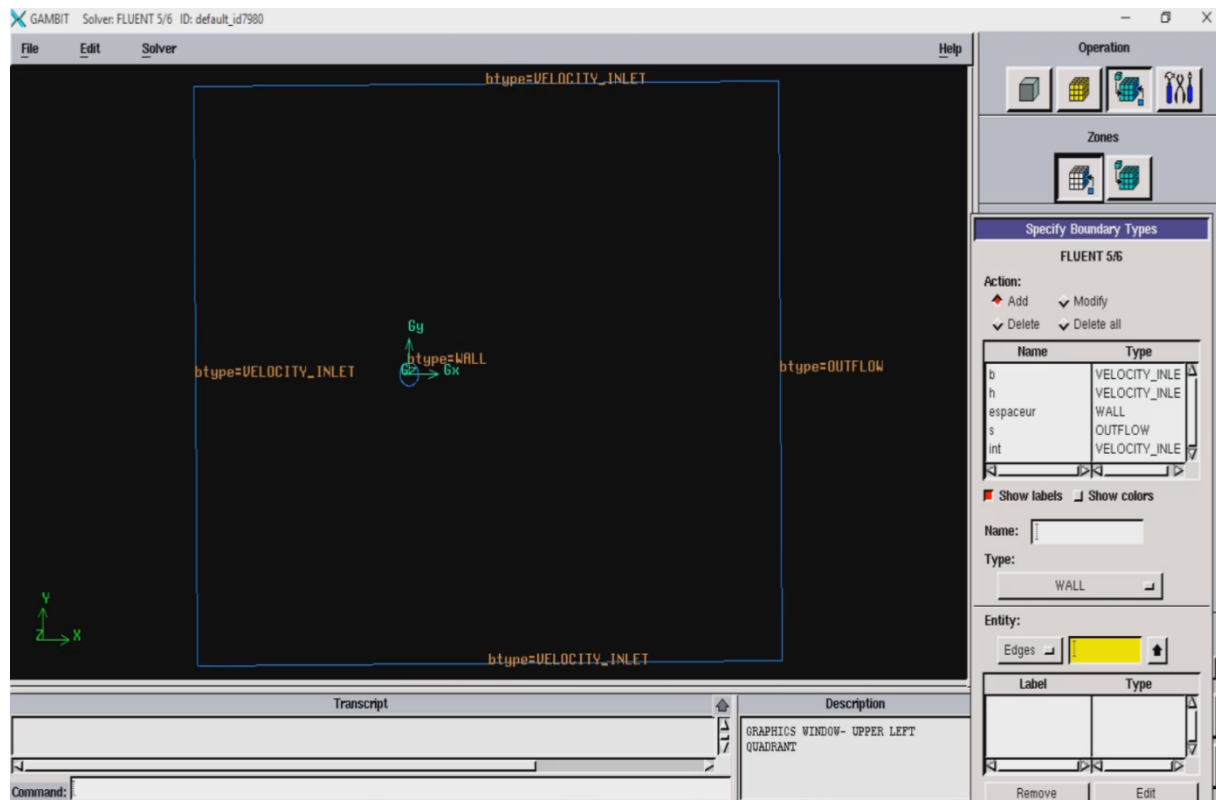


Figure III.6: les conditions aux limites

**7. Enregistrement et exportation du fichier maillé :** Une fois, la géométrie a été créée et les conditions aux limites définies, on exporte le fichier maillé vers Fluent 5/6 et donner un nom pour enregistrer.



Figure III.7 : Parcours de sauvegarde de données en fichier msh sous Gambit

### III.2 Résolution des équations de transfert sur fluent version 6.3

Dans ce qui suit, on présente la manière utilisée dans la simulation sur le code Fluent V6.3. Les étapes de la simulation est suivant :

1. Avant de commencer la simulation sur fluent. Il faut d'abord importer la géométrie générée, par Gambit sous format 'msh' voir la figure III.8. Puis vérifie la qualité du maillage importé 'chek' comme montre la figure III.9. Enfin, on vérifie les dimensions de la géométrie grâce à l'outil 'scal', figure III.10.

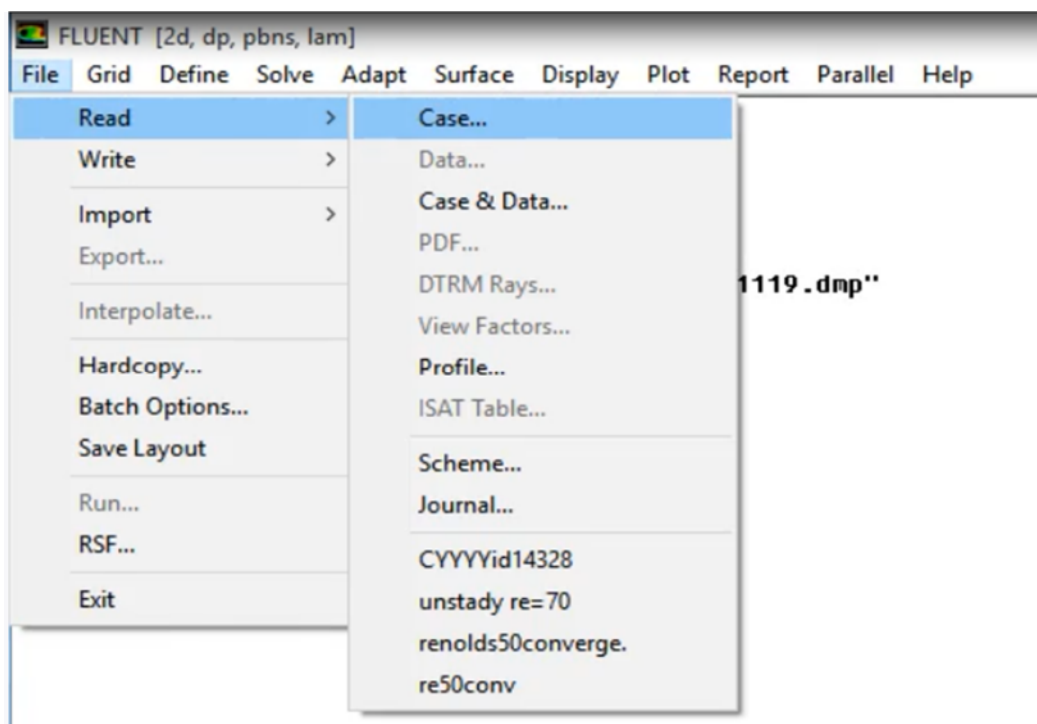


Figure III.8: Vérification du maillage sous Fluent

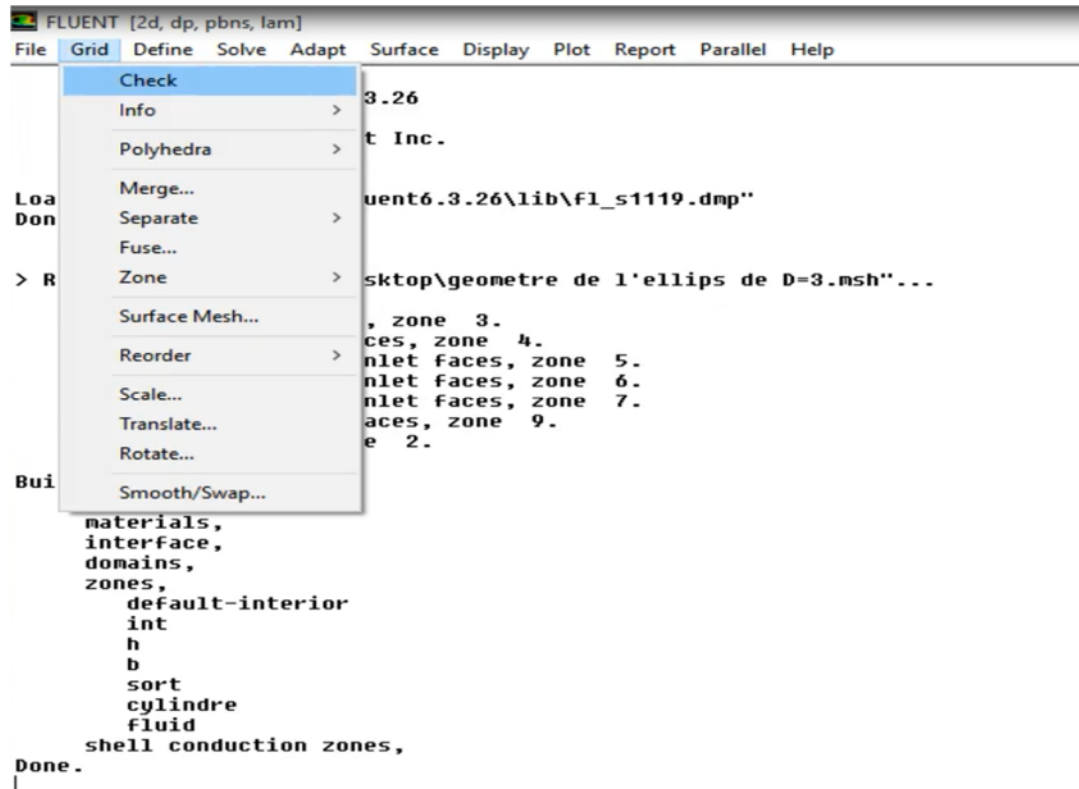


Figure III.9: Vérification du maillage

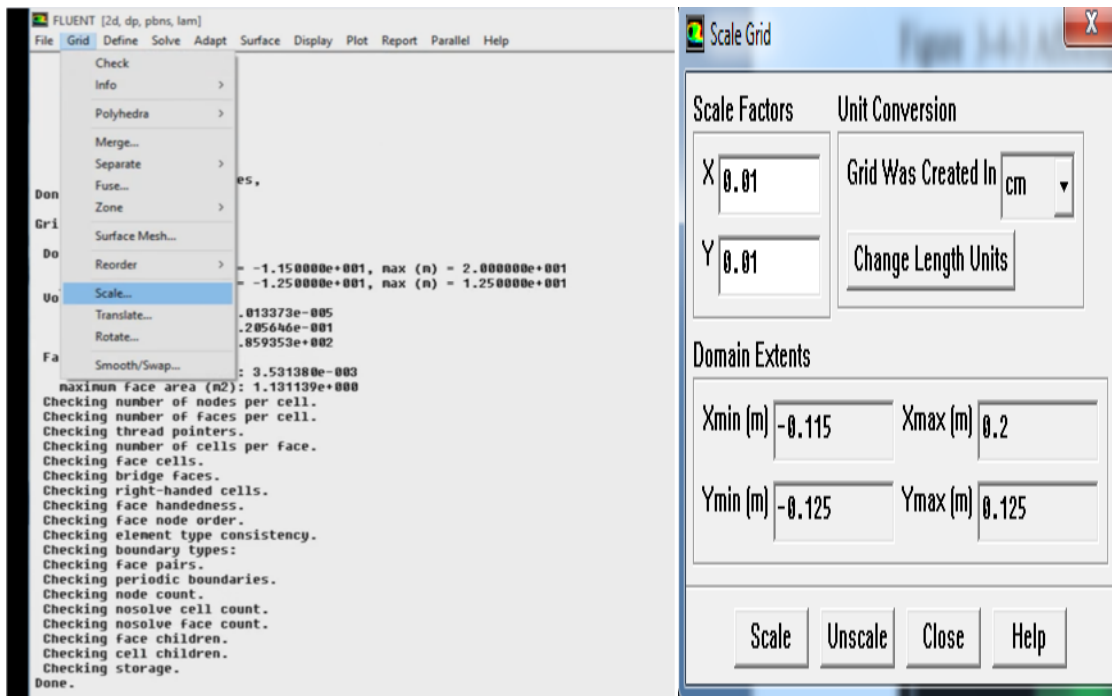


Figure III.10: Affichage de la grille et vérification les dimensions

**2.Choix du solveur :** ou'on choisit le régime stationnaire pour les vitesses  $0.002 \text{ m/s} < V < 0.006 \text{ m/s}$  et le régime instationnaire pour les vitesses  $0.006 \text{ m/s} < V < 0.012 \text{ m/s}$ .

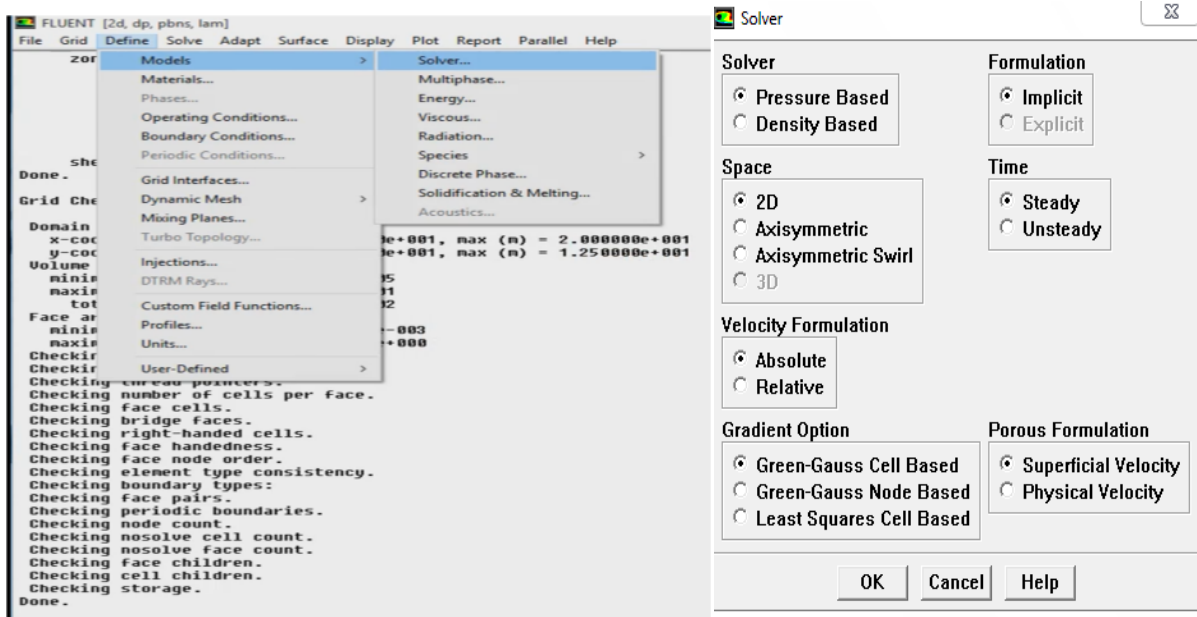


Figure III.11: Choix de régime

**3.Définition des caractéristiques du fluide :** On sélectionne l'eau standard comme liquide de circulation.

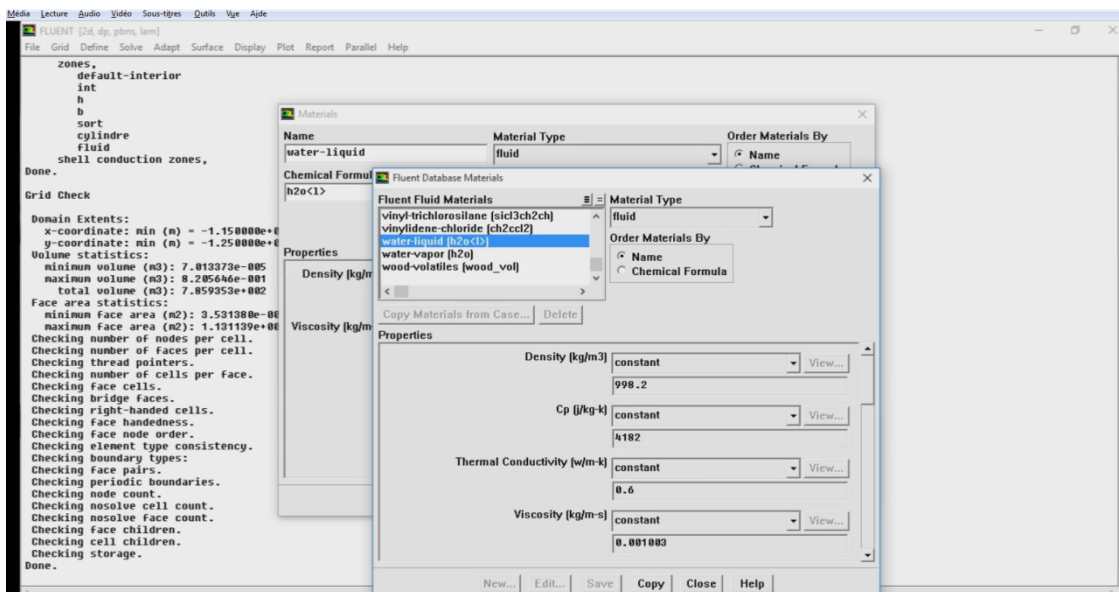
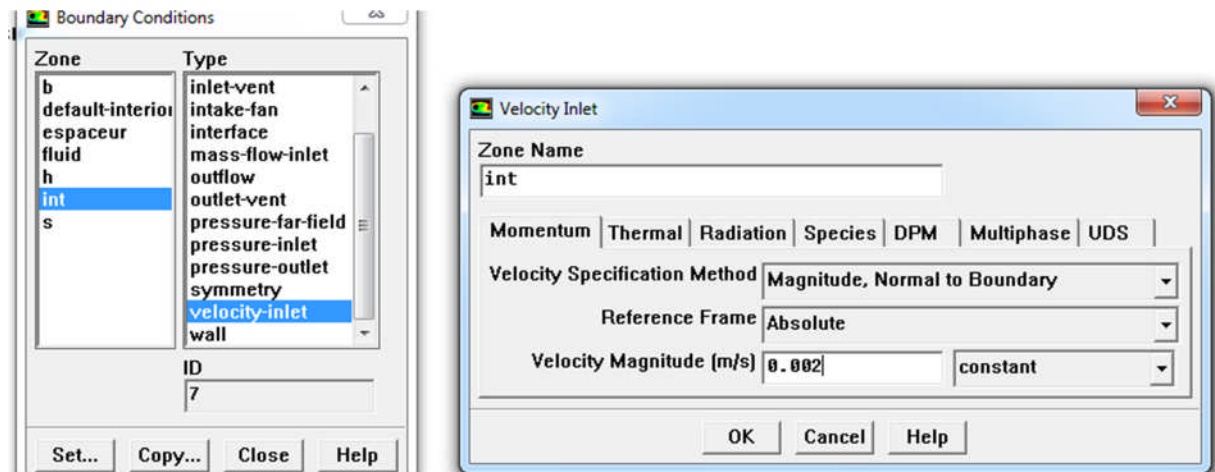


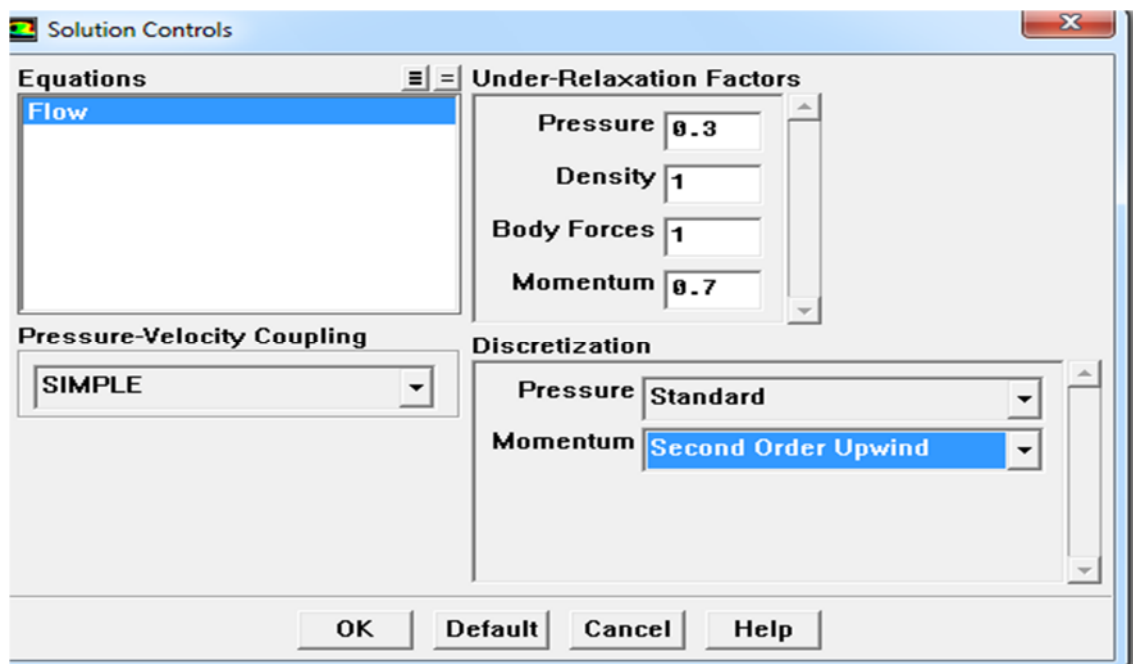
Figure III.12: Choix de type de fluide

**4. Application des Conditions aux limites :** on applique les conditions à limites montrés précédemment dans ce cas, on applique une vitesse  $V_x = 0.002\text{m/s}$ .



**Figure III.13: Valeurs des conditions aux limites**

**5. Contrôle de la solution :** On sélectionne le schéma amont du deuxième ordre et on laisse le simplexe de la vitesse avec pression. Ceci permet de spécifier le degré d'ordre des équations à résoudre.



**Figure III.14: Choix d'ordre des équations**

**6. Initialisation du calcul :** On fixe les conditions initiales du système d'itérations que l'on veut faire pour résoudre et aussi la valeur limite des résidus.

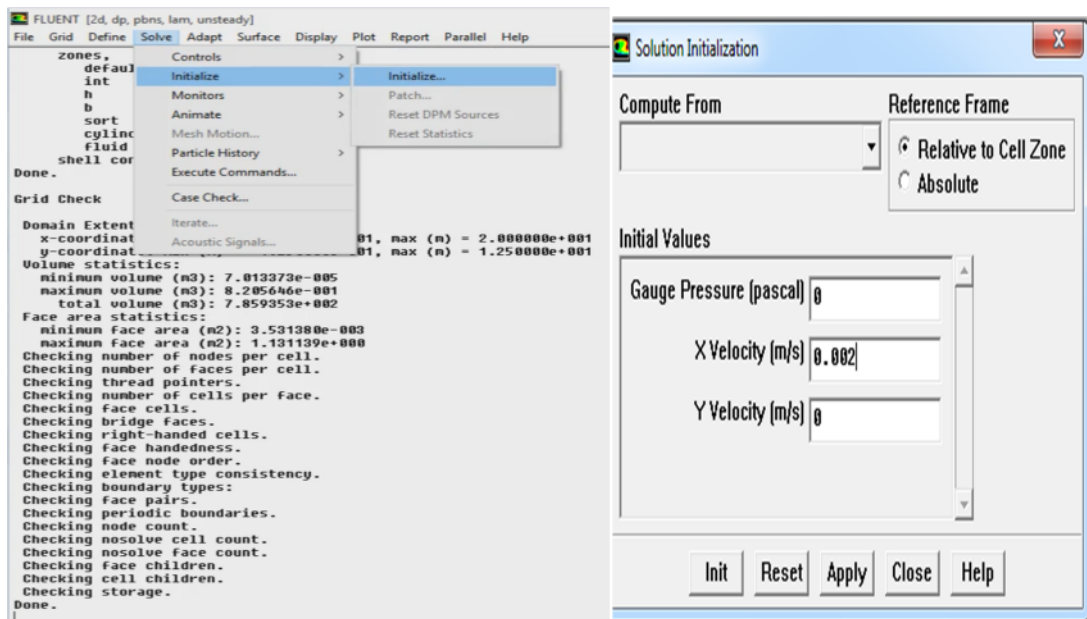


Figure III.15: Démarrage de calcul

**7. Choix des critères de convergence :** On choisit les critères de l'ordre convergence.

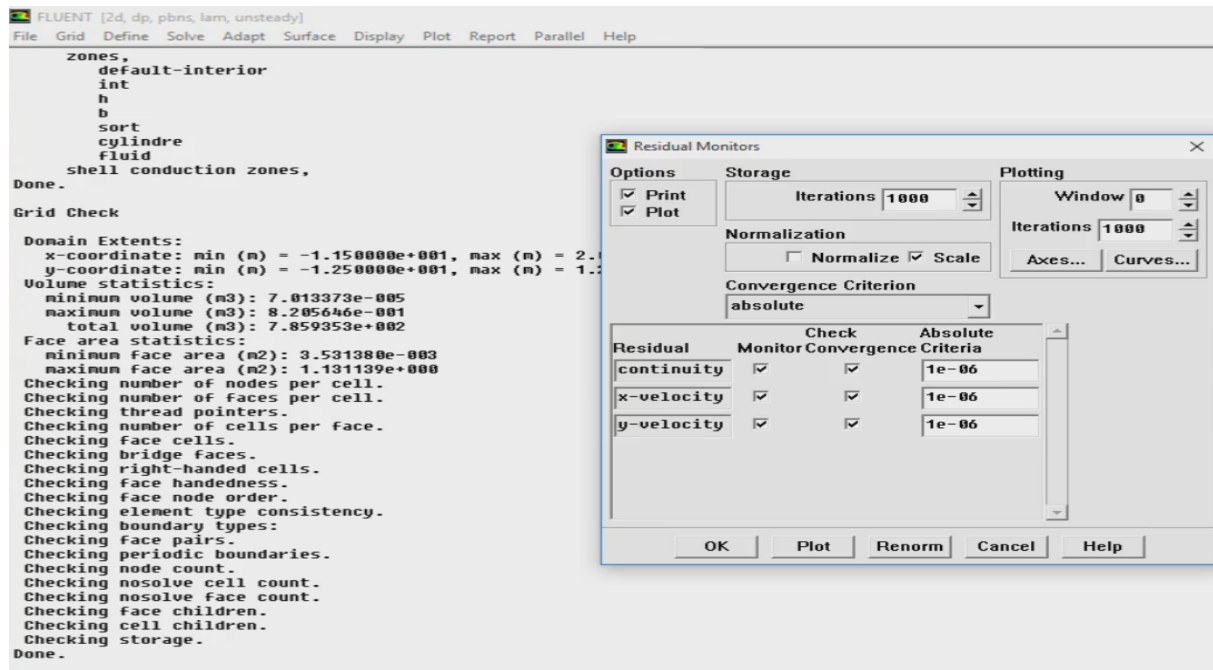


Figure III.16: Les calculs des critères de convergence

**8. Lancement du calcul :** Dans le cas d'un régime stationnaire, on lance le calcul en choisissant le nombre d'itérations de calcul comme montre la figure III.18.

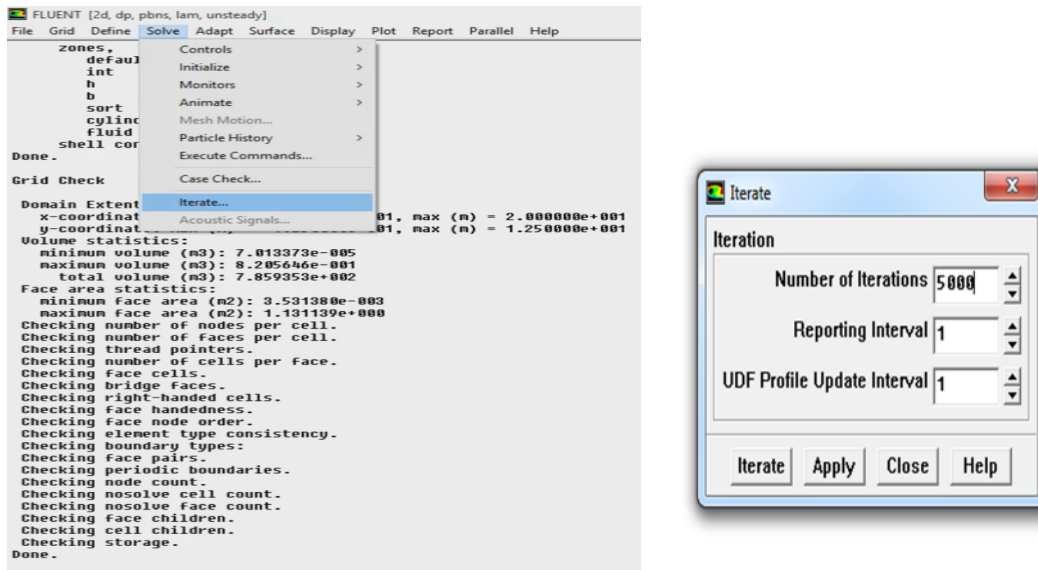


Figure III.17: Nombre des itérations pour lancer le calcul

**9. Allures de l'évolution des résidus de calcul :** Les résidus sont calculés à partir des corrections dans les variables ; pression, vitesse, température...etc. du problème entre la présente itération et l'itération précédente. Dans la plupart des cas, il faut que la solution converge.

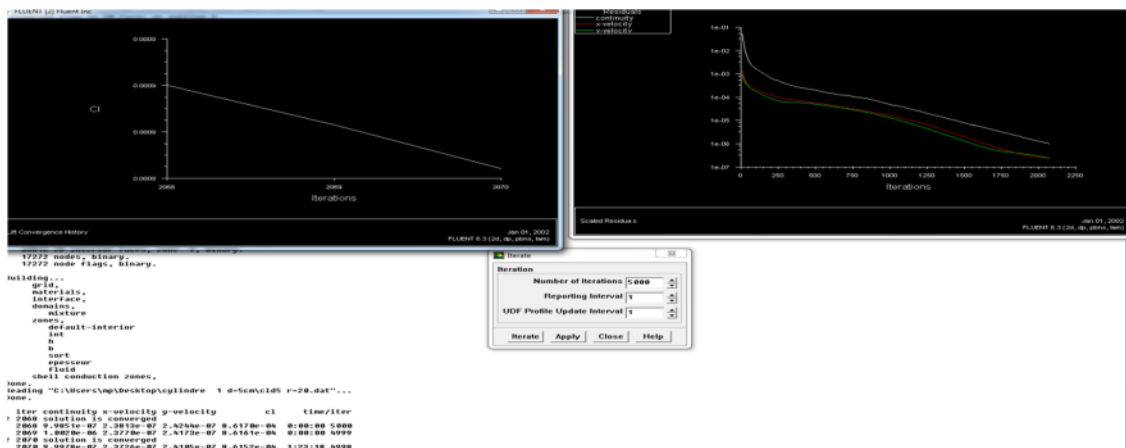
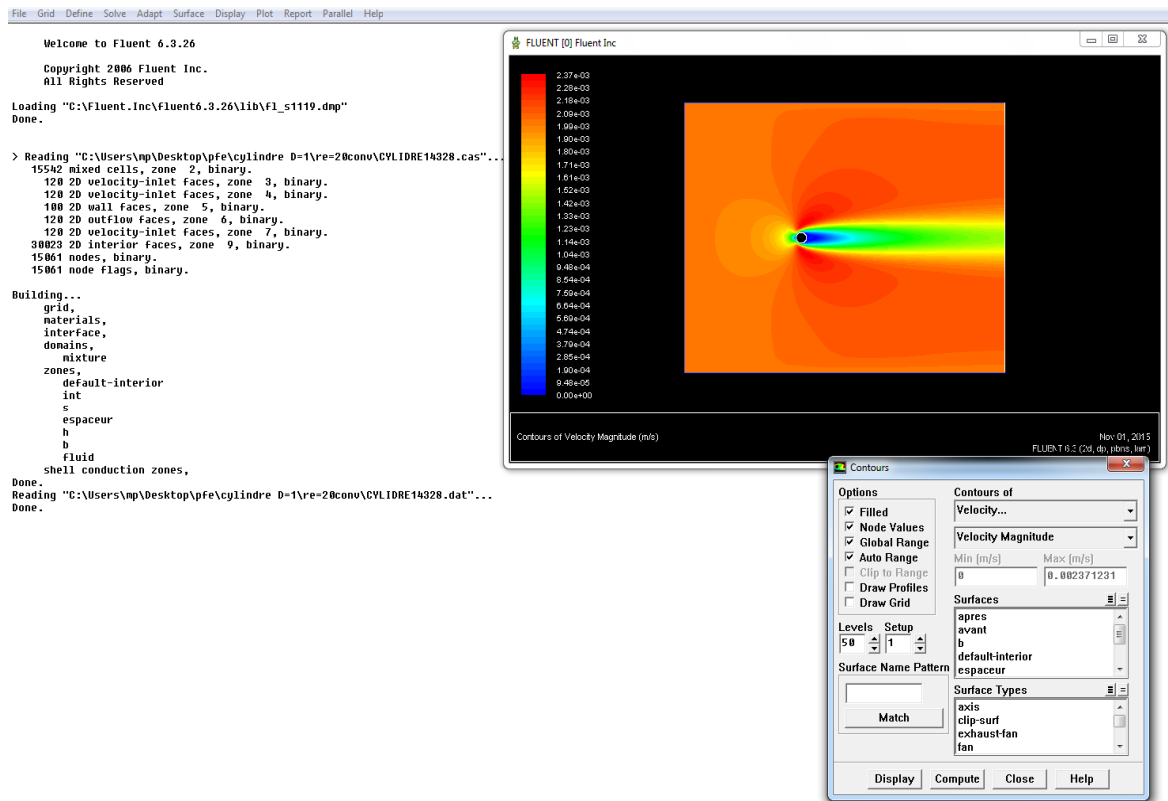


Figure III.18: L'évolution des résidus et calcul de convergence.

**10. Affichage :** Une fois le calcul arrêté, on visualise les résultats obtenus comme les contours ...etc.



**Figure III.19:** Un exemple des contours (vitesse relative).

**11. Enregistrement de fichier :** A la fin on sauvegarde le fichier des résultats afin d'effectuer des perfectionnements, ou de modifications sur le modèle.

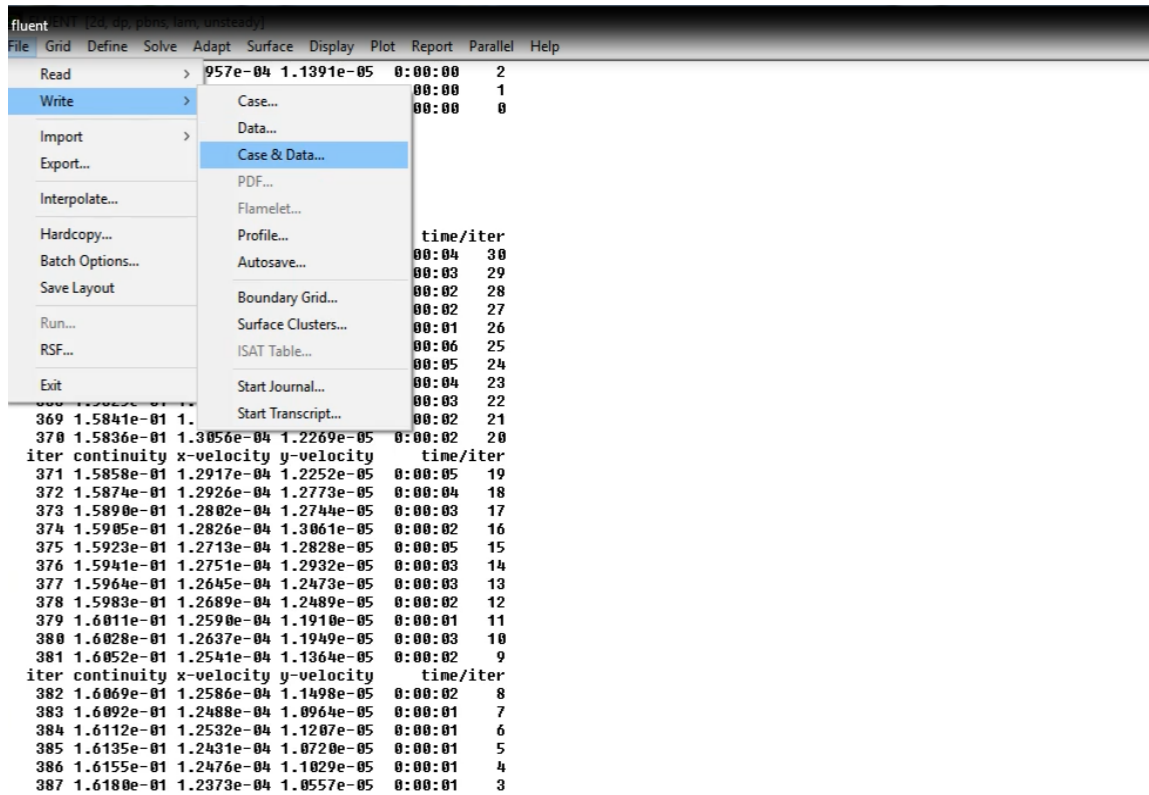


Figure III.20: Enregistrée des résultats

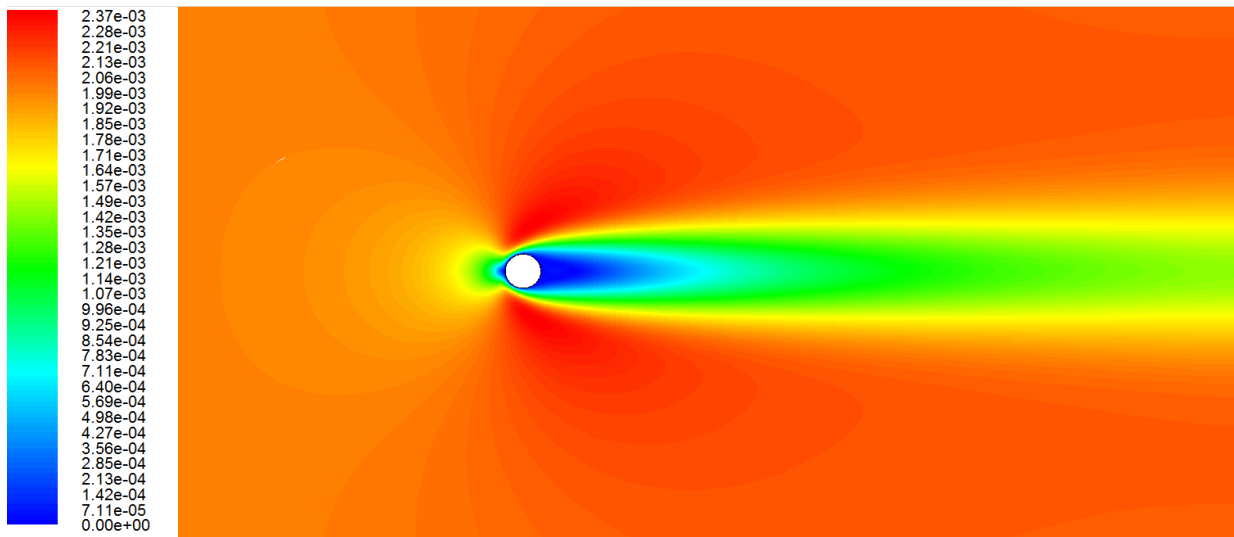
## **Chapitre IV : Résultats et Discussions**

Dans ce chapitre nous présentons les résultats des simulations numériques obtenus par le code de calcul utilisé. Plusieurs simulations seront effectués pour étudier des paramètres d'intérêts comme la vitesse de circulation du fluide, les dimensions de l'obstacle circulaire, la forme de l'obstacle et enfin le fluide de circulation. Ces résultats seront présentés sous formes de contours, de profils et d'histogrammes.

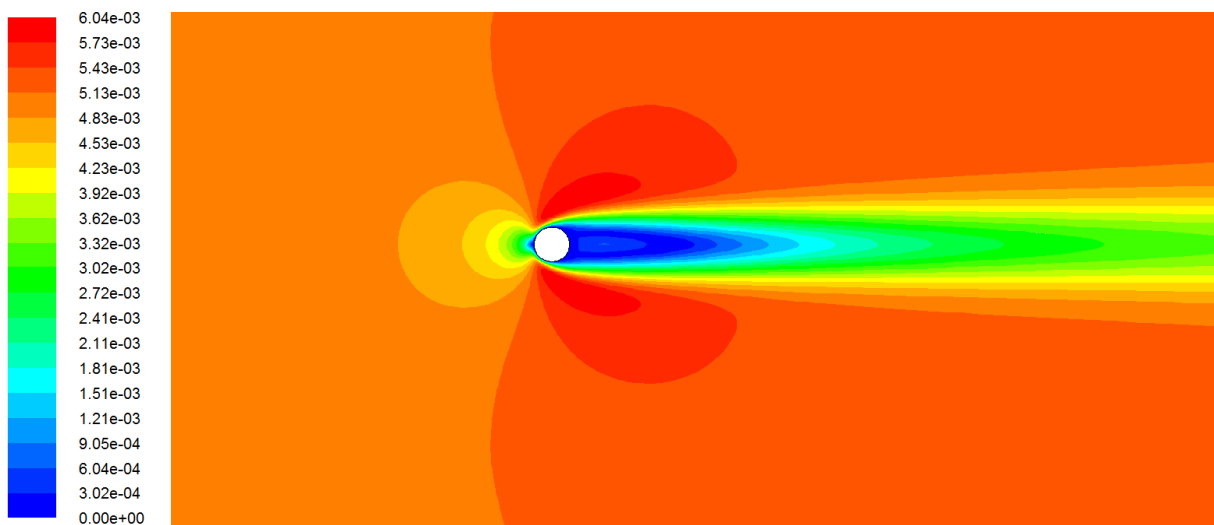
### **IV.1 Ecoulement autour d'un obstacle circulaire (cas de référence)**

Dans cette partie, on s'intéresse à présenter les résultats de la simulation d'un écoulement d'eau autour d'un obstacle circulaire, c'est notre cas de référence. Pour cela, on varie la vitesse de circulation  $V_x$  de 0.002m/s ( $Re=20$ ) jusqu'à 0.012m/s ( $Re = 120$ ) et on présente les résultats comme suit :

❖ Le champ de vitesse

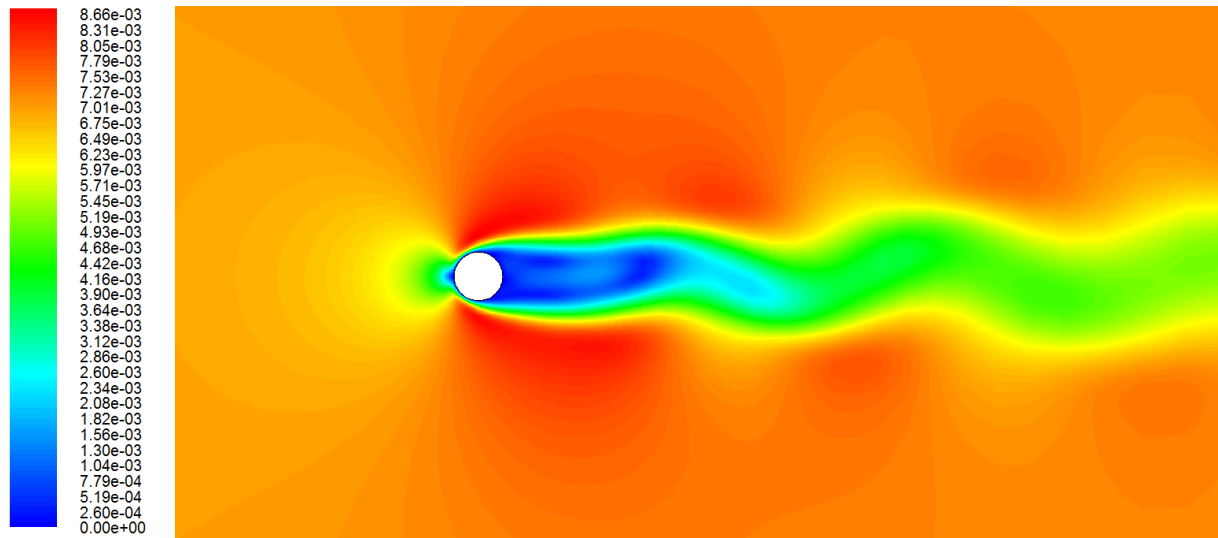
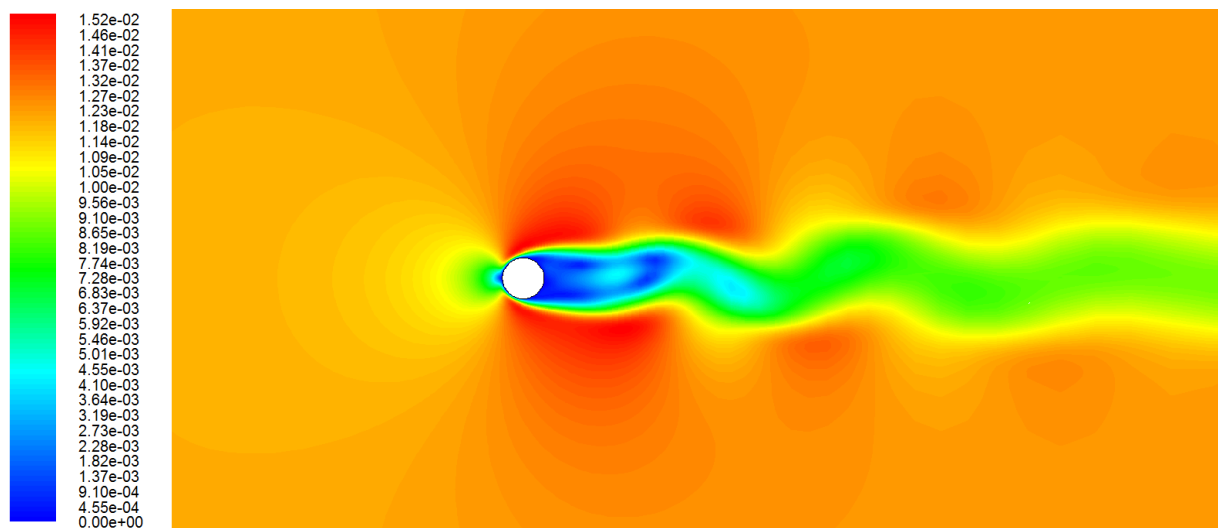


(a)  $V_x=0.002$  m/s ( $Re=20$ )



(b)  $V_x=0.005$ m/s ( $Re=50$ )

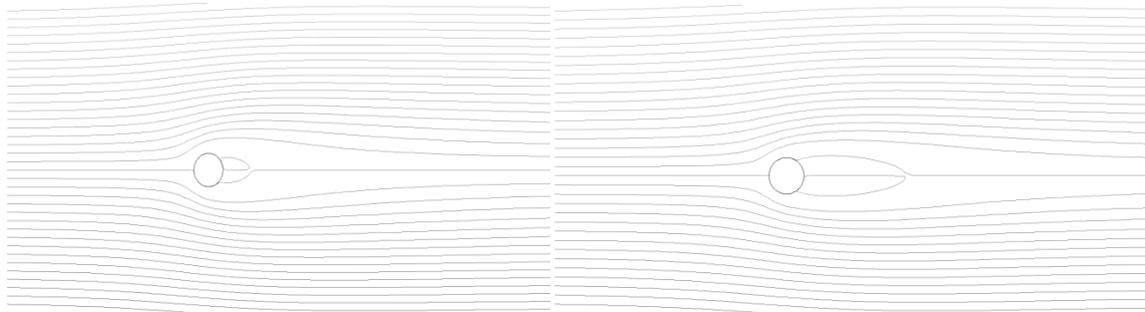
Figure IV.1: Contours du champ de vitesse pour : (a) $Re=20$  et (b)  $Re=50$

(a)  $V_x=0.007$  m/s ( $Re=70$ )(b)  $V_x = 0.012$  m/s ( $Re = 120$ )**Figure IV.2: Contours du champ de la vitesse instantanée enregistrés à  $t=600s$  pour :****(a)  $Re = 70$  et (b)  $Re = 120$** 

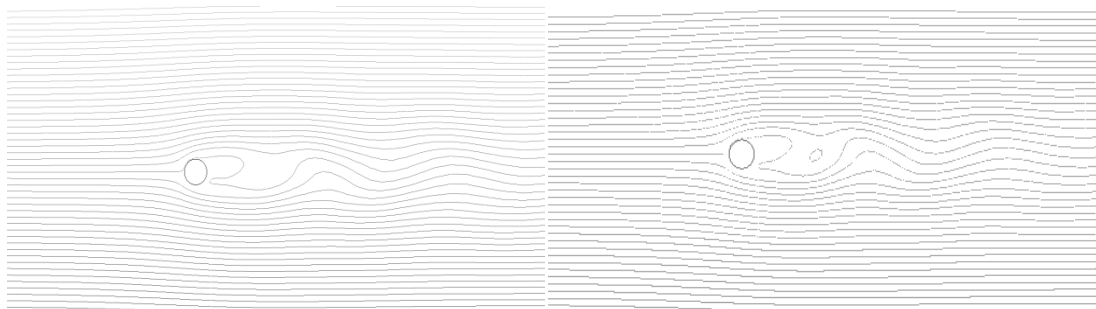
La figure IV.1 représente les champs de vitesse obtenus pour  $Re=20$  et  $Re=50$ , où on remarque que l'écoulement est parfaitement stable et aucun phénomène instationnaire n'est

visible. Par contre, les résultats obtenus pour  $Re=70$  et  $Re=120$  représentés sur la figure IV.2 montrent qu'une instabilité se manifeste et l'écoulement devient instationnaire.

#### ❖ Les lignes de courant



(a)  $V_x=0.002$  m/s ( $Re=20$ ) (b)  $V_x=0.005$  m/s ( $Re=50$ )



(c)  $V_x=0.007$  m/s ( $Re=70$ ) (d)  $V_x=0.012$  m/s ( $Re=120$ )

**Figure IV.3 : Les lignes de courant enregistrés pour : (a)  $Re=20$  et (b)  $Re=50$  et pour : (c)  $Re=70$  et (d)  $Re=120$  à  $t = 600$  s**

Les figures IV.3 (a) et IV.3 (b) montrent que les lignes de courant sont uniformes, ou deux lobes presque symétriques se forment derrière l'obstacle et s'éloignent du cylindre en augmentant la vitesse de circulation. De plus, on remarque que lorsqu'en augmente le nombre de Reynolds, le point de détachement s'éloigne de l'obstacle. Tandis que les figures IV.3 (c) et IV.3 (d), montrent des phénomènes transitoires et un sillage instationnaire qui se forme derrière le cylindre. Ces résultats sont en accord avec ceux de la Réf [23], comme le montre les contours présentés sur la figure IV.3

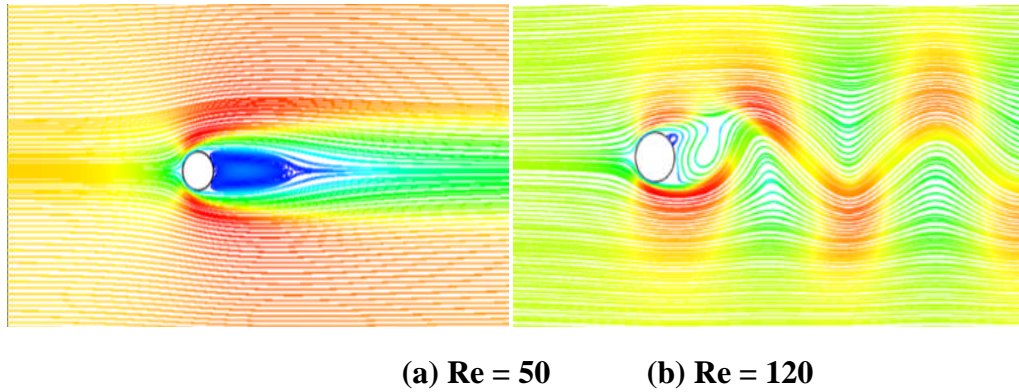
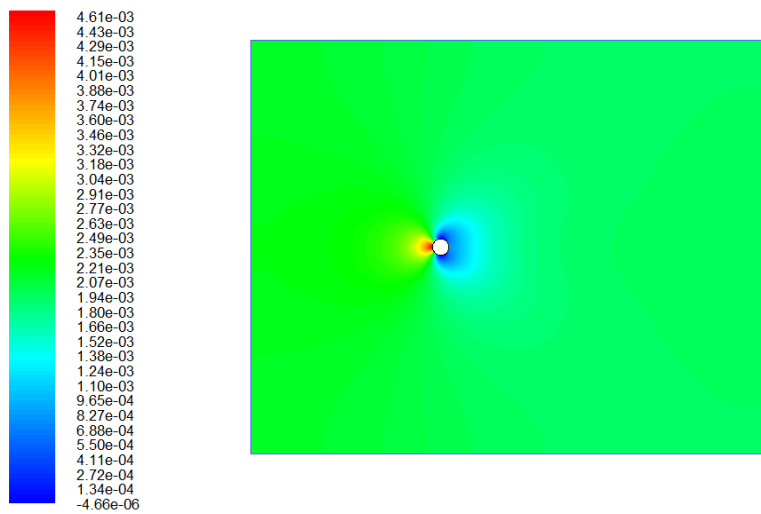


Figure IV.3 :Modèles d'un écoulement autour d'un obstacle circulaire [23]

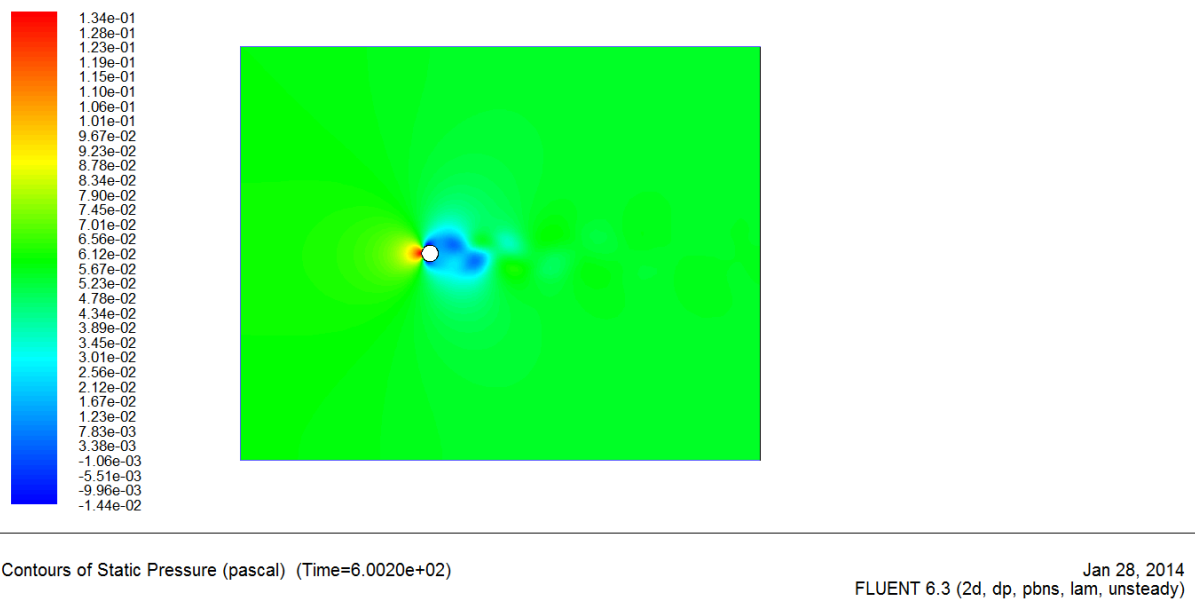
❖ Le champ de pression



Contours of Static Pressure (pascal)

Jan 28, 2014  
FLUENT 6.3 (2d, dp, pbns, lam)

(a)  $V_x = 0.002\text{m/s}$  ( $Re=20$ )



(b)  $V_x = 0.012 \text{ m/s}$  ( $Re=120$ )

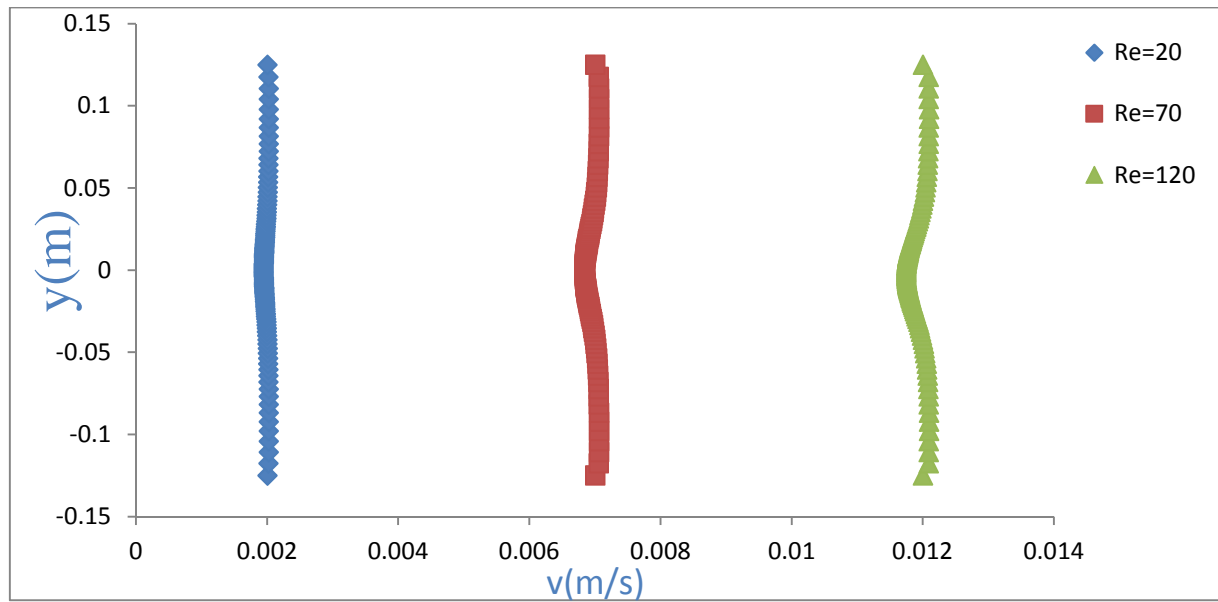
**Figure IV.4 : Contours instantanés du champ de pression pour : (a)  $Re=20$  et (b)  $Re=120$  prise à  $t = 600 \text{ s}$**

La figure IV.4 (a) du champ de pression statique prise pour  $Re = 20$  montre une suppression en amont de l'obstacle et une dépression en aval de ce dernier. Lorsque l'écoulement devient instationnaire à  $Re=120$  figure IV.4(b), le champ instantané pris au temps de simulation  $t = 600 \text{ s}$  montre que la zone de dépression semble plus importante que celle de l'écoulement stationnaire.

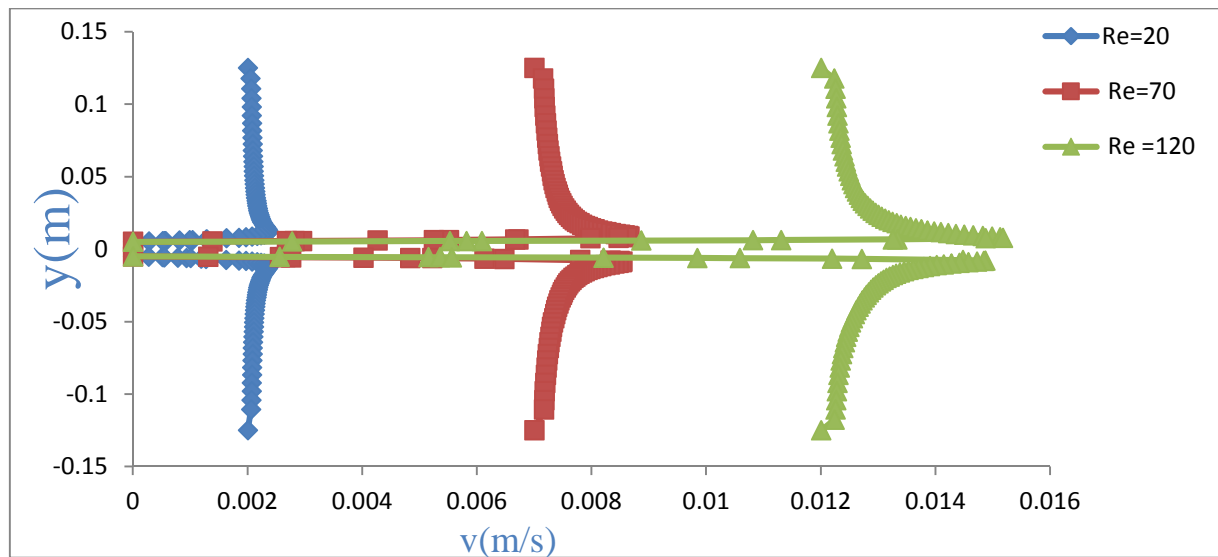
#### ❖ Les profils de vitesse

Pour mieux étudier le comportement du fluide à différentes vitesses de circulation, nous traçons les profils de vitesse relative en amont, au niveau et en aval de l'obstacle ; les coordonnées de ces lignes sont les suivantes :

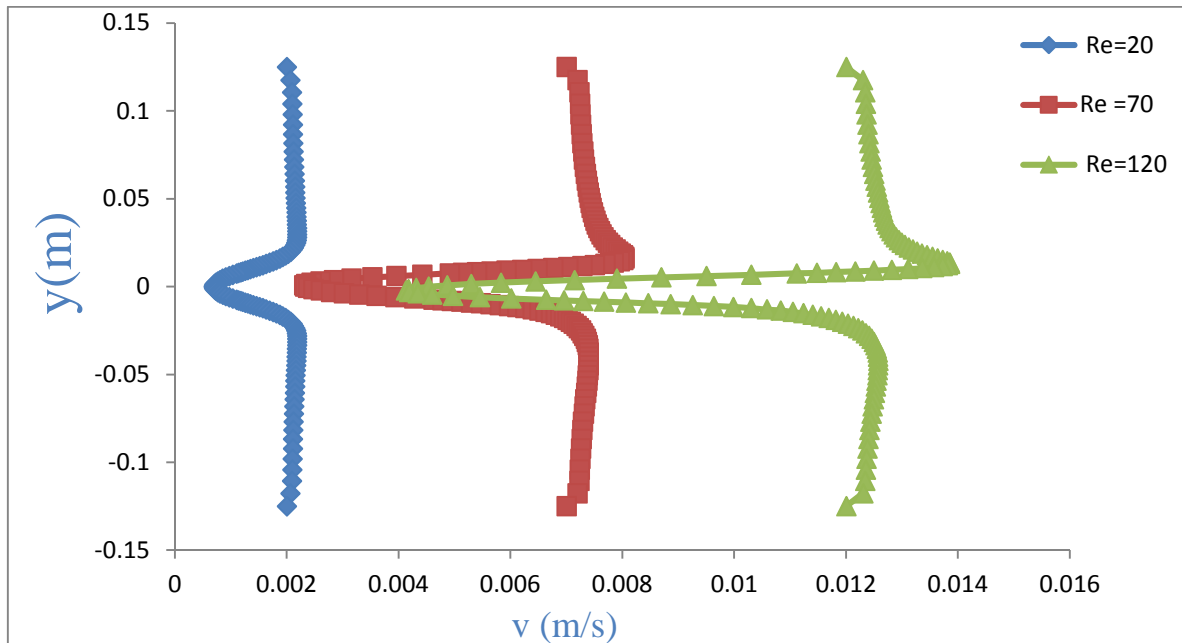
- a) Ligne en amont de l'obstacle :  $x = -0.05 \text{ m}$  et  $-0.125 \text{ m} \leq y \leq 0.125 \text{ m}$
- b) Ligne au niveau de l'obstacle :  $x = 0 \text{ m}$  et  $-0.125 \text{ m} \leq y \leq 0.125 \text{ m}$
- c) Ligne en aval l'obstacle :  $x = 0.05 \text{ m}$  et  $-0.125 \text{ m} \leq y \leq 0.125 \text{ m}$



(a) En amont de l'obstacle



(b) Au niveau de l'obstacle



(c) En aval de l'obstacle

Figure IV.5 : Profils de la vitesse axiale : (a) en amont, (b) au niveau, (c) en aval de l'obstacle

On peut constater sur les figures IV.5 a, b et c que l'augmentation de la vitesse de circulation affecte de manière significative les profils des vitesses, en amont, sur la ligne passant par l'obstacle et à son aval. La variation de la vitesse locale a tendance à augmenter, en augmentant la vitesse de circulation du fluide.

❖ Déperdition par unité de longueur

Pour estimer la déperdition hydraulique, on calcule la différence de pression statique moyenne enregistrée entre deux lignes tracées en amont et en aval de l'obstacle comme le montre la figure IV.6 ci-dessous.

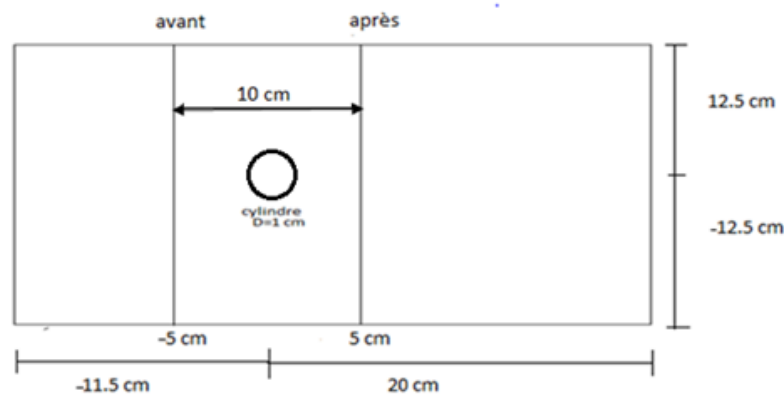
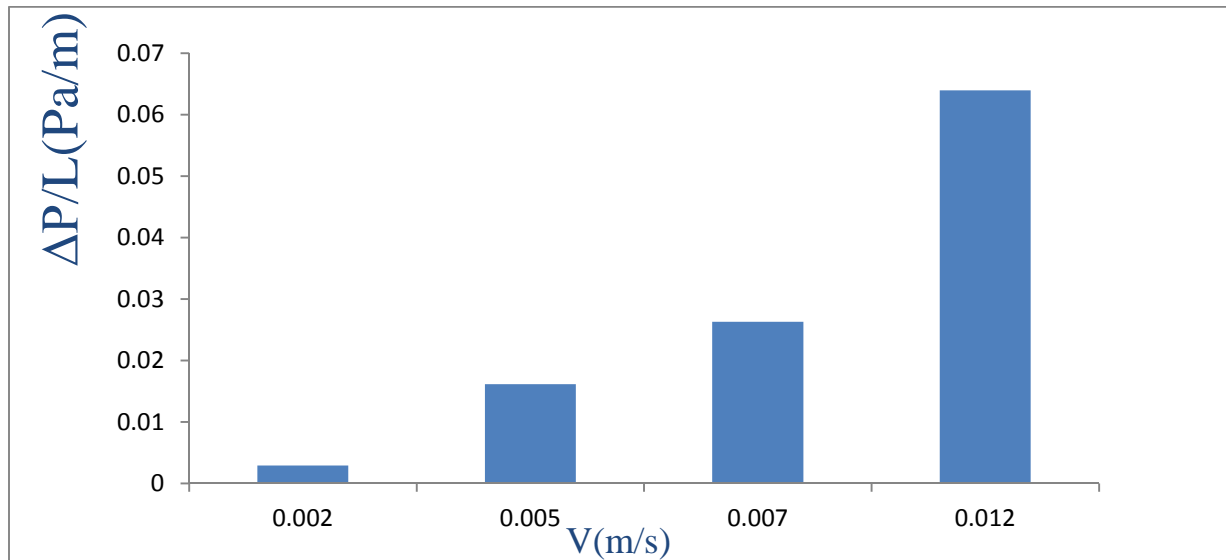


Figure IV.6 : Les lignes tracées en amont et en aval de l'obstacle



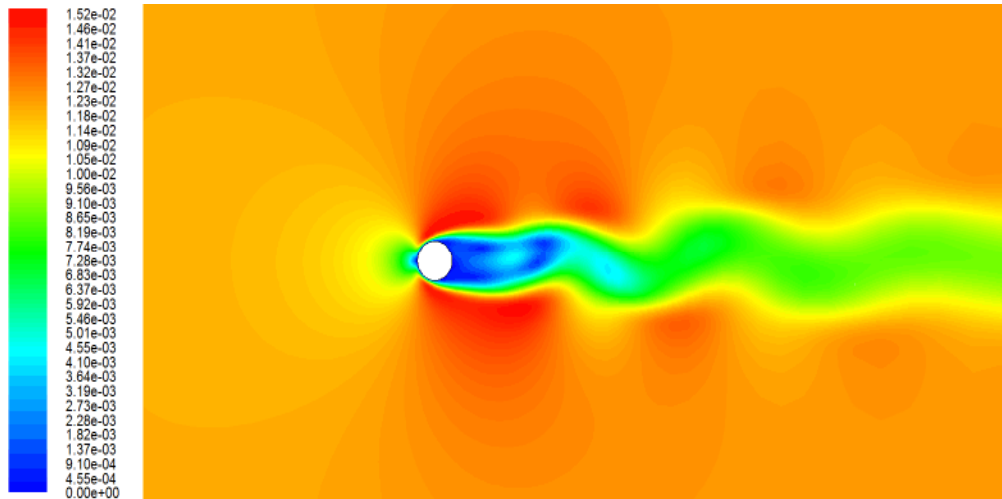
**Figure IV.7 : La dépression par unité de longueur en fonction de la vitesse de circulation du fluide**

La figure IV.7 montre un histogramme de la dépression par unité de longueur en fonction de la vitesse de circulation du fluide, ou on remarque que l'augmentation de la vitesse de circulation provoque une dépression plus importante qui s'accroît en augmentant le Reynolds de circulation. Ces résultats concordent avec les conclusions de l'étude d'un ouvrage (Raids Aventure) 2012 page 281 qui parle de la dépression.

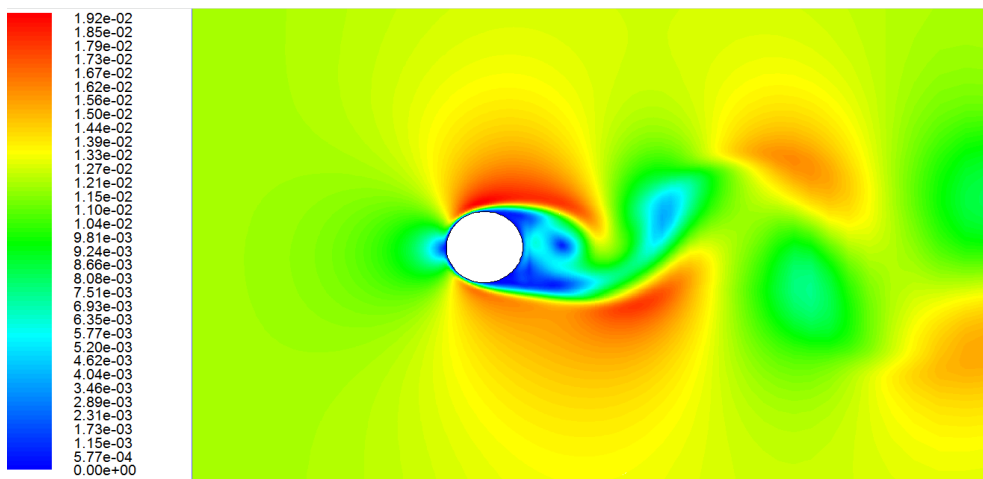
## IV.2 Etude de l'effet du changement du diamètre de l'obstacle sur le comportement du fluide

Dans cette partie on va étudier le comportement de l'écoulement d'une eau autour d'un obstacle circulaire de diamètre différent ( $1\text{cm} \leq D \leq 5\text{cm}$ ). Pour cela on fixe la vitesse de circulation à  $V_x = 0.012\text{m/s}$ , et on expose les résultats des simulations comme suit :

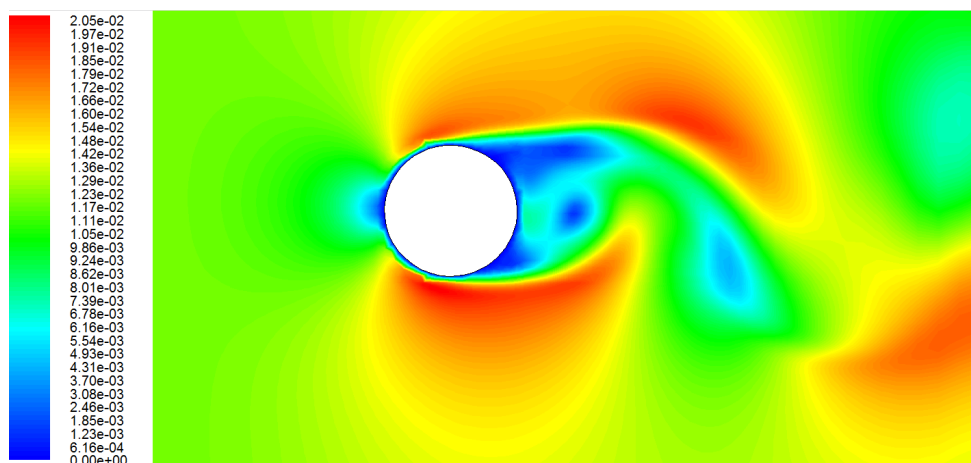
### ❖ Le champ de vitesse



(a)  $D=1\text{cm}$



(b)  $D=3\text{cm}$



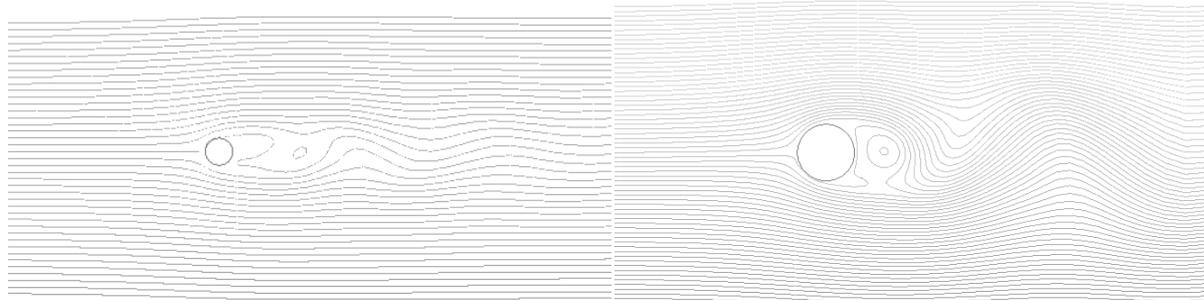
(c)  $D=5\text{cm}$

FigureIV.8 :Contours instantanédu champ de vitessepour un cylindre de diamètre :

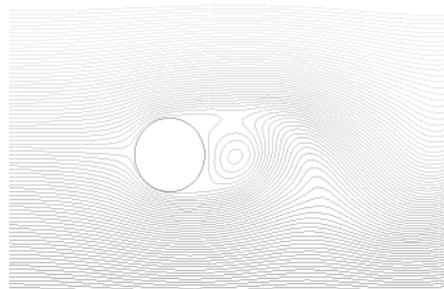
(a)  $D = 1 \text{ cm}$ , (d)  $D = 3 \text{ cm}$ , (c)  $D = 5 \text{ cm}$

On remarque sur les figures IV.8 a, b et c que lorsque on augmente le diamètre de l'obstacle, la déstabilisation de l'écoulement s'accroît, ou le sillage qui se forme derrière l'obstacle s'étend dans les directions x et y du domaine fluide.

❖ **Les lignes de courants**



a)  $D=1\text{cm}$  b)  $D=3\text{cm}$



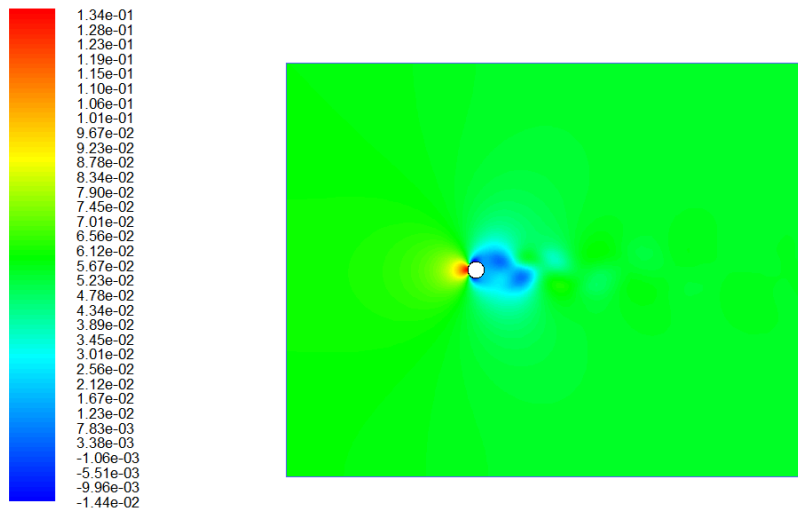
c)  $D=5\text{cm}$

**Figure IV.9 : Lignes de courants instantanées pour le cylindre de diamètre :**

(a)  $D = 1 \text{ cm}$ , (d)  $D = 3 \text{ cm}$ , (c)  $D = 5 \text{ cm}$

Les figures IV.9a, b, et c montrent que plus on augmente le diamètre de l'obstacle, plus la zone de recirculation qui se forme derrière l'obstacle augmente.

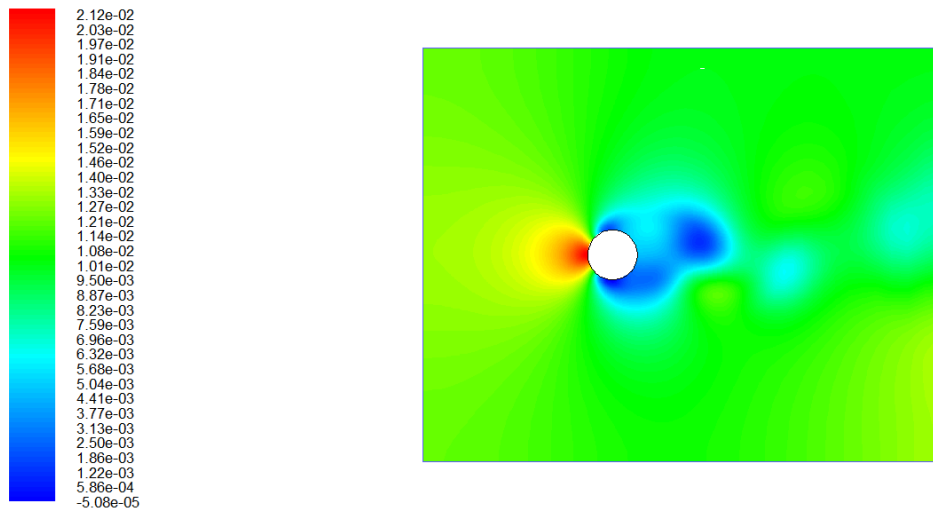
❖ Le champ de pression



Contours of Static Pressure (pascal) (Time=6.0020e+02)

Jan 28, 2014  
FLUENT 6.3 (2d, dp, pbns, lam, unsteady)

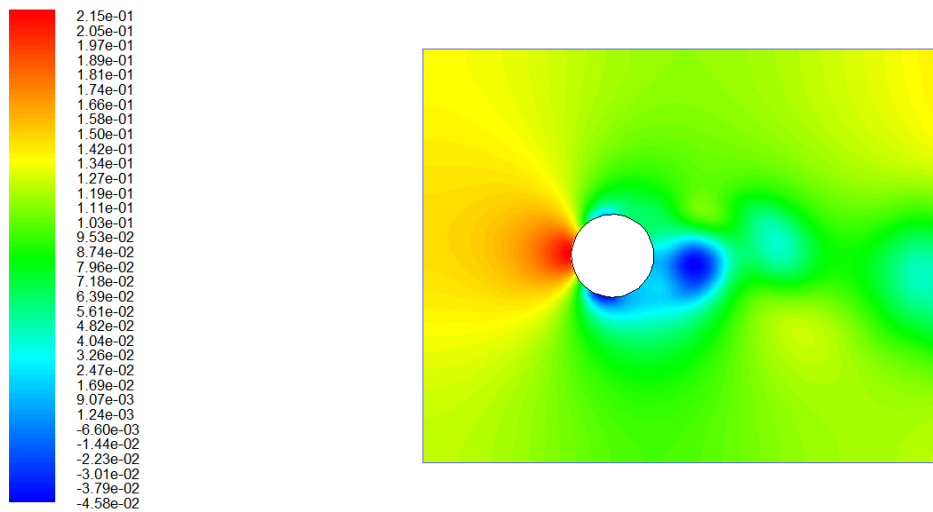
(a) D=1cm



Contours of Static Pressure (pascal) (Time=6.0080e+02)

Jan 28, 2014  
FLUENT 6.3 (2d, dp, pbns, lam, unsteady)

(b) D= 3cm



Contours of Static Pressure (pascal) (Time=6.0020e+02)

Jan 28, 2014  
FLUENT 6.3 (2d, dp, pbns, lam, unsteady)

(c)  $D = 5\text{cm}$

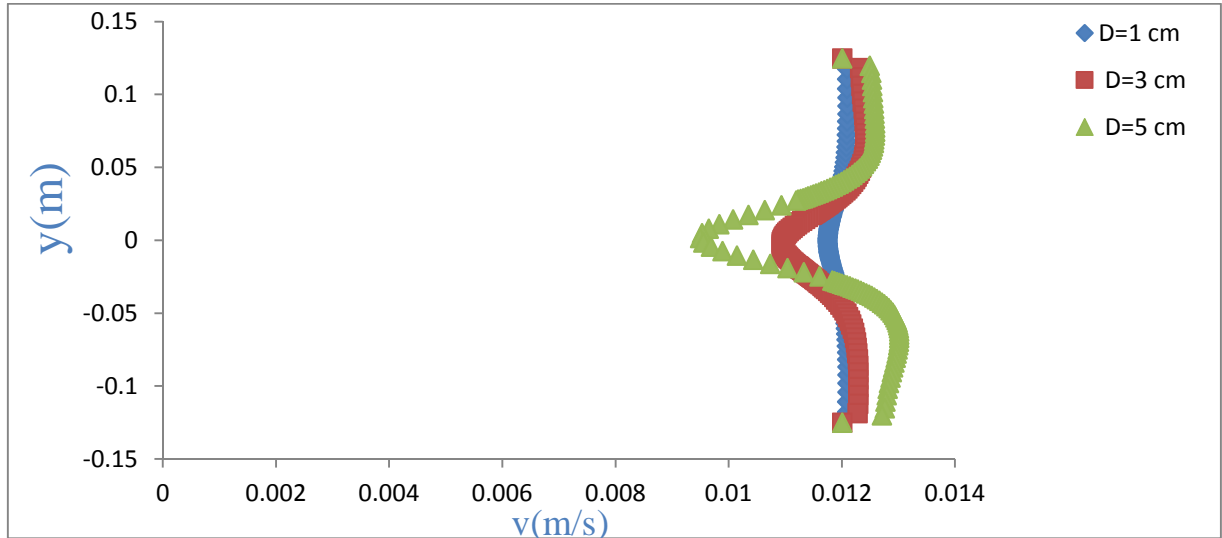
**FigureIV.10 : Contours du champ de pression pour un cylindre de diamètres :**

**(a)  $D = 1\text{ cm}$ , (b)  $D = 3\text{ cm}$ , (c)  $D = 5\text{ cm}$**

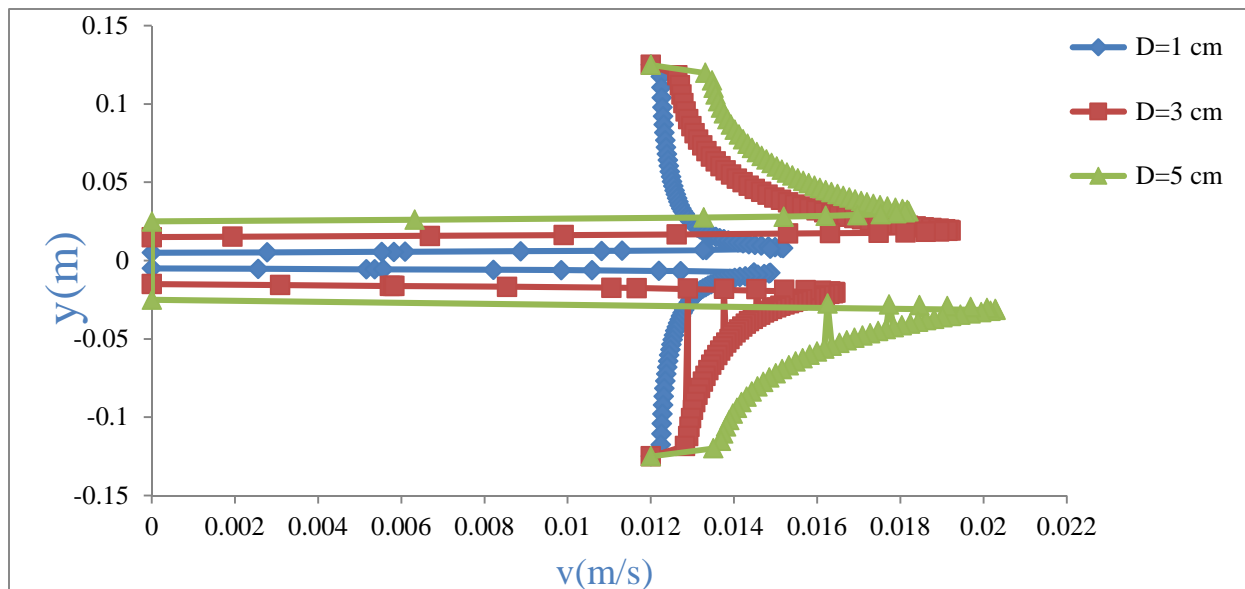
La figure IV.10 montre l'évolution du champ de pression statique instantané enregistré à  $t=600\text{s}$ , ou on constate que lorsque on augmente le diamètre de l'obstacle, des zones de surpression (couleur rouge), et de faible pression (couleur bleu) s'étendent en amont et en aval de l'obstacle.

❖ Les profils devitesse

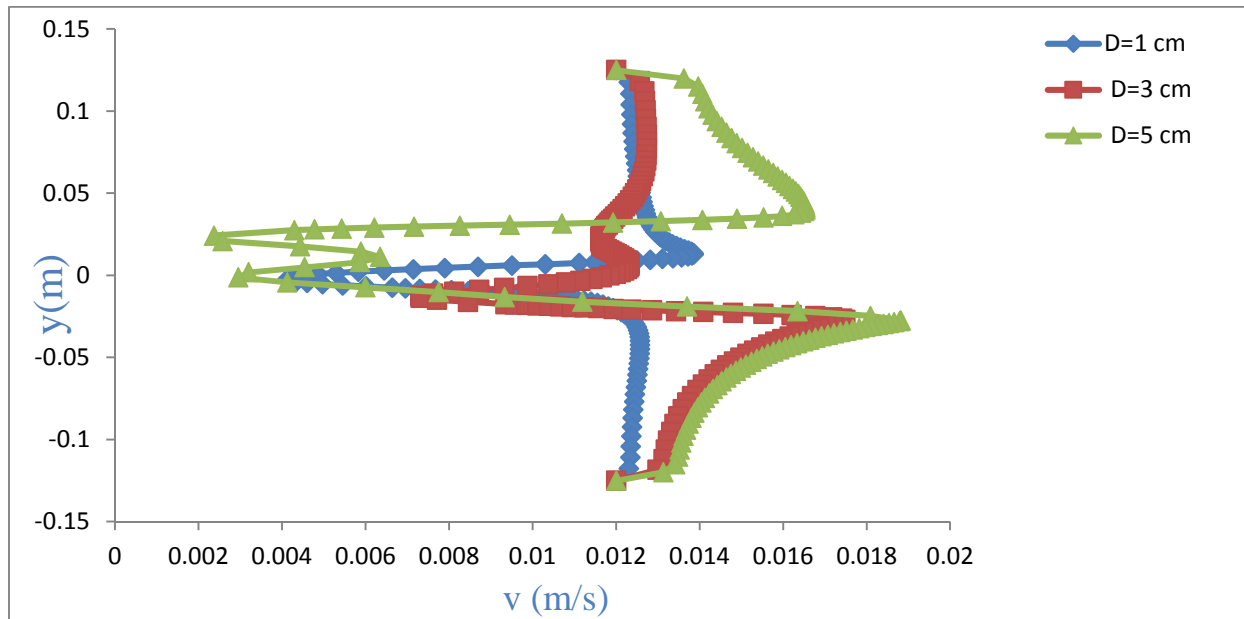
Nous traçons les différents profils de vitesses relative, obtenus en amont au niveau de l'obstacle et en aval comme précédemment.



(a) en amont de l'obstacle



(b) au niveau de l'obstacle

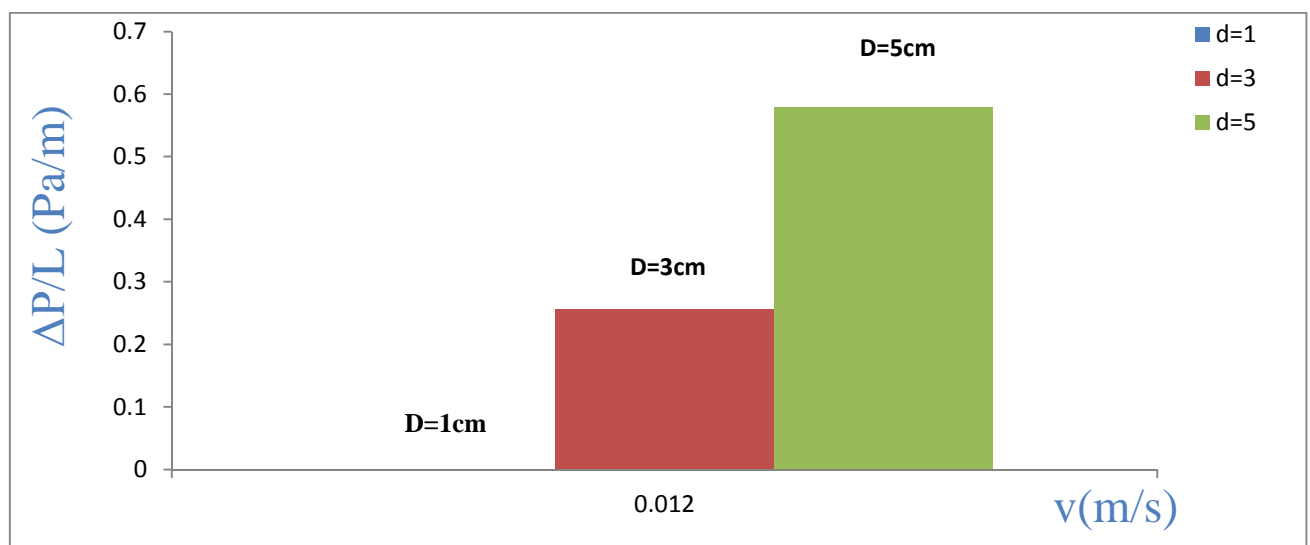


(c) en aval de l'obstacle.

**Figure IV.11 : Profils de la vitesse axiale : (a) en amont, (b) au niveau, et (c) en aval de l'obstacle**

Les figures IV.11 a, b et c montrent que les profils instantanés de la vitesse sont affectés de manière significative par le changement du diamètre de l'obstacle et cela en amont, au niveau et en aval de l'obstacle. La disparité entre les valeurs locales des vitesses augmente avec l'augmentation du diamètre de l'obstacle.

❖ **La dépression par unité de longueur**



**Figure IV.12 : La dépression par unité de longueur en fonction du diamètre de l'obstacle**

La figure IV.12 nous permet de remarquer que la dépression par unité de longueur augmente avec l'augmentation du diamètre de l'obstacle. Ce résultat est logique car l'augmentation de la surface de contact due à l'augmentation du diamètre de l'obstacle fait augmenter les frictions et par conséquent, les pertes hydrauliques augmentent.

### IV.3 Etude de l'effet du changement de la géométrie de l'obstacle sur le comportement du fluide

Dans cette partie on va étudier le comportement de l'écoulement autour des géométries présentées sur la figure IV.13. Durant nos simulation, on fixe la vitesse d'entrée à  $V_x = 0.012$  m/s ( $Re=120$ ) et on expose les résultats sous forme de contours et de profils.

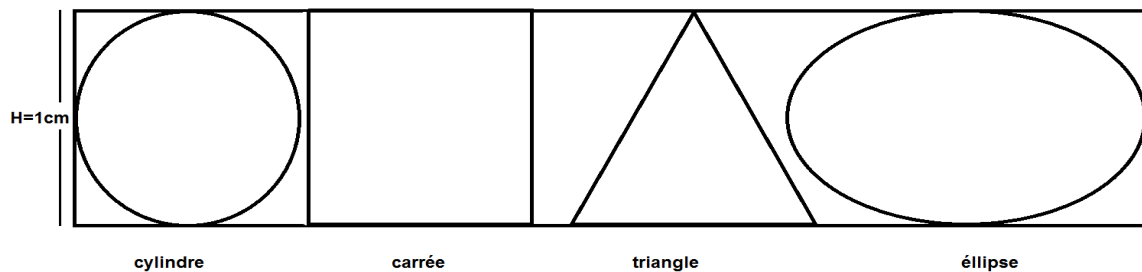
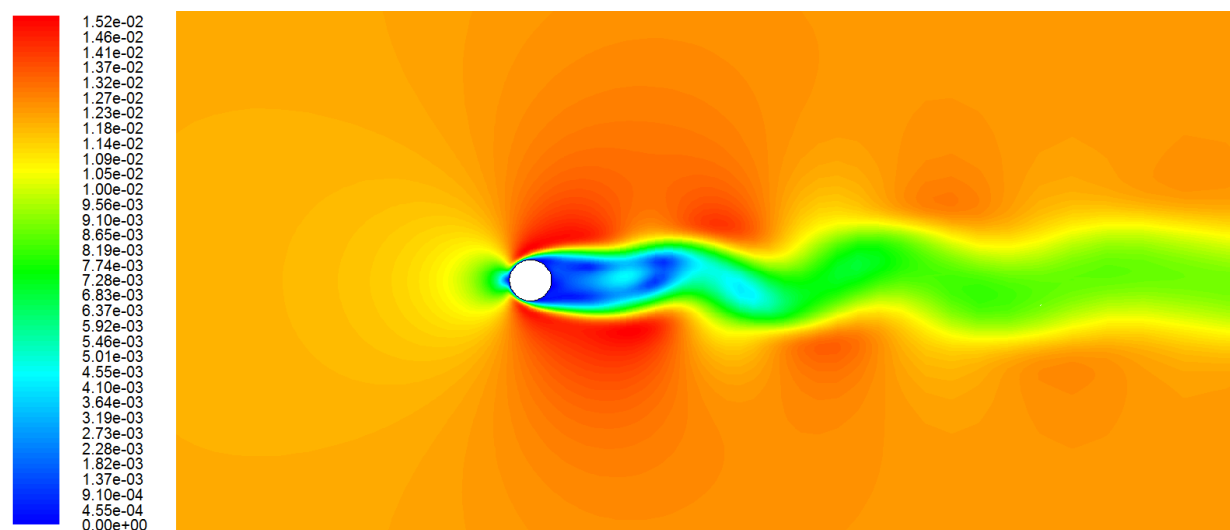
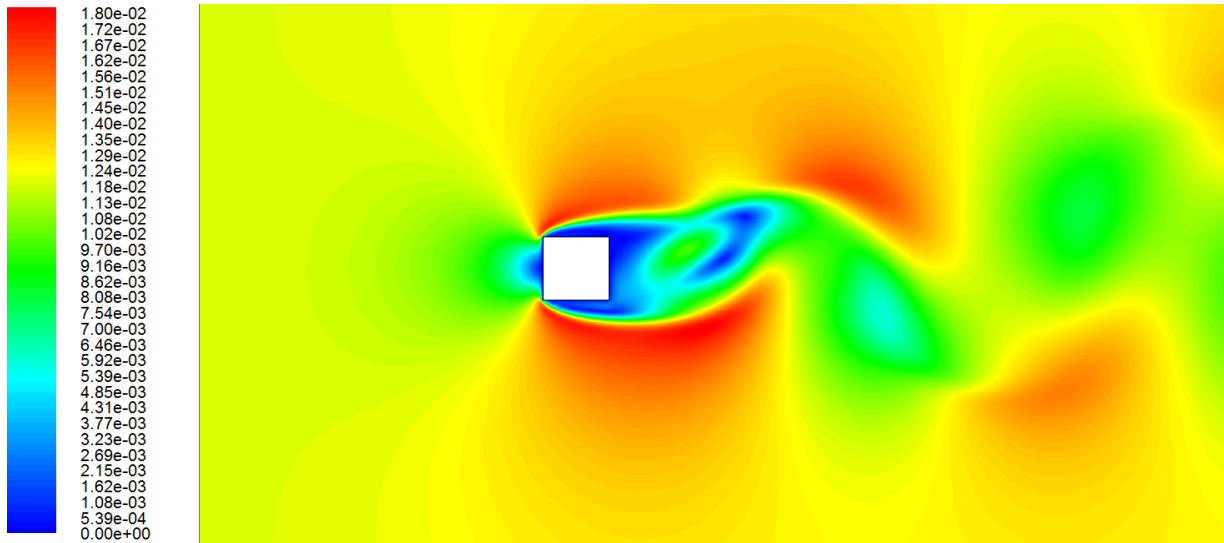


Figure IV.13 : Les différentes géométries de l'obstacle

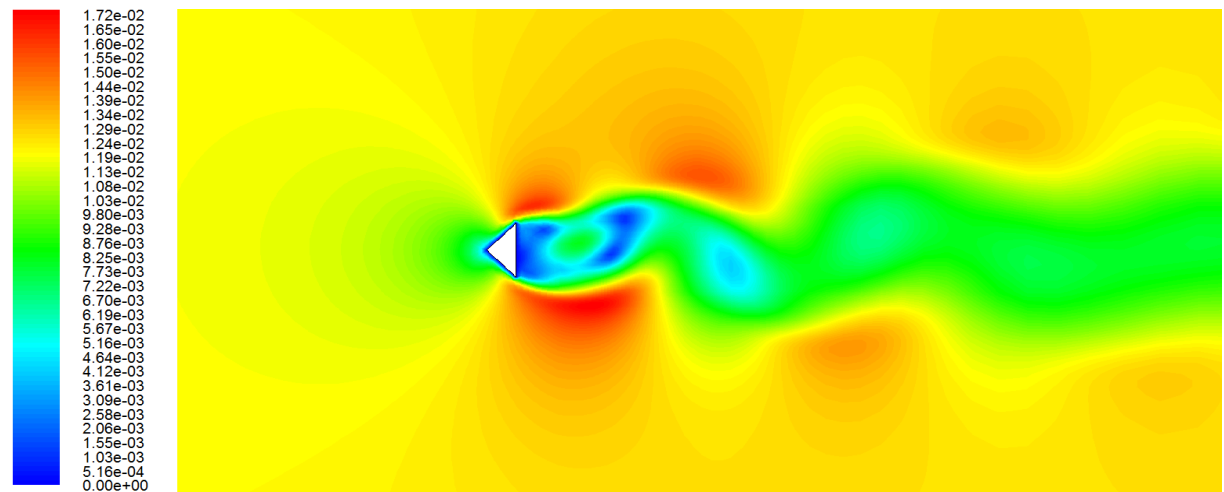
#### ❖ Le champ de vitesse



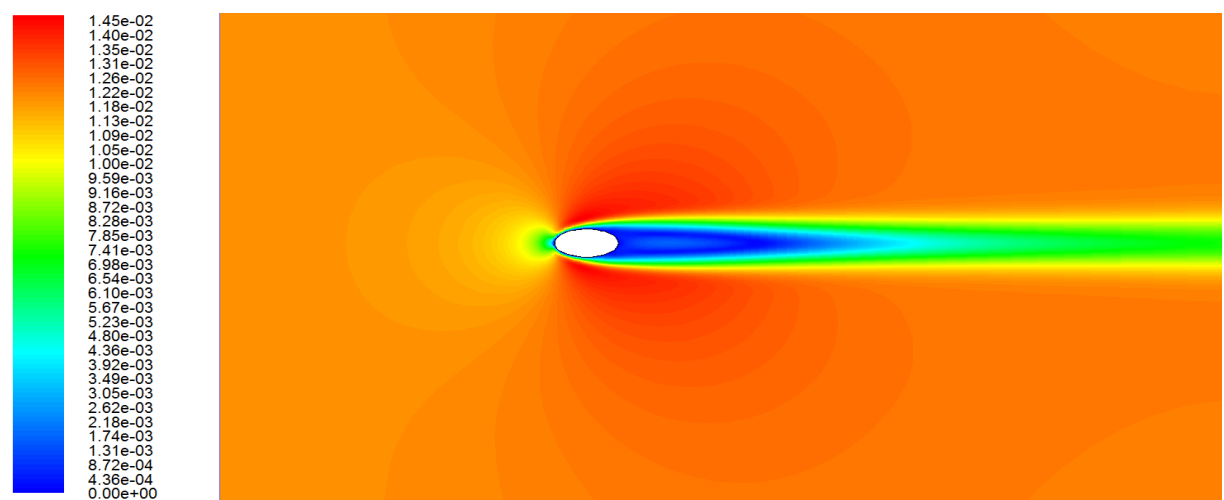
a) Cylindre



b) Carré



c) Triangle

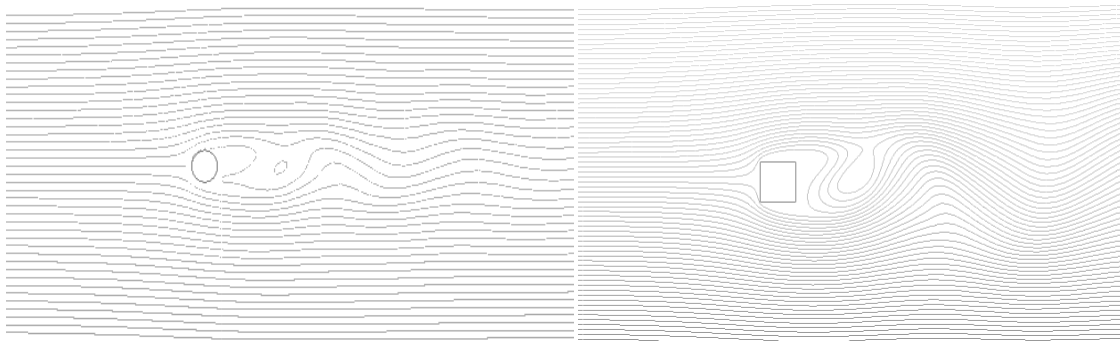


d) Ellipse

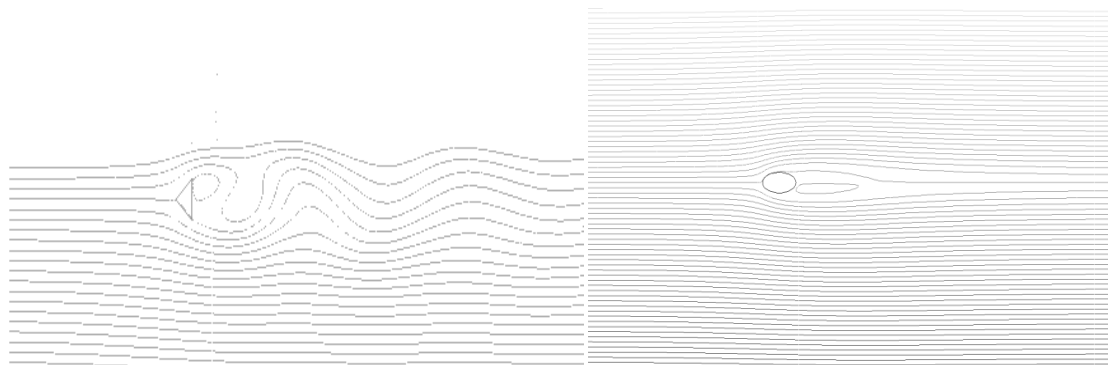
Figure IV.14 :Contours du champ de vitesse instantanés enregistrés à  $t = 600s$ , à  $Re=120$  et pour les différentes géométries

La figure IV.14 montre que l'écoulement reste stationnaire pour le cas d'un obstacle elliptique tandis qu'il devient instationnaire pour les autres cas (cylindre, carré, triangle).

❖ **Les lignes de courant**



a) Cylindre b) Carré

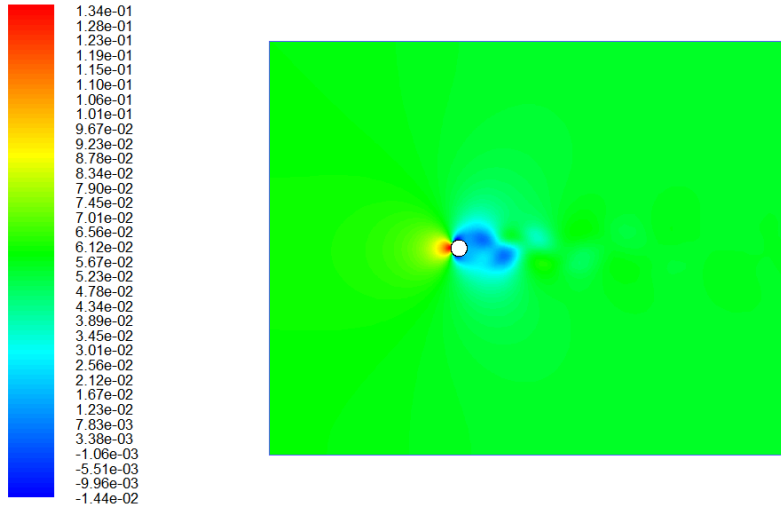


c) Triangled) Ellipse

**FigureIV.15 : Lignes de courant instantanées enregistrées à  $t = 600s$  pour une vitesse de circulation  $V_x=0.012m/s$**

Les lignes de courant instantanés présentés sur la figure IV.15 consolident les résultats montrés précédemment, ou l'écoulement se déstabilise dans le cas des obstacles cylindrique, carré et triangle figure IV.15 (a, b, c), tandis qu'il reste stationnaire dans le cas de l'obstacle elliptique figureIV.15 (d).

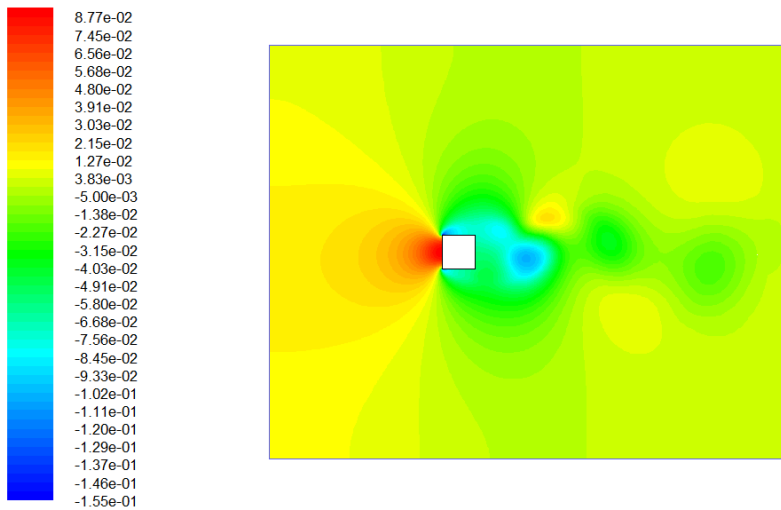
❖ Le champ de pression



Contours of Static Pressure (pascal) (Time=6.0020e+02)

Jan 28, 2014  
FLUENT 6.3 (2d, dp, pbns, lam, unsteady)

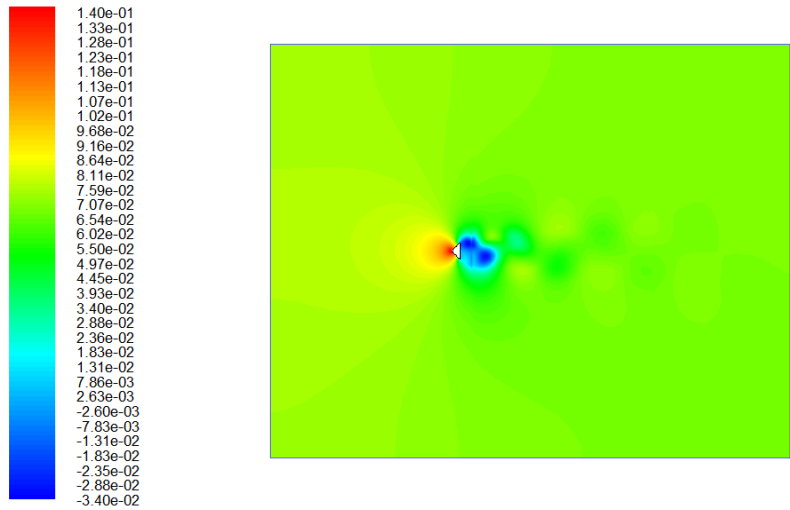
a) Cylindre



Contours of Static Pressure (pascal) (Time=6.3140e+02)

Jan 28, 2014  
FLUENT 6.3 (2d, dp, pbns, lam, unsteady)

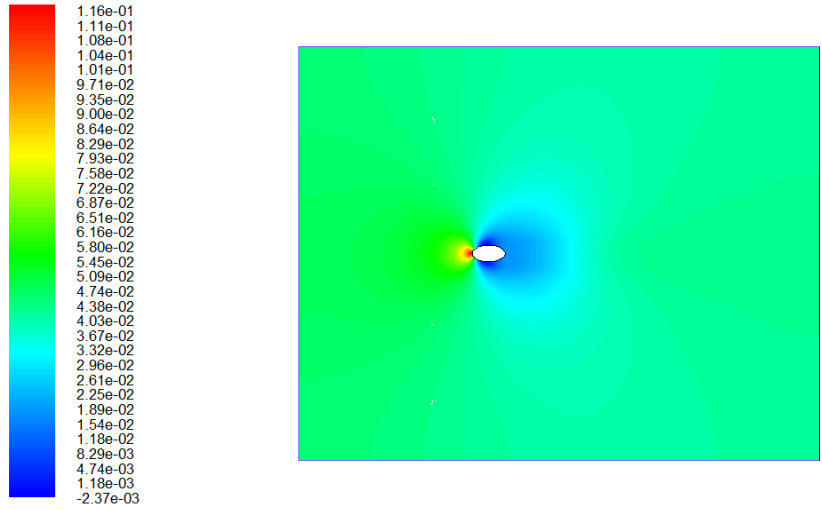
b) Carré



Contours of Static Pressure (pascal) (Time=6.0040e+02)

Jan 28, 2014  
FLUENT 6.3 (2d, dp, pbns, lam, unsteady)

c) Triangle



Contours of Static Pressure (pascal)

Jan 28, 2014  
FLUENT 6.3 (2d, dp, pbns, lam)

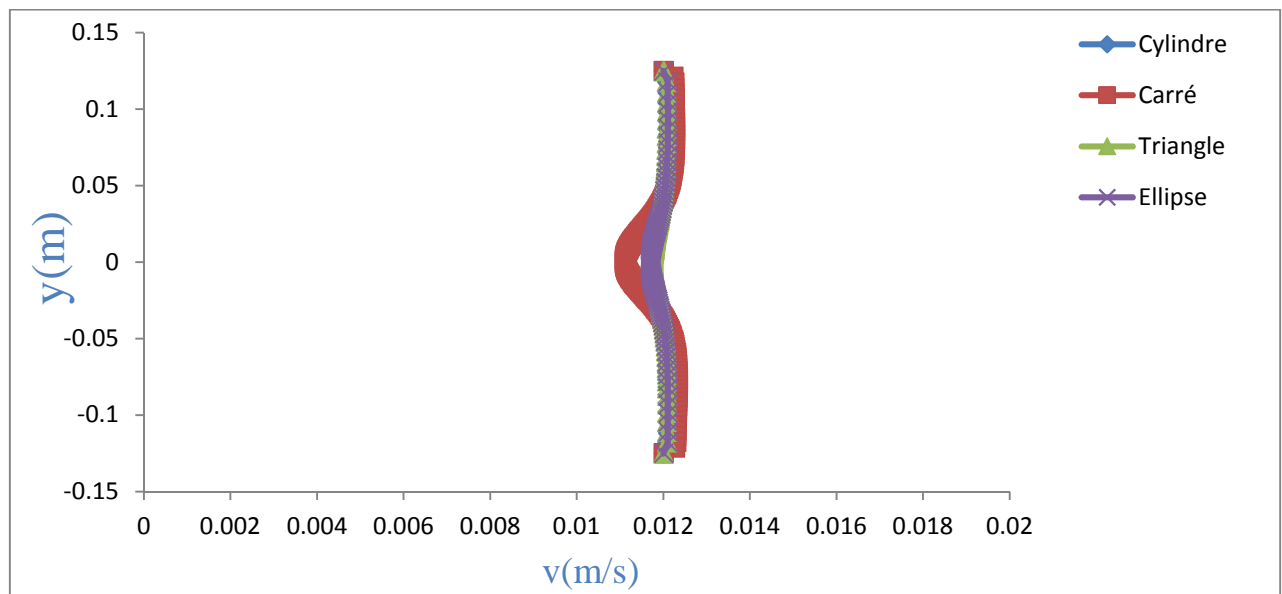
d) Ellipse

Figure IV.16 : Contours du champ de pressions instantanées à une vitesse de circulation

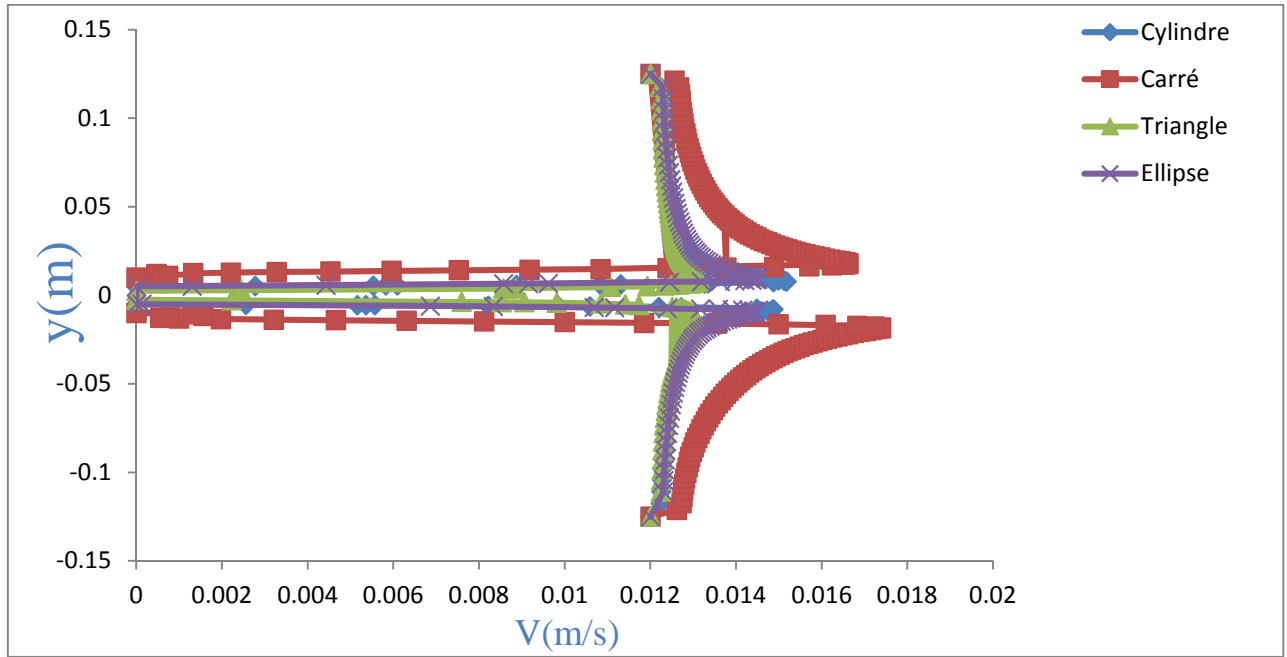
$V_x=0.012\text{m/s}$

On constate sur la figure IV.16 que la forme elliptique semble minimiser la suppression par rapport aux autres formes d'obstacles.

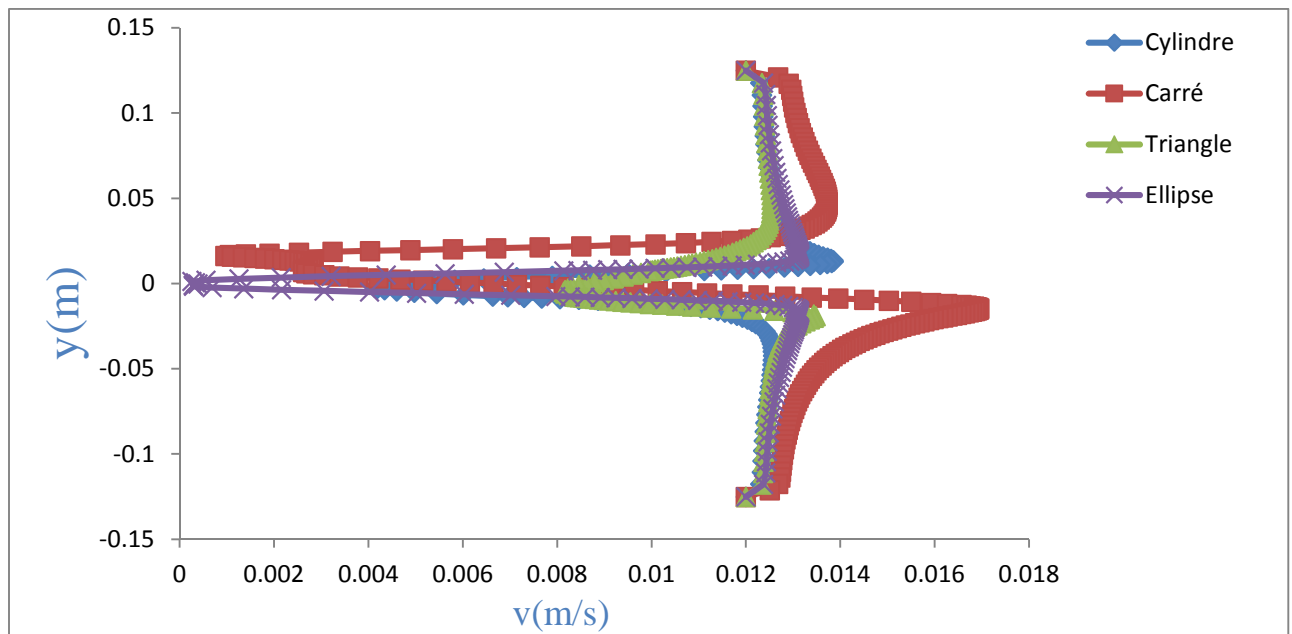
#### ❖ Les profils de vitesse



(a) en amont des obstacles



(b) au niveau des obstacles

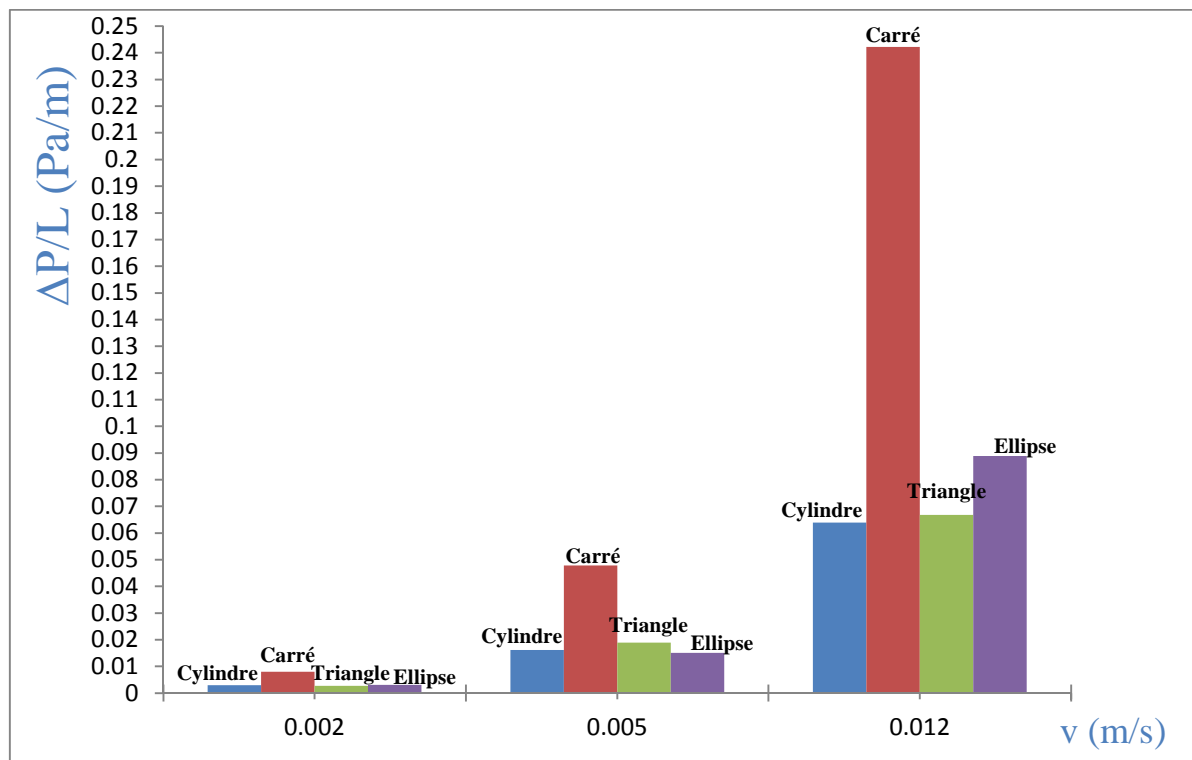


(c) en aval des obstacles

Figure IV.17 : Profils de la vitesse axiale : (a) en amont, (b) au niveau, (c) en aval des obstacles à une vitesse de circulation  $V_x = 0.012 \text{ m/s}$

Sur la figure IV.17 (a) on peut constater que les profils de vitesses sont presque identiques en amont des obstacles sauf l'obstacle carré, et au niveau des obstacles figure IV.17(b) les profils de vitesse est très élevés au voisinage de l'obstacle carré par rapport à les autres obstacles. Le profil de vitesse en aval figure IV.17 (c) l'obstacle carré admet des pics plus importantes que les autres obstacles.

#### ❖ La dépression par unité de longueur



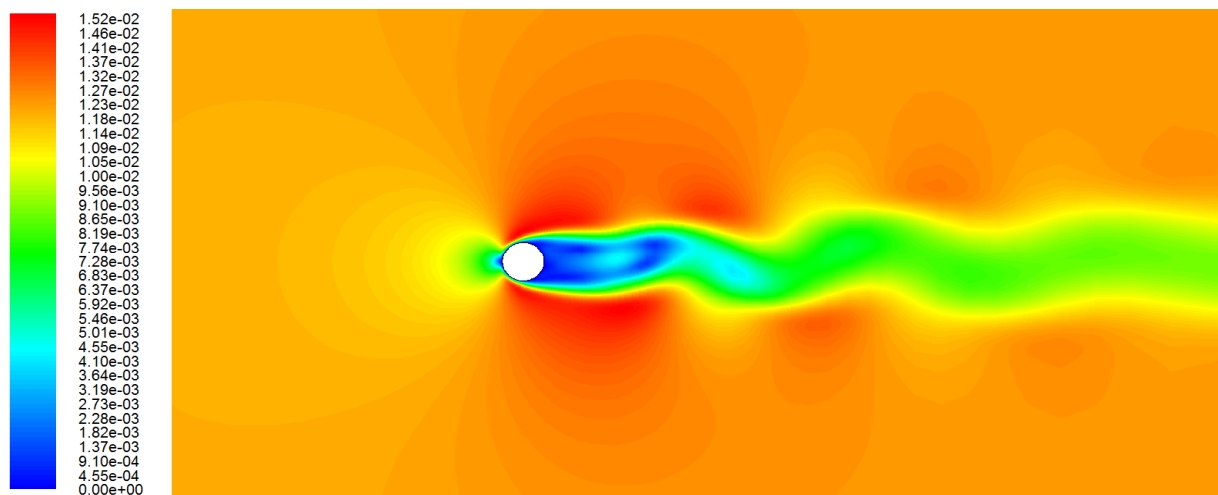
**Figure IV.18 : Histogrammes de la dépression par unité de longueur en fonction de la vitesse de circulation du fluide pour les différents obstacles**

La figure IV.18 nous permet de remarquer que la dépression par unité de longueur augmente lorsque la vitesse de circulation augmente. Elle est maximale en présence de l'obstacle carré, et minimale pour les obstacles circulaire et elliptique.

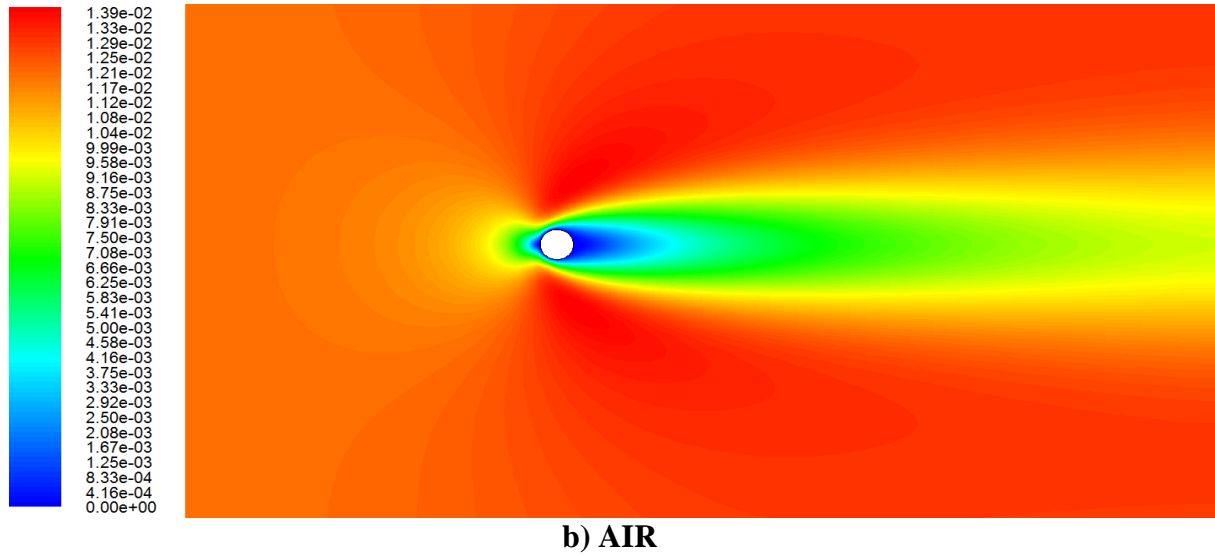
#### IV.4 Etude de l'effet du changement du fluide de circulation sur le comportement de l'écoulement

Dans cette partie nous allons comparer le comportement de l'écoulement à des masses volumiques différentes (par exemple l'eau et l'air) en présence d'un obstacle circulaire de diamètre  $D = 1\text{cm}$ , et pour une vitesse de circulation constante ( $V_x = 0.012\text{m/s}$ ). Il est à noter que l'air choisi a une masse volumique  $\rho = 1.225\text{ kg/m}^3$ , et une viscosité  $\mu = 1.79 \cdot 10^{-5}\text{ kg/m.s}$ .

##### ❖ Le champ de vitesse



a)EAU

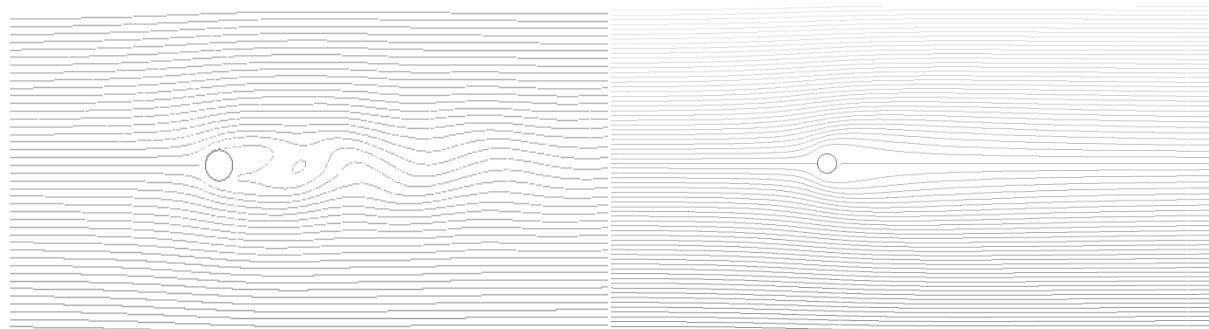


**Figure IV.19 : Contours du champ de vitesse pour les fluides : (a) eau, (b) air**

$$\text{à } V_x = 0.012 \text{ m/s}$$

On constat sur la figure IV.19 que pour la même vitesse de circulation, l'écoulement de l'eau est stationnaire, par contre celui de l'air reste stationnaire.

#### ❖ Les lignes de courants



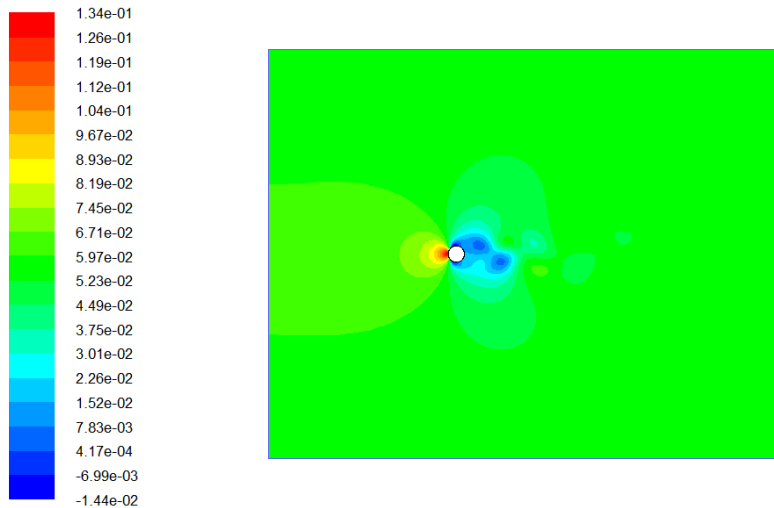
**a) l'eau**

**b) l'air**

**Figure IV.20 : Lignes de courant instantanées enregistrées à  $t = 600\text{s}$  pour une vitesse de circulation  $V_x = 0.012\text{m/s}$**

La figure IV.20 montre que pour le cas de l'air, le comportement des lignes de courant est celui d'un écoulement laminaire stable, Ce n'est pas le cas de l'eau ou l'écoulement est instationnaire.

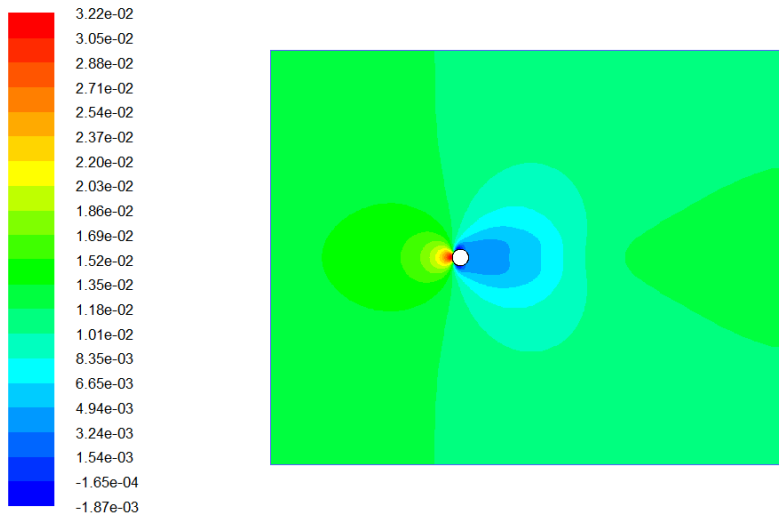
❖ Le champ de pression



Contours of Static Pressure (pascal) (Time=6.0020e+02)

Jan 28, 2014  
FLUENT 6.3 (2d, dp, pbns, lam, unsteady)

(a)EAU



Contours of Static Pressure (pascal) (Time=6.0040e+02)

Jan 28, 2014  
FLUENT 6.3 (2d, dp, pbns, lam, unsteady)

(b) AIR

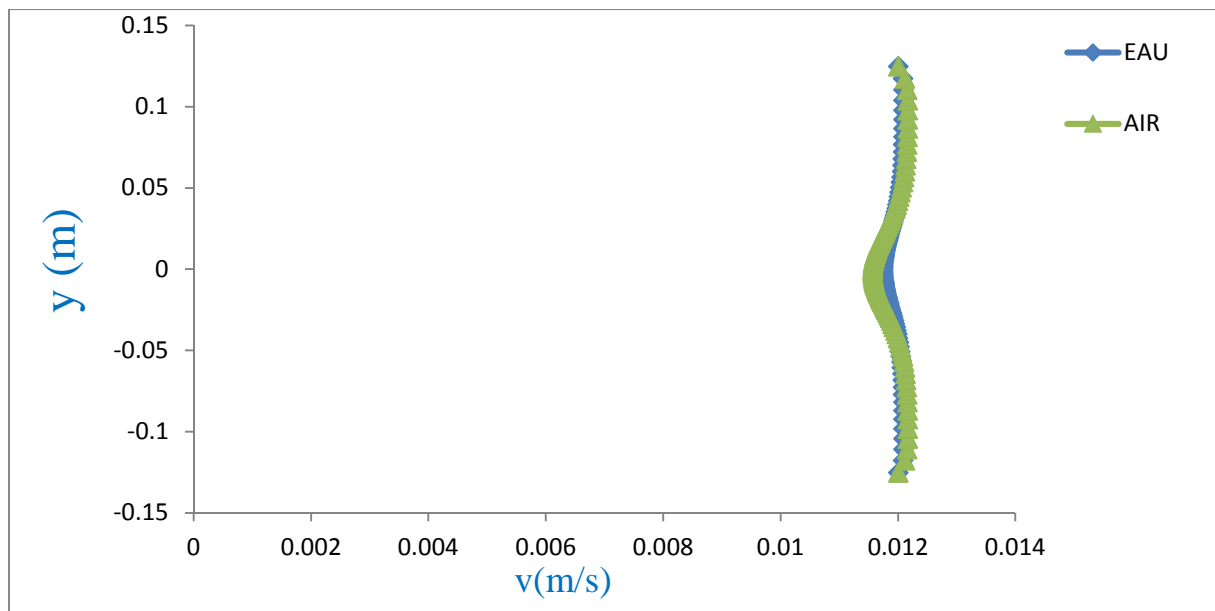
Figure IV.21 : Contours instantanés du champ de pression pour : (a) eau, (b) air

à  $V_x = 0.012$  m/s

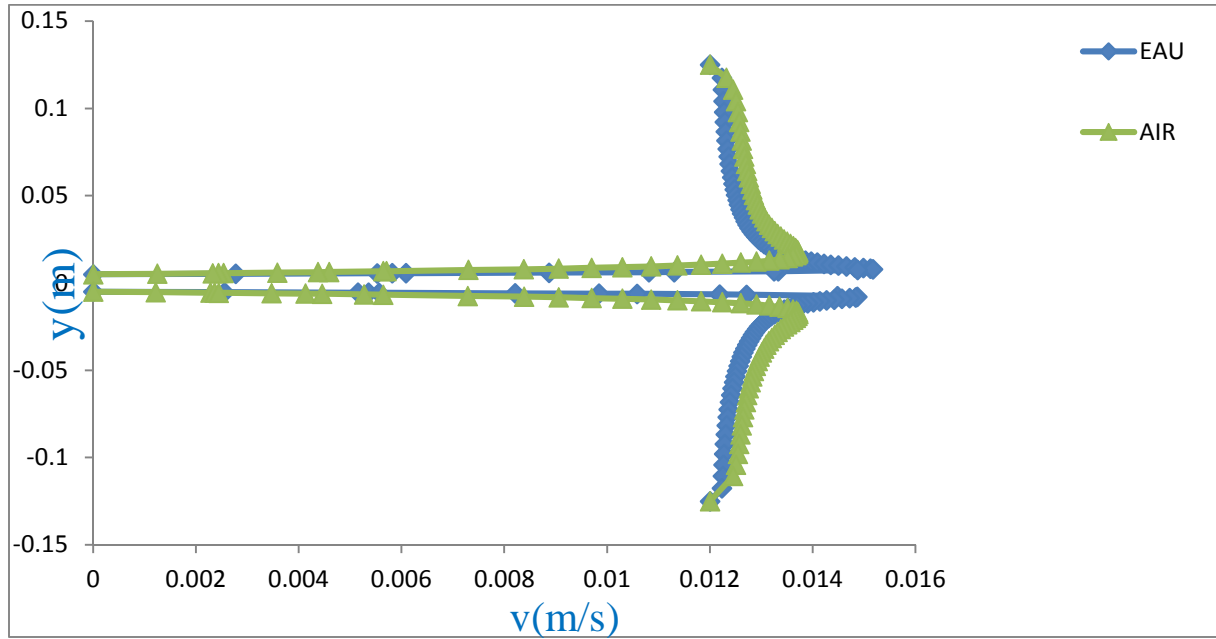
Les résultats de la figure IV.21 montre la différence entre le champ de pression obtenu avec deux fluides différents. Lorsque l'écoulement devient instationnaire figure IV.21 (a), le champ instantané pris au temps de simulation  $t = 600s$  montre que la zone de dépression semble plus importante que celle de l'écoulement stationnaire figure IV.21(b).

#### ❖ Les profils des vitesses

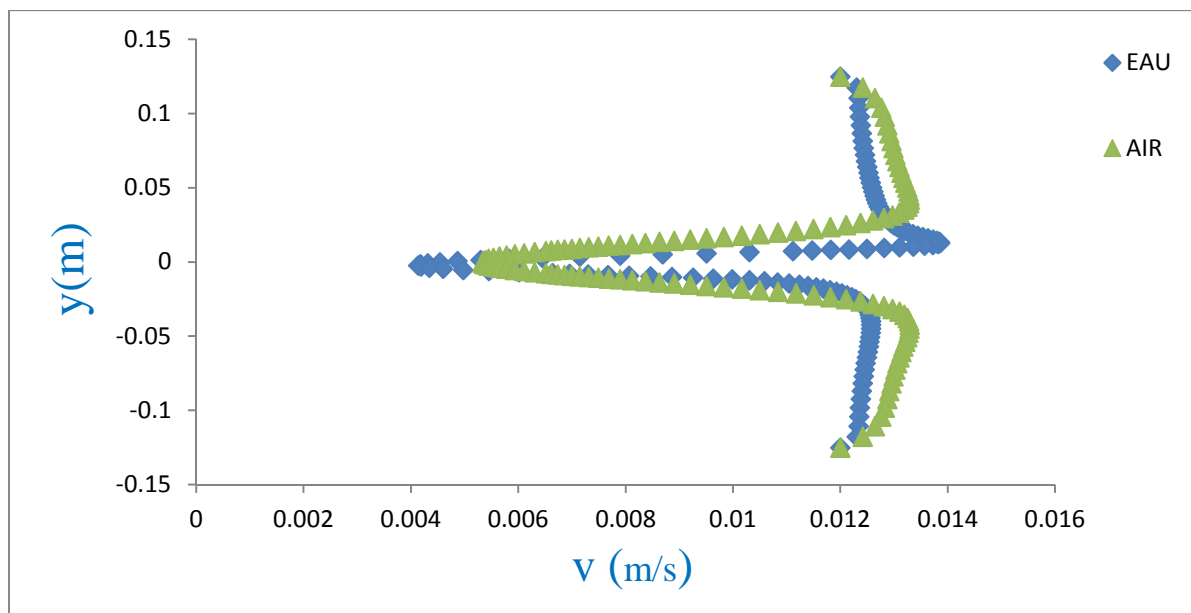
Nous traçons les différents profils de vitesse relative, obtenus en amont, au niveau et en aval de l'obstacle comme précédemment.



(a) en amont l'obstacle



(b) au niveau l'obstacle

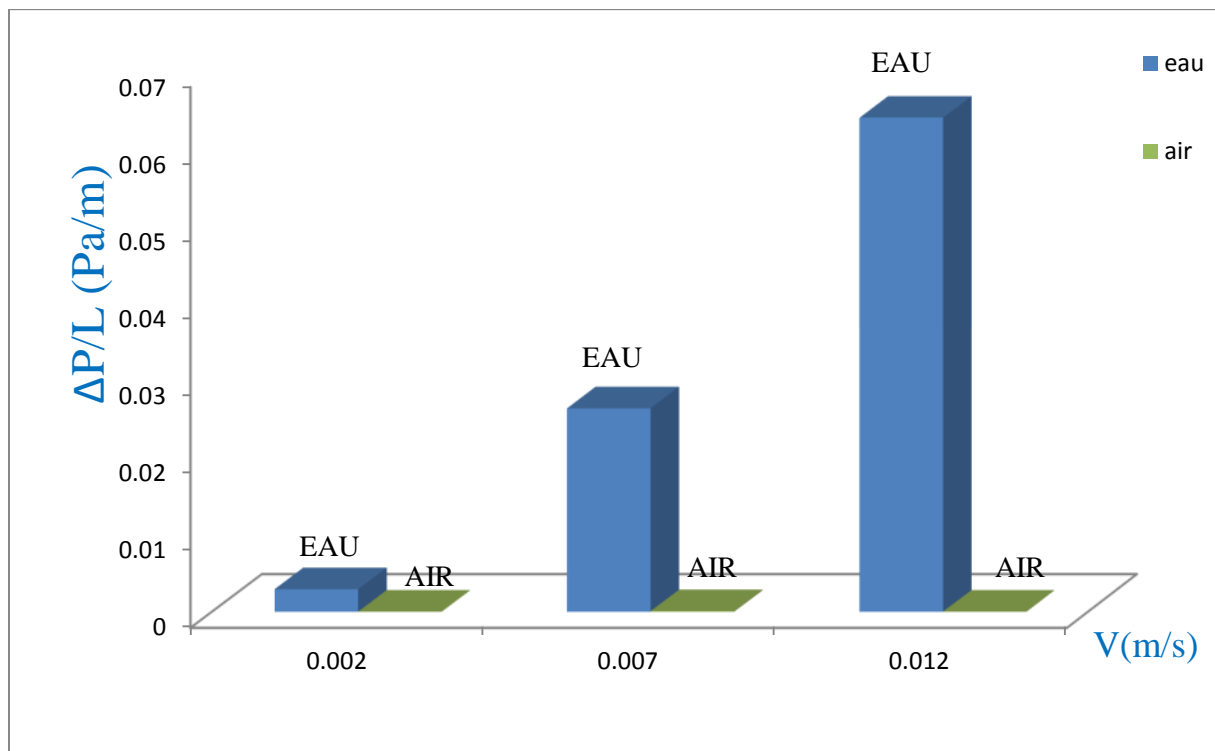


(c) en aval l'obstacle

Figure IV.22 : Profils de la vitesse axiale : (a) en amont, (b) au niveau, (c) en aval des obstacles à une vitesse de circulation  $V_x = 0.012 \text{ m/s}$

La figure IV.22 montre les profils instantanés de la vitesse enregistrée le long des lignes verticales en amont, au niveau et en aval de l'obstacle, ou on remarque qu'en amont et au niveau de l'obstacle, les profils sont proches. Par contre en aval de l'obstacle les profils n'ont pas la même allure.

#### ❖ La dépression par unité de longueur



**Figure IV.23 : Histogrammes de la dépression par unité de longueur en fonction de la vitesse de circulation pour les fluides différents**

La figure IV.23 nous permet de remarquer que la dépression par unité de longueur augmente lorsque la vitesse de circulation augmente. On remarque aussi que la dépression par unité de longueur enregistrée avec de l'eau est nettement supérieure à celle de l'air.

## **Conclusion Générale**

## Conclusion Générale

Ce manuscrit résume un travail de simulation numérique qui a pour objectif l'étude d'un écoulement bidimensionnel autour d'un obstacle circulaire. La simulation numérique par le code de calcul Fluent a été adoptée pour résoudre les équations d'écoulement d'un fluide. Ce travail nous a permis de tirer de riches renseignements sur le comportement d'un écoulement bidimensionnel et newtonien, on cite :

L'augmentation de la vitesse d'entrée entraîne l'instabilité de l'écoulement à faible nombre de Reynolds  $Re < 60$ , l'écoulement reste stable. Puis à partir de  $Re > 60$  l'écoulement devient instationnaire, l'écoulement reste symétrique pour les deux cas. Un point de détachement qui s'éloigne de l'obstacle se manifeste dans la zone de sillage. Aussi l'augmentation de la vitesse provoque une dépression plus importante.

L'augmentation du diamètre de l'obstacle cylindrique entraîne une déstabilisation de l'écoulement, ou le sillage qui se forme derrière l'obstacle s'étend dans les directions x et y du domaine fluide. La dépression augmente avec l'augmentation de diamètre de l'obstacle.

Avec la forme de l'obstacle on a constaté que l'écoulement est stationnaire pour le cas de l'obstacle elliptique et devient instationnaire pour les différentes formes d'obstacle, la dépression est maximale pour la surface plane autour de l'obstacle carré et minimale autour des obstacles de forme aérodynamique comme l'obstacle elliptique.

Avec le changement de fluide de masses volumiques différentes, pour une même vitesse de circulation, l'écoulement est instationnaire dans le cas de l'eau, et stationnaire dans le cas de l'air. La dépression par unité de longueur enregistrée avec de l'eau est nettement supérieure à celle de l'air.

### Références Bibliographiques

- [1]- Cours sur les notions de Mécanique Des Fluides.pdf <http://learn.univ-sba.dz/pluginfile.php/1984/course/overviewfiles/cours>
- [2]- Cours le nombre de Reynolds science étonnante Word Press, <https://www.google.com/url.source.images>.
- [3]- ION Paraschivoiu, « Aérodynamique subsonique », Editions de l'école polytechnique de Montréal (Québec), Canada, 1998.
- [4]-Cours la méthode de mesure de la viscosité «viscosimètre capillaire, couette, chute de bille» <https://www.hellopro.fr/viscosimetres>
- [5]-B.Renaud, « Instabilité de Bénard-Von Karman derrière un obstacle oscillant », Rapport de stage expérimental, Laboratoire de Physique et Mécanique des Milieux Hétérogènes, Paris, 2000.
- [6]-M.Breuer et Al. (2000), "Accurate computations of the laminar flow past a square cylinder based on two different methods: Lattice-Boltzmann and finite-volume". International Journal of Heat and Fluid Flow 21 ,2000.
- [7]-Damien .Calluau, Laurent David, Sébastien Rouvreau, Pierre Joulain, « Ecoulement laminaire autour d'un cylindre carré .comparaison calcul experience. », Nancy, 3-7 Septembre 2001.
- [8]-N. Takafumi et al (2006), « Etude expérimentale et numérique d'un écoulement autour d'obstacles carré et cylindrique », Thèse université de Constantine.
- [9]-P.F. Zhang, J.J. Wang, L.X. Huang, Numerical simulation of flow around cylinder with an upstream rod in tandem at low Reynolds numbers, Applied Ocean Research Vol 28 PP183–192. 2006.
- [10]-P.Ribot et Y. Blanchet (2007), «Buffeting lift forces and local air–water flow aspects around a rigid cylinder, International Journal of Multiphase Flow.VOL 33 PP 1237-1254.2007».

- [11]-R. Belakroum, M. Khadja, H. Zibouche, Simulation numérique du phénomène d'éclatement tourbillonnaire dans la zone de sillage d'un obstacle de section circulaire, International Conférence on Energetics and pollution constantine .2007.
- [12]-M. Huptas et W. Elsner (2008), "Steady and unsteady simulation of flow structure of two surface-mounted square obstacles", TASK QUARTERLY 12 No 3, 197-207.
- [13]-Shuyang Cao –Yukio Tamura (2008), « Etude expérimentale et numérique d'un écoulement autour d'obstacles carré et cylindrique », Thèse université de Constantine, 2010.
- [14]-Hafida .N, Mohamed.S (2010), " Etude numérique des effets d'obstacles sur le profil du vent », Revue des énergies renouvelable SMEE'10 Bou Ismail –Tipaza, 2010.
- [15]Jiraporn Yojina, Waipot Ngamsaad, Narin Nuttavut , Darapond Triampo, Yongwimon Lenbury, Paison Kanthang, Somchai Sriyab, wannapong Triampo, " Investigating flow patterns in a channel with complex obstacles using the lattice Boltzmann method", Journal of Mechanical Science and Technology 24(10)-2010
- [16]-Gera.B, Pavan K.Sharma, Singh R.K, " CFD analysis of 2D unsteady flow around a square cylinder", International Journal of Applied Engineering Research , DINDIGUL, Volume1, N 3, 2010.
- [17]-M.M.Ouestati, M.Ben Salah, F.Aloui, S.BenNasrallah, Numerical simulation of flow around obstacle with stream function-vorticity formulation of Navier-Stokes equations, 2nd International Conference on Energy Conversion and Conservation.2010.
- [18]-Stephane Mossaz (2011), « Etudes expérimentales et numériques des écoulements inertiels de fluides à seuil autour d'un cylindre », Thèse université Grenoble Alpes, France, 2011.
- [19]-J.SJAH «Université de Lyon, LTDS, UMR CNRS 5513, Ecole Centrale de Lyon, 36 avenue Guy de Collongue, 69134 Ecully CEDEX (jessica\_sjah@hotmail.com; eric.vincens@ec-lyon.fr; marie.chaze@ec-lyon.fr) ».Thèse université de Lyon, France.
- [20]-Zaiz Y.Zaiz Et H.Bendjadou (2017), «Simulation numérique de l'écoulement d'un fluide Newtonien et incompressible à travers un faisceau de tubes», mémoire de Fin d'Etudes, Université KasdiMerbah Ouargla, Algérie.

## Références Bibliographiques

---

[21]- H.K. Versteeg, W. Malalasekera, An Introduction to Computational Fluid Dynamics: The Finite Volume Method, Prentice Hall, London, 1995.

[22]-Cours méthode de volumes finis chapitre3,<http://thesis.univ-biskra.dz/2722/5/Chapitre%2003.pdf>

[23]-M.Sato, T.Kobayashi ;<<A fundamental study of the flow past a circular cylinder using Abaqus/CFD>>, 2012 SIMULIA Community Conference, Providence, RI, USA

## **Annexe**

<b>VITESSE (m/s)</b>	<b><math>\Delta P/L</math> (Pa/m)</b>
<b>0,002</b>	0,00292885
<b>0,005</b>	0,01613966
<b>0,007</b>	0,0263157
<b>0,012</b>	0,0639422

Tableau 1 : La dépression par unité de longueur en fonction de la vitesse de circulation du fluide.

<b>VITESSE (m/s)</b>	<b><math>\Delta P/L</math> (Pa/m)</b>		
	<b>D=1cm</b>	<b>D=3cm</b>	<b>D=5cm</b>
<b>0,012</b>	0,0 639422	0,255564	0,57882633

Tableau 2 : La dépression par unité de longueur en fonction du diamètre de l'obstacle.

<b>VITESSE (m/s)</b>	<b>0,002</b>	<b>0,005</b>	<b>0,012</b>
<b>Cylindre</b>	0,00292885	0,01613966	0,0639422
<b>Carré</b>	0,00802326	0,047802706	0,24216996
<b>Triangle</b>	0,00265424	0,01886142	0,0668113
<b>Ellipse</b>	0,00307926	0,015047132	0,08890115

Tableau 3 : la dépression par unité de longueur en fonction de la vitesse de circulation du fluide pour les différents obstacles.

<b>VITESSE (m/s)</b>	<b>0,002</b>	<b>0,007</b>	<b>0,012</b>
<b>EAU</b>	0,00292885	0,0263157	0,0639422
<b>AIR</b>	0,00001355	0,0000779	0,0000178

Tableau 4 : la dépression par unité de longueur en fonction de la vitesse de circulation pour les fluides différents.